

**INSTITUT TEKNOLOGI NASIONAL MALANG
FAKULTAS TEKNOLOGI INDUSTRI
JURUSAN TEKNIK ELEKTRO
PROGRAM STUDI TEKNIK ENERGI LISTRIK**



**Analisis Economic Load Dispatch Menggunakan Particle Swarm Optimization Pada Saluran Transmisi 150 kV
Sub Sistem Paiton - Bali**

SKRIPSI

**Disusun Oleh :
DONI FERIN HARINDRA
NIM: 01.12.053**

MARET 2006



SHALAH LAKHWA INDIANAS BIRDS
INTERESTED IN BIRDS RAZBIR
SHALAH LAKHWA BIRDS
INTERESTED IN BIRDS RAZBIR

SHALAH LAKHWA INDIANAS BIRDS
INTERESTED IN BIRDS RAZBIR
SHALAH LAKHWA BIRDS
INTERESTED IN BIRDS RAZBIR

SHALAH LAKHWA

SHALAH LAKHWA

SHALAH LAKHWA
INTERESTED IN BIRDS



SHALAH LAKHWA

**INSTITUT TEKNOLOGI NASIONAL MALANG
FAKULTAS TEKNOLOGI INDUSTRI
JURUSAN TEKNIK ELEKTRO
PROGRAM STUDI TEKNIK ENERGI LISTRIK**



**Analisis *Economic Load Dispatch* Menggunakan *Particle Swarm Optimization* Pada Saluran Transmisi 150 kV
Sub Sistem Paiton - Bali**

SKRIPSI

**Disusun Oleh :
DONI FERIN HARINDRA
NIM: 01.12.053**

MARET 2006

LEMBAR PERSETUJUAN

*Analisis Economic Load Dispatch Menggunakan Particle Swarm Optimization Pada Saluran Transmisi 150 kV
Sub Sistem Paiton - Bali*

SKRIPSI

*Disusun Untuk Melengkapi Dan Memenuhi Syarat
Guna Mencapai Gelar Sarjana Teknik*

Disusun Oleh:
DONI FERIN HARINDRA
NIM: 01.12.053

Mengetahui,
Ketua Jurusan Teknik Elektro



Menyetujui
Dosen Pembimbing

Ir. Choirul Saleh, MT.
NIP. 101 8800 190

KONSENTRASI TEKNIK ENERGI LISTRIK
JURUSAN TEKNIK ELEKTRO S-1
FAKULTAS TEKNOLOGI INDUSTRI
INSTITUT TEKNOLOGI NASIONAL MALANG

LEMBAR PERSEMPAHAN



My Special Thank's to :



ALLAH SWT, atas limpahan berKah, rahMat dan PeTunjuk – Mu lah aQ dapat nyelese'in SkriPsi-Q ini. Serta junjunganku Nabi Muhammad SAW yang telah memberi suri teladan–NYA kepada seluruh umat manusia Terima Kasih Ya ALLAH Kau sudah MenDenGar DoA hambamu ini dan Kau juga Telah bRi ku kesehatan, KemaMpuAn, kesaBaran dan KekuAtan untuk daPat berTahAN seHingga sQriPzee-Q ini daPat terSelesAikan. Hanya kepada-MU aku berserah diri dan minta petunjuk Dalam hidup ini dengan iman dan taqwa Amin Yaa Robbal 'Alamin...

My Daddy and My Mom, trimakasih banget DecH PokokNya berkat beliau BerRduA yang TeLah MencuRahkan segAlanYa, baik Dana, SeManGat dan MoTivAsi serta DOA untilL sQripZee-Q ini keLar. Tak'kan Ku LuPa JasA dan pengorbanan engkau BerDua yang Telah BerPeran BanYak DaLam MenuntaskAn SqriPzee-Q ini. Makasih ya Mah.. Pah. Akhirnya Aq CuMa Bisa MenDO'akan, Hope Mom and Dad DiBerI keSehAtAn dan Umur yang PanJanG seRta KeLanCaran RiZky DaLam SeTIaP langkah.

InsyaAllah... AMIN...

To Dewi as My LovEly Honey , I would like to say much much Thankyou (not enough by saiz) 4 everything that you have given to me, makasih buat suport, sayang, cinta, perhatian, pengertian dan kesetiannya selama ini. Do'ain biar mas cpt daPet Kerjaan. Amin. I need u more than you know Honey..!! Keep Beside me yach Yank....!!

My SiSter's And My FaMILy

ThanK's BeRat Buat mbak Evi 'n mbak Eva, tanpa dukungan dr kaLiaN aq gk baKaLan bs lulus secepat ini. Buat Mbak Evi, Ayo yG Rajin klo nGajaR 'n jangan galak2 yach ntar muridnya jd takut. Buat Mbak Eva, MakaSih bUat seMuA weJanGannya, Doa'in Ande2 cepet DapeT keRjaaN.Tu'ks SoDaRa SoDaRa di MaLaN, SurabaYa, Magetan, PonoroGo, MaDiU, JeMbeR dan di TeMPuLung-LueN... TriMa Kasih BAnyAK AtaS DukunGan dan Doa dari kaLiaN SeMuA shA aQ BiSa LuLuS... BtW Ga Ada yaNg Mo NaWaRin Aq keYiaN tlia ?



This sQripZee will thank's To :

Dosen Pembimbing Bp. Ir. Choirul Saleh, MT
yang telah membimbing dan membantu saya dalam
penyusunan skripsi ini. Mohon maaf atas kesalahan
yang pernah saya perbuat, semoga Bapak
memakluminya. Dan doakan Saya agar menjadi orang
yang sukses serta banyak rejeki. Amin...

EleCtriCaL CreW aRe :

The ProGraMmeR : UgrO's ClaN and also very eSpeCialLy thank's to
Sony_nics_exiter@wherever U R.com as My 'GReaT CLuE', Thank's 4 knowledges,
supports n patient to teach me 'Till I can Graduate. Thank's a lot Guy's, with Both of
U, my SqRiPzee caN be dOne 'n WorKed peRfecTly.....Nice wOrk Guy's.

ElectriCaL PeoPLe 2001 : SeMuA TeMeN yang UdaH WiSuDa DulUan MoGa –
Moga Cepet Dapet KerJa Dan Klo MeRid UnDanG aQ Yo... TeMeN
sePerJoeAnGanQ KoMpre : UbEt_pLayBoy (moGa TamBah Ganteng mirip AriEL,
jgn keseringan In 'D Hoy 'n Moga pabrik Krupuknya lebih Exist in the fUtuRe
kekeke)... UluM_jenggOT (seRinG2 Ngiler semBaraNGan 'n Nge-CruTin jerawat
aZa yacH, btw ThanKs bwt Onde-onde , keciput 'n TV TunneRnya
hehehe)... AnaNg_reMOte froM KrOmenGaN's (thank's BuAT antar jemPutnya dan
tetep GaGaP ya, insyallah Kapan2 aQ dolan ke Kawi ya Bro hahaha)... Kalis_innocent
(im proud to knew someone like you 'n keep SmarT Boyz)... Zahid bin Laden

(kekeke JanGan Lupa GanTi Baju dunk klo ke kAmpUs, mAsa' itu2 aJa
sEch??)... Arif_Pak LuraH (Horas Bah...waH2 tambah asYik aja Genjotannya,
ngomong2 koK gk MasUk peLatNas caBang BalaP sEpedA aja Rip???heheheh)
To Other Electrical People are Arek2 2001 (Aries, Rika, Dini, Memed, Ucok, Fahmi,
BreMy, Yudha, WidiAnto, Dewa...sory klo gk kesebut) sukses terus ya prend..!!
To all of My Closest Friend's are Arik_ngombet, Herman_Kirkof, Hendra_IWALA
(bencong bo'), Boni_sangkuk, Pendy_PNS, Adjust_Pak_D, Hury_haisye sing
semangat KeR.. To Puskopad tim sukses kompre Abas, Daud, Eko, Budi, kaktus,

Bayu CayO Sam. TO My Krebet's Team (PARALOLLA) are Eko_Labrie,
Tio_Petrucy, Lipo_Myung, Ajeng_Kikan, Dita_Peggy, Pethok_SuperChef,
Enthung_Drummer, Widi_Brokoli...kapan niH reuNian??Wes Kangen peNgen
KeTemU..!!Btw klo marRieD don'T 4Get Undangannya. Bwt yg udah KerJa, gK
onok lowongan tha ReK??Selamat berkarya Rek....!!Keep On Touch..!!

To My Best Friend's are Mas Ony (civil ITN '98),
NininG_kopenHageN, cecE-q Asthree mogA aja
KaLian cPt bErkeluarga 'N hope u alWays keep By
God...AMIN..Don' Forget mE..!!

BuAT TeMen – TemEn yG NaManYa LoM' Ada Di
HaLamaN PeRsemBaHanKu Ini, aQ MinTa MaAF kLo
HaL iTu BuKan KaReNa UnsuR KesengajaN TaPi
KaReNa BoRdeR-nYa, yG Ga' MemunGkinKan GuE
BuAT NuLis LeBiH BanYaK LaGi, btW MaKasiH
BanYak FrienD's AtaS DukuNGan & SuPPoRt
KaLiaN, GooD LuCk anD KeeP OuR FrieNdship !!!

ThanK's 4 All..

ABSTRAKSI

Analisis *Economic Load Dispatch* Menggunakan *Particle Swarm Optimization* pada Saluran Transmisi 150 kV Sub Sistem Paiton – Bali

(Doni Ferin Harindra, Nim. 01.12.053, Teknik Elektro Energi Listrik S-1)
(Dosen Pembimbing : Ir.Choirul Saleh, MT)

Kata Kunci: *Economic Load Dispatch*, *Particle Swarm Optimization*, batasan aliran daya, batasan tegangan.

Adanya persoalan dalam menghadapi kebutuhan daya listrik yang selalu berubah setiap saat menimbulkan permasalahan yaitu bagaimana mengoperasikan suatu sistem tenaga listrik yang selalu dapat memenuhi permintaan daya pada setiap saat, dengan kualitas baik dan harga yang murah. Oleh karena itu pada suatu operasi pada beban tertentu, perhitungan ekonomis harus tetap merupakan suatu prioritas atau nilai yang harus diperhitungkan disamping hal-hal lain sehingga nantinya diperlukan suatu rencana operasi yang optimum dengan tetap memenuhi beberapa persyaratan pengoperasian sistem tenaga listrik yaitu antara lain : daya yang dibangkitkan cukup untuk memasok beban dan rugi-rugi daya pada saluran transmisi serta tegangan bus sesuai dengan ratingnya

Skripsi ini menganalisis *economic load dispatch* dengan menggunakan metode *Particle Swarm Optimization*. Hasil dari analisa tersebut nantinya dapat digunakan sebagai salah satu acuan dalam operasi pembangkitan dan penyaluran daya yang ekonomis dan optimal, terutama mengenai optimasi biaya pembangkitan. Input dari program ini adalah biaya bahan bakar (*fuel cost*) dan hasil perhitungan aliran daya, sedangkan hasil akhir dari program ini yaitu hasil perhitungan aliran daya, tegangan dan sudut fasa tiap-tiap bus serta biaya pembangkitan yang optimum.

Analisa dilakukan dengan bantuan program komputer dengan menggunakan bahasa pemrograman Delphi versi 7.0 dan telah sukses dicoba pada Sub sistem 150 kV Paiton-Bali yang terdiri dari 25 bus, dimana telah berhasil dilakukan penghematan biaya pembangkitan sebesar Rp. 584.705,00 atau terjadi optimasi biaya sebesar 10,959 %.

KATA PENGANTAR

Dengan memanajatkan puji syukur kehadirat Allah S.W.T atas karunia dan hidayah-Nya skripsi ini dapat terselesaikan dengan baik, yang diajukan sebagai syarat untuk menyelesaikan studi di Fakultas Teknologi Industri Jurusan Teknik Eektro Konsentrasi Energi Listrik, Institut Teknologi Nasional Malang.

Pada kesempatan yang berbahagia ini, penulis menyampaikan rasa terima kasih yang sebesar-besarnya kepada :

1. Bapak Dr. Ir. Abraham Lomi, MSEE, selaku Rektor Institut Teknologi Nasional Malang.
2. Bapak Ir. Mochtar Asroni, MSME, selaku Dekan Fakultas Teknik Industri Institut Teknologi Nasional Malang.
3. Bapak Ir.Yudi Limpraptono, MT, selaku ketua jurusan Teknik Elektro Konsetrasi Energi Listrik Institut Teknologi Nasional Malang.
4. Ibu Ir. Mimien Mustikawati, selaku sekretaris jurusan Teknik Elektro Institut Teknologi Nasional Malang.
5. Bapak Ir. Choirul Saleh, MT, selaku dosen pembimbing atas kesediaannya memberikan bimbingan, saran dan masukan dalam skripsi ini.
6. Orang tuaku tercinta yang selalu memberikan dorongan moral dan semangat untuk mencapai cita-cita sesuai dengan yang kita inginkan.
7. Semua pihak yang telah membantu selama penulisan skripsi ini yang tidak dapat saya sebutkan satu persatu.

Penulis menyadari bahwa isi skripsi ini kemungkinan masih jauh dari sempurna. Untuk itu saran dan kritik yang membangun penulis harapkan.

Semoga skripsi ini dapat bermanfaat bagi penyusun, maupun pembaca pada umumnya.

Malang, Maret 2006

Penulis

DAFTAR ISI

LEMBAR PERSETUJUAN.....	i
ABSTRAKSI	ii
KATA PENGANTAR	iii
DAFTAR ISI	v
DAFTAR GAMBAR	ix
DAFTAR TABEL.....	xi
DAFTAR GRAFIK	xii
BAB I. PENDAHULUAN	
1.1. Latar Belakang.....	1
1.2. Rumusan Masalah.....	2
1.3. Tujuan	3
1.4. Batasan Masalah	3
1.5. Metodologi Penelitian	4
1.6. Sistematika Penulisan	5
BAB II. SISTEM TENAGA LISTRIK, OPERASI DAN KARAKTERISTIK	
UNIT PEMBANGKIT	
2.1. Sistem Tenaga Listrik	6
2.2. Saluran Transmisi	7
2.2.1. Saluran Transmisi Pendek.....	8
2.2.2. Saluran Transmisi Menengah.....	8
2.2.3. Saluran Transmisi Panjang	10
2.3. Daya Dalam Sistem Tenaga Listrik.....	11

2.4. Sistem Per-Unit.....	12
2.4.1. Mengubah Dasar Sistem Per-Unit.....	14
2.5. Sistem Operasi Pada Sistem Tenaga Listrik.....	15
2.6. Karakteristik Pembangkit Listrik.....	18
2.6.1. Karakteristik Masukan – Keluaran.....	18
2.6.2. Karakteristik <i>Heat-Rate</i>	20
2.6.3. Karakteristik <i>Incremental Heat-Rate</i>	20
2.7. <i>Economic Dispatch</i>	22
2.7.1. Fungsi Biaya Bahan Bakar.....	22
2.7.2. <i>Economic Dispatch</i> Dengan Mengabaikan Rugi – rugi Transmisi	23
2.7.3. <i>Economic Dispatch</i> Dengan Memperhitungkan Rugi – rugi Transmisi	26

BAB III. ALIRAN DAYA NEWTON-RAPHSON DAN PARTICLE SWARM

OPTIMIZATION

3.1. Analisa Aliran Daya.....	28
3.1.1. Klasifikasi Bus	29
3.1.2. Metode Newton Raphson.....	30
3.1.3. Prosedur Aliran Daya Newton Raphson.....	31
3.2. <i>Particle Swarm Optimization</i>	32
3.2.1. Teori Dasar.....	32
3.2.2. Parameter PSO	33
3.3. Algoritma Program	36
3.3.1. Algoritma Program Dasar Permasalahan.....	36

3.3.2. Algoritma Program Aliran Daya Newton Raphson	37
3.3.3. Algoritma Program ELD Menggunakan PSO	38
3.4. Diagram Alir Program	40
3.4.1. Diagram Alir Program Dasar Permaslahan	40
3.4.2. Diagram Alir Newton Raphson	41
3.4.3. Diagram Alir PSO	42

**BAB IV. ANALISIS *ECONOMIC LOAD DISPATCH* MENGGUNAKAN
*PARTICLE SWARM OPTIMIZATION***

4.1. Program Komputer ELD Menggunakan PSO.....	43
4.2. Data Pembangkitan Thermal Pada Sub Sistem Paiton – Bali	43
4.3. Data Pembangkitan dan Pembebanan Sub Sistem 150 kV	47
4.4. Data Saluran Transmisi Sub Sistem Paiton – Bali	48
4.5. Prosedur Pelaksanaan Program Perhitungan.....	49
4.6. Hasil dan Analisis Hasil Perhitungan ELD Menggunakan PSO	56
4.6.1. Hasil Perhitungan Kondisi Awal	57
4.6.2. Hasil Perhitungan Setelah Optimasi	60
4.7. Perbandingan Hasil ELD Sebelum dan Setelah Optimasi	63
4.7.1. Tingkat Optimum Biaya Pembangkitan	63
4.7.2. Perbandingan Tingkat Tegangan dan Sudut Tegangan	64
4.7.3. Perbandingan Pembangkitan Daya Aktif	66
4.7.4. Perbandingan Aliran Daya	67
4.7.5. Perbandingan Tingkat Rugi Daya	68
4.8. Hasil Validasi IEEE 30 Dengan Metode PSO	69

BAB V. PENUTUP

5.1. Kesimpulan.....	71
5.2. Saran.....	72

DAFTAR PUSTAKA

LAMPIRAN

DAFTAR GAMBAR

Gambar 2.1. Rangkaian Setara Saluran Transmisi	7
Gambar 2.2. Rangkaian Setara Saluran Transmisi Pendek.....	8
Gambar 2.3. Rangkaian Setara Saluran Transmisi Menengah.....	9
Gambar 2.4. Rangkaian Setara Saluran Transmisi Panjang.....	10
Gambar 2.5. Unit Boiler – Turbin Generator	19
Gambar 2.6. Kurva Karakteristik <i>Input-Output</i> Pembangkit Thermal	19
Gambar 2.7. Kurva Karakteristik <i>Heat-Rate</i> Unit Pembangkit	20
Gambar 2.8. Kurva Karakteristik <i>Incremental Heat Rate/Fuel Cost</i>	21
Gambar 2.9. N-Unit Pembangkit Thermal Melayani Beban P_R	23
Gambar 2.10 N Buah Pembangkit Thermal Melayani Beban P_R Melalui Saluran Transmisi	26
Gambar 4.1 Single Line Diagram Paiton - Bali.....	45
Gambar 4.2. Tampilan Utama Program.....	49
Gambar 4.3. Tampilan Masukan Data	49
Gambar 4.4. Tampilan Data Bus	50
Gambar 4.5. Tampilan Data Saluran	50
Gambar 4.6. Tampilan Data Generator	51
Gambar 4.7. Tampilan Hasil Kondisi Awal.....	51
Gambar 4.8. Tampilan <i>Loadflow</i> Kondisi Awal	52
Gambar 4.9. Tampilan <i>Summary</i> pada Kondisi Awal	52
Gambar 4.10. Tampilan Parameter PSO	53
Gambar 4.11. Tampilan Hasil Akhir Program	53
Gambar 4.12. Tampilan Hasil Kondisi Akhir	54
Gambar 4.13. Tampilan <i>Loadflow</i> Kondisi Akhir	54

Gambar 4.14. Tampilan <i>Summary</i> pada Kondisi Akhir	55
Gambar 4.15. Tampilan Grafik Perbandingan Tegangan dan Bus	55
Gambar 4.16. Tampilan Parameter PSO Validasi IEEE 30 Bus	69
Gambar 4.17. Tampilan Hasil Loadflow Validasi	69
Gambar 4.18. Tampilan Hasil Validasi IEEE 30 Bus	70

DAFTAR TABEL

Tabel 4.1.	Parameter Unit Pembangkit Thermal	44
Tabel 4.2.	Persamaan Biaya Pembangkitan Unit Pembangkit Thermal	44
Tabel 4.3.	Penomoran Bus Sub Sistem 150 kV Paiton – Bali	46
Tabel 4.4.	Data Pembangkitan dan Pembebanan	47
Tabel 4.5.	Data Saluran Transmisi 150 kV Sub Sistem Paiton Bali	48
Tabel 4.6.	Hasil Perhitungan Kondisi Awal	57
Tabel 4.7.	Hasil Perhitungan Aliran Daya Sebelum Optimasi	58
Tabel 4.8.	Hasil Perhitungan Daya Yang dibangkitkan dan biaya Operasi Sebelum Optimasi	59
Tabel 4.9.	Hasil Perhitungan Setelah Optimasi	60
Tabel 4.10.	Hasil Perhitungan Aliran Daya Setelah Optimasi.....	61
Tabel 4.11.	Hasil Perhitungan Daya Yang dibangkitkan dan biaya Operasi Setelah Optimasi	62
Tabel 4.12.	Perbandingan Tingkat Optimum Biaya Pembangkitan	63
Tabel 4.13.	Perbandingan Tingkat Tegangan dan Sudut Tegangan	64
Tabel 4.14.	Perbandingan Pembangkitan Daya Aktif Kondisi Awal dan Setelah Optimasi	66
Tabel 4.15.	Perbandingan Aliran Daya Aktif dan Daya Reaktif Sebelum dan Setelah Optimasi Pada Tiap Bus	67
Tabel 4.16.	Perbandingan Total Pembangkitan, Pembebanan dan Rugi Daya Aktif Sebelum dan Setelah Optimasi	68
Tabel 4.17.	Perbandingan Hasil Data Referensi Jurnal dengan Data Optimasi..	70

DAFTAR GRAFIK

Grafik 4.1. Hasil Perhitungan Daya Yang Dibangkitkan Pada Kondisi Awal	59
Grafik 4.2. Hasil Perhitungan Daya Yang Dibangkitkan Pada Kondisi Akhir ...	62
Grafik 4.3. Perbandingan Tegangan Pada Tiap Bus Sebelum Dan Setelah Optimasi	65
Grafik 4.4. Perbandingan Daya yang Dibangkitkan Sebelum Dan Setelah Optimasi	66
Grafik 4.5. Perbandingan Total Pembangkitan, Pembebanan dan Rugi – rugi Total.....	68

BAB I

PENDAHULUAN

1.1 Latar Belakang

Sistem tenaga listrik secara garis besar dapat dibagi menjadi 3 bagian yaitu : sisi pembangkit tenaga listrik, jaringan transmisi dan beban. Adanya persoalan dalam menghadapi kebutuhan daya listrik yang tidak tetap dari waktu ke waktu, sehingga menimbulkan permasalahan yaitu bagaimana mengoperasikan suatu sistem tenaga listrik yang selalu dapat memenuhi permintaan daya pada setiap saat, dengan kualitas baik dan harga yang murah. Oleh karena itu pada suatu operasi pada beban tertentu, perhitungan ekonomis harus tetap merupakan suatu prioritas atau nilai yang harus diperhitungkan disamping hal-hal lain sehingga nantinya diperlukan suatu rencana operasi yang optimum dengan tetap memenuhi beberapa persyaratan pengoperasian sistem tenaga listrik yaitu antara lain : daya yang dibangkitkan cukup untuk memasok beban dan rugi-rugi daya pada saluran transmisi, tegangan bus sesuai dengan ratingnya serta tidak adanya pembebanan lebih pada unit-unit pembangkit yang beroperasi.

Alokasi daya yang tepat dalam sistem bisa menghasilkan kondisi optimum, yaitu kondisi dengan rugi-rugi transmisi yang minimum dengan biaya investasi yang murah, sehingga mampu memperbaiki profil tegangan sistem. Permasalahan besarnya rugi-rugi di saluran telah menjadi perhatian utama khususnya pada saluran transmisi 150 KV.

Masalah-masalah diatas dapat diatasi dan dipecahkan salah satunya dengan menggunakan metode *Particle Swarm Optimization*. Dengan *Particle Swarm Optimization* ini akan mengoptimalkan pembebanan ekonomis untuk

mengurangi rugi daya dengan meminimalkan biaya pengoperasian pada jaringan transmisi Sub Sistem 150 KV Paiton-Bali, sehingga didapat kualitas suatu sistem tenaga listrik yang baik.

1.2 Rumusan Masalah

Berdasarkan latar belakang yang telah dijelaskan sebelumnya maka muncul permasalahan yaitu bagaimana mengoptimalkan pembebanan ekonomis dan mengurangi rugi-rugi daya yang terjadi pada saluran transmisi 150 kV sub sistem Paiton – Bali. Salah satu metode yang dapat digunakan adalah metode *Particle Swarm Optimization*.

Dari permasalahan diatas maka makalah ini berjudul :

“Analisis Economic Load Dispatch Menggunakan Particle Swarm Optimization pada Saluran Transmisi 150 kV Sub Sistem Paiton – Bali”

1.3 Tujuan

Berdasarkan permasalahan yang telah dikemukakan diatas maka skripsi ini bertujuan untuk :

1. Menganalisa profil tegangan yang terjadi pada saluran 150 kV sub sistem Paiton-Bali dengan menggunakan metode *Particle Swarm Optimization*.
2. Mengoptimalkan biaya pembangkitan dari unit pembangkit yang beroperasi pada saluran transmisi 150 kV sub sistem Paiton – Bali.
3. Menganalisa rugi – rugi daya aktif pada saluran transmisi sub sistem Paiton – Bali dengan adanya pengoptimalisasian biaya bahan bakar.

1.4 Batasan Masalah

Agar permasalahan mengarah sesuai dengan tujuan, maka pembahasan skripsi ini dibatasi sebagai berikut:

1. Analisis aliran daya secara ekonomis pada saluran transmisi 150 KV Sub Sistem Paiton-Bali menggunakan aliran daya *Newton Raphson*.
2. Analisa dilakukan dengan asumsi bahwa sistem berada dalam operasi normal.
3. Analisa perhitungan pada pembangkit termal saja.
4. Tidak membahas masalah peralatan kompensasi dan penempatannya
5. Tidak membahas masalah kontrol tegangan.

1.5 Metodologi Penelitian

Metode yang digunakan dalam pembahasan skripsi ini dilakukan dengan langkah-langkah sebagai berikut:

1. Studi literatur
Yaitu kajian pustaka yang mempelajari teori-teori yang terkait melalui literatur yang telah ada, yang berhubungan dengan permasalahan.
2. Pengumpulan data lapangan yang dipakai dalam obyek penelitian yakni data impedansi saluran transmisi dan data pembebanan Sub Sistem 150 KV Paiton-Bali serta data pembangkit termal.
3. Merancang perangkat lunak (*software*) dengan menggunakan metode *Particle Swarm Optimization*.
4. Simulasi dan pembahasan masalah
Simulasi dan pembahasan masalah dengan menggunakan bahasa pemrograman *Borland Delphi* versi 07.

5. Menarik kesimpulan.

1.6. Sistematika Penulisan

Adapun sistematika pembahasan pada skripsi ini adalah sebagai berikut :

BAB I : PENDAHULUAN

Menguraikan latar belakang, rumusan masalah, tujuan penelitian, batasan masalah, metodologi penulisan, sistematika penulisan dan kontribusi penelitian.

BAB II : SISTEM TENAGA LISTRIK, OPERASI EKONOMIS, DAN KARAKTERISTIK UNIT PEMBANGKIT

Menguraikan pembahasan sistem tenaga listrik dan *economic load dispatch* secara umum.

BAB III : ALIRAN DAYA *NEWTON – RAPHSON* DAN *PARTICLE SWARM OPTIMIZATION*

Menguraikan teori dasar dari aliran daya, metode aliran daya *Newton Raphson*, teori PSO, dan adaptasi PSO ke permasalahan, algoritma dan flowchart.

BAB IV : ANALISIS *ECONOMIC LOAD DISPATCH* MENGGUNAKAN *PARTICLE SWARM OPTIMIZATION*

Menguraikan data pada saluran transmisi 150 kV sub sistem Paiton – Bali, yang meliputi data pembangkitan, pembebanan dan data generator, saluran transmisi, menguraikan alur program, hasil validasi, serta hasil perhitungan menggunakan metode PSO.

BAB V : KESIMPULAN DAN SARAN

Memuat intisari dan hasil pembahasan, yang berisikan kesimpulan dan saran yang dapat digunakan sebagai pertimbangan untuk pengembangan selanjutnya.

1.7 Kontribusi Penelitian

Adapun kontribusi dari skripsi ini adalah diharapkan penggunaan dari metode *Particle Swarm Optimization* dalam menganalisa pembebanan secara ekonomis sehingga dapat menekan rugi-rugi daya aktif dengan biaya operasional yang murah dalam sistem sehingga dapat diterapkan oleh pemerintah khususnya PT. PLN (Persero), yang nantinya akan berguna bagi PLN sebagai perusahaan penyedia energi listrik di Indonesia.

BAB II

SISTEM TENAGA LISTRIK, OPERASI EKONOMIS DAN KARAKTERISTIK UNIT PEMBANGKIT

2.1. Sistem Tenaga Listrik^[3]

Sistem tenaga listrik ada tiga bagian utama yaitu : pusat pembangkit tenaga listrik, saluran transmisi serta sistem distribusi yang berhubungan langsung dengan konsumen. Saluran transmisi merupakan penghubung antara pusat pembangkit melalui hubungan antar sistem yang menuju sistem pada sistem yang lain.

Saluran transmisi mempunyai empat parameter yang mempengaruhi kemampuannya dalam menyalurkan daya listrik. Keempat parameter tersebut yaitu : resistansi (R), induktansi (L), kapasitansi (C), serta konduktansi (G).

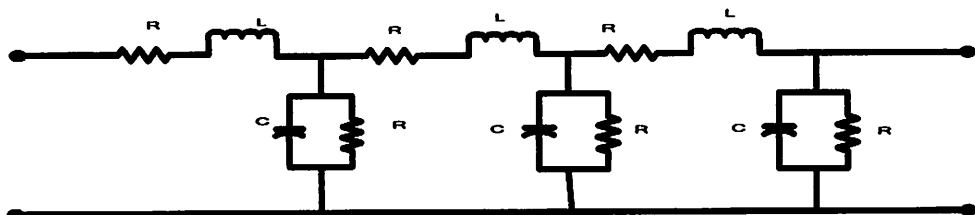
Resistansi umumnya tergantung pada jenis penghantar sedangkan konduktansi menyatakan besarnya arus bocor antar penghantar, antar penghantar dengan tanah, tetapi harganya relatif kecil maka dapat diabaikan. Induktansi adalah parameter rangkaian yang menghubungkan tegangan yang diimbaskan oleh perubahan fluksi akibat perubahan arus, sedangkan kapasitansi suatu saluran transmisi timbul akibat adanya beda potensial antara penghantar dengan tanah, dalam hal ini kapasitansi menyebabkan penghantar bermuatan seperti yang terjadi pada pelat kapasitor.

Impedansi seri terbentuk dari resistansi dan induktansi yang terbagi merata sepanjang saluran. Sedangkan konduktansi dan kapasitansi terdapat diantara

penghantar-penghantar dari saluran fasa tunggal atau diantar penghantar dengan netral dari suatu saluran berfasa tiga membentuk admitansi paralel.

2.2. Saluran Transmisi

Tenaga listrik yang dibangkitkan harus disalurkan melalui saluran transmisi. Saluran-saluran transmisi ini membawa tenaga listrik dari pusat-pusat tenaga listrik ke pusat-pusat beban. Suatu saluran transmisi tenaga listrik mempunyai empat parameter yang mempengaruhi kemampuan untuk berfungsi sebagai bagian dari sistem tenaga, yaitu resistansi, induktansi, kapasitansi, dan konduktansi. Keempat parameter saluran transmisi tersebut merata disepanjang saluran transmisi. Parameter-parameter tersebut sangat berpengaruh terhadap tegangan bus dan aliran daya yang mengalir pada saluran tersebut.



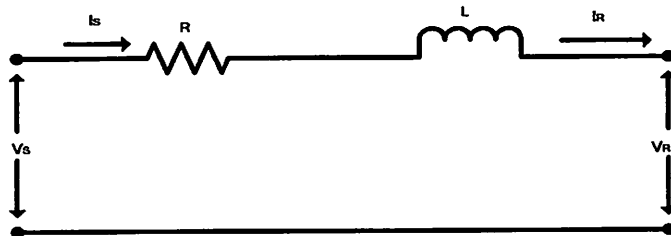
Gambar 2.1^[3]
Rangkaian Setara Saluran Transmisi

Menurut panjangnya, saluran transmisi dapat diklasifikasikan menjadi 3 golongan, yaitu :

1. Saluran transmisi pendek, adalah saluran yang panjangnya < 80 km.
2. Saluran transmisi menengah, adalah saluran transmisi yang panjangnya $80 - 240$ km.
3. Saluran transmisi panjang, adalah saluran yang panjangnya > 240 km.

2.2.1. Saluran Transmisi Pendek

Rangkaian ekivalen untuk saluran transmisi pendek diperlihatkan pada gambar 2, dimana I_S dan I_g merupakan arus pada ujung pengirim dan ujung penerima, sedangkan V_S dan V_R adalah tegangan saluran terhadap netral pada ujung pengirim dan ujung penerima.



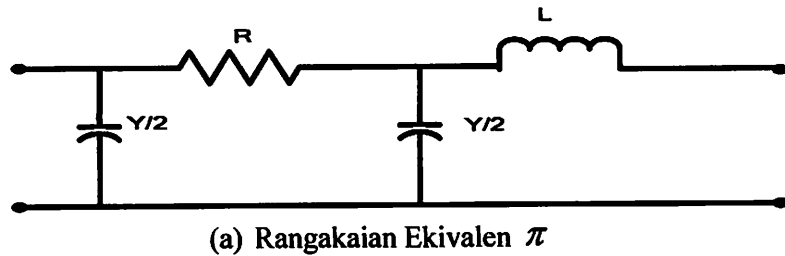
Gambar 2.2.^[3]

Karena tidak ada cabang pararel (shunt), arus pada ujung – ujung pengirim dan penerima akan sama besar :

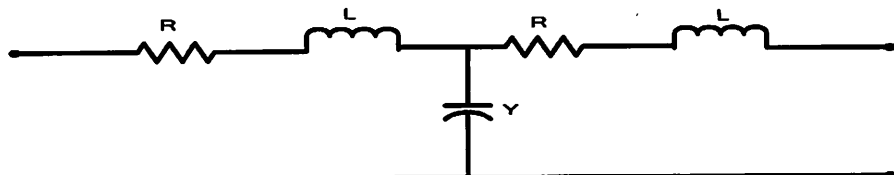
Bila kondisi tegangan pada ujung penerima diketahui, maka tegangan pada ujung sisi kirim adalah :

2.2.2. Saluran Transmisi Menengah

Bertambahnya saluran menyebabkan kapasitansi shunt bertambah besar dan tidak dapat diabaikan. Saluran transmisi jarak menengah pada umumnya digambarkan dengan rangkaian π atau rangkaian T. Dari dua versi ini rangkaian π lebih umum dipakai dari pada rangkaian T.



(a) Rangkaian Ekivalen π



(b) Rangkaian Ekivalen T

Gambar 2.3.^[3]
Rangkaian Setara Saluran Transmisi Menengah

Untuk rangkaian π berlaku :

$$V_s = \left[\frac{ZY}{2} + 1 \right] V_R + Z I_R \quad \dots \dots \dots \quad (2.3.)$$

$$I_s = \left[\frac{ZY}{4} + 1 \right] Y V_R + \left[\frac{ZY}{2} + 1 \right] I_R \quad \dots \dots \dots \quad (2.4.)$$

Untuk rangkaian T berlaku :

$$V_s = \left[\frac{ZY}{2} + 1 \right] V_R + \left[\frac{ZY}{4} + 1 \right] Z I_R \quad \dots \dots \dots \quad (2.5.)$$

$$I_s = Y V_R + \left[\frac{ZY}{2} + 1 \right] I_R \quad \dots \dots \dots \quad (2.6.)$$

Dimana :

V_s, I_s = Tegangan, Arus sisi kirim

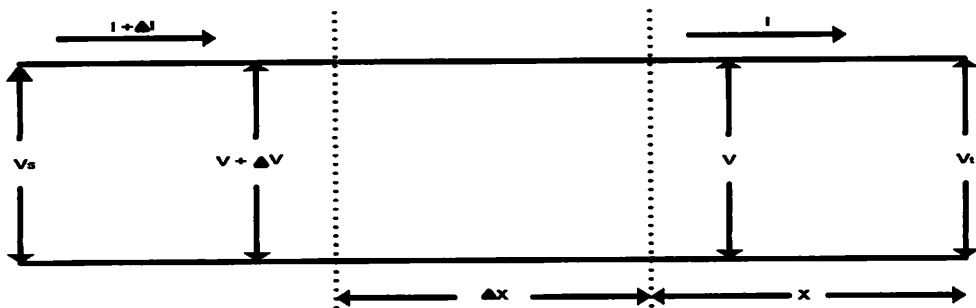
V_R, I_R = Tegangan, Arus sisi terima

Z = Impedansi seri total saluran transmisi

Y = Admitansi shunt total saluran

2.2.4. Saluran Transmisi Panjang

Pada saluran panjang parameter-parameter saluran tidak terpusat menjadi satu, melainkan tersebar merata diseluruh panjang saluran.



Gambar 2.4.^[3]
Diagram Skema Saluran Transmisi Panjang

Persamaan tegang dan arus pada setiap titik sepanjang saluran transmisi dengan jarak x dari ujung sisi terima dapat ditulis sebagai berikut :

$$V = \frac{V_R + I_R Z_C}{2} e^{yx} + \frac{V_G - I_G Z_C}{2} e^{-yx} \dots \quad (2.7)$$

Persamaan untuk saluran transmisi panjang dapat ditulis dalam bentuk hiperbola sebagai berikut :

$$V_{(\infty)} = V_R \cosh \tau x + I_R Z_c \sinh \tau x \quad \dots \dots \dots \quad (2.9.)$$

$$I_{\infty} = I_r \cosh \tau x + \frac{V_r}{Z_c} \sinh \tau x \quad \dots \dots \dots \quad (2.10)$$

Dimana :

τ = Konstanta rambatan pada saluran = \sqrt{ZY}

$$Z_c = \text{Impedansi karakteristik saluran} = \sqrt{\frac{Z}{Y}}$$

2.3. Daya Dalam Sistem Tenaga Listrik

Dalam sistem tenaga listrik, pembangkit-pembangkit tenaga listrik harus mampu menyediakan tenaga listrik kepada pelanggan sesuai dengan permintaan beban listrik yang ada. Dan hal yang harus diperhatikan adalah sistem yang tetap konstan, dalam hal ini tegangan dan frekuensi harus tetap konstan karena berhubungan dengan daya. Daya listrik yang dibangkitkan dikenal dengan istilah:

1. Daya aktif (*Active power*)

Secara umum daya aktif dinyatakan oleh persamaan :

dimana : V dan I nilai efektifnya.

P adalah daya rata – rata yang disebut juga daya aktif.

2. Daya Reaktif (*Reactive power*)

Daya reaktif adalah daya yang timbul karena adanya pembentukan madan magnet pada beban-beban induktif (KVAR).

Persamaan daya reaktif adalah :

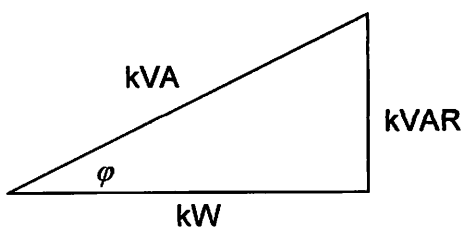
Kita mengenal dua macam daya reaktif yaitu : daya reaktif induktif dan daya reaktif kapasitif, dimana keduanya memiliki tanda yang berlawanan. Daya reaktif kapasitif adalah daya yang dibutuhkan oleh kapasitor yang tidak menghasilkan kerja, tetapi tersimpan dalam bentuk energi magnetis atau energi kapasitif.

Daya reaktif induktif adalah daya listrik yang dibutuhkan untuk menghasilkan medan magnet yang dibutuhkan oleh alat-alat seperti motor induksi, transformator dan sebagainya

3. Daya Semu (*Apparent power*)

Daya semu merupakan penjumlahan secara vektoris antara daya aktif dan daya reaktif (KVA).

Selain diatas dikenal juga istilah faktor daya / *power factor* adalah perbandingan antara daya aktif dan daya semu, sehingga dapat dirumuskan pada persamaan berikut :



Dimana :

Cos φ = Faktor daya

KW = Daya aktif

KVA = Daya semu

KVAR = Daya reaktif

2.4. Sistem Per-Unit^[3]

Untuk memudahkan proses perhitungan, dalam sistem tenaga listrik digunakan sistem Per-Unit (pu).

$$\text{Besaran Per-Unit} = \frac{\text{Besaran sebenarnya}}{\text{Besaran dasar}} \dots \quad (2.14.)$$

Rumus-rumus yang digunakan untuk penentuan arus dasar dan impedansi dasar adalah :

➤ Untuk data 1 phasa

Arus dasar

Impedansi dasar

$$Z_d = \frac{(kV \text{ dasar } L - N)^2 \times 10^{-3}}{kVA \text{ dasar } 1 \text{ fasa}} \quad \dots \dots \dots \quad (2.16.)$$

➤ Untuk data 3 fasa

Arus dasar

$$I_d = \frac{kVA \text{ dasar 3 fasa}}{\sqrt{3} kV \text{ dasar L-L}} \dots \dots \dots (2.18.)$$

Impedansi dasar

$$Z_d = \frac{(kV \text{ dasar } L - l)^2 \times 10^{-3}}{kVA \text{ dasar } 3 \text{ fasa}} \quad \dots \dots \dots \quad (2.19.)$$

$$Z_d = \frac{(kV \text{ dasar } L - L)^2}{MVA \text{ dasar 3 fasa}} \quad \dots \dots \dots \quad (2.20.)$$

Dalam persamaan di atas nilai-nilai besaran diberikan untuk rangkaian satu fasa. Jadi tegangannya adalah tegangan antara fasa dengan tanah dan daya setiap fasa.

Setelah besaran-besaran dasar telah ditentukan maka besaran-besaran itu dinormalisasikan terhadap besaran dasar. Dengan demikian impedansi per satuan dari suatu elemen rangkaian didefinisikan sebagai berikut :

$$Z = \frac{\text{Impedansi sebenarnya } Z(\Omega)}{\text{Impedansi dasar } Z_d} \quad \dots \dots \dots \quad (2.21.)$$

2.4.1. Mengubah Dasar Sistem Per-Unit^[3]

Kadang-kadang impedansi per-unit untuk suatu komponen dari suatu sistem dinyatakan menurut dasar yang berbeda dengan dasar yang dipilih untuk bagian dari sistem dimana komponen tersebut berada. Karena semua impedansi dalam bagian manapun dari suatu sistem harus dinyatakan dengan dasar impedansi yang sama, maka dalam perhitungannya kita perlu mempunyai cara untuk dapat mengubah impedansi per-unit dari suatu dasar ke dasar yang lain.

Dengan mensubstitusikan impedansi dasar yang diberikan dalam persamaan (2.14.) dan (2.17.) ke dalam persamaan (2.18.) maka diperoleh:

$$Z_u = \frac{(\text{Impedansi sebenarnya, } \Omega) \cdot (\text{MVA dasar})}{(\text{Tegangan dasar, kV})^2} \quad \dots \dots \dots \quad (2.22.)$$

Persamaan (2.17.) memperlihatkan bahwa impedansi per-unit berbanding lurus dengan MVA dasar serta berbanding terbalik dengan kuadrat tegangan dasar. Untuk mengubah dari impedansi per-unit menurut suatu dasar yang diberikan menjadi impedansi per-unit menurut suatu dasar yang baru, dapat dipakai persamaan berikut:

$$Z_{\text{baru per-unit}} = Z_{\text{diberikan per-unit}} \left(\frac{kV_{\text{diberikan dasar}}}{kV_{\text{baru dasar}}} \right)^2 \times \left(\frac{MVA_{\text{baru dasar}}}{MVA_{\text{diberikan dasar}}} \right) \dots \quad (2.23.)$$

Persamaan ini tidak ada hubungannya dengan pemindahan nilai impedansi dalam ohm dari salah satu sisi transformator ke sisi yang lain.

2.5. Sistem Operasi Pada Sistem Tenaga Listrik

Seperti telah diketahui bahwa dalam masalah pengaturan beban pada suatu operasi sistem tenaga listrik harus selalu dicapai suatu keadaan operasi yang bisa diandalkan dan cukup ekonomis.

Ada beberapa kerja yang harus dilaksanakan untuk menjamin keandalan sistem operasi antara lain, pengaturan frekuensi dan tegangan sistem untuk berada pada harga normalnya karena adanya perubahan beban pada sistem. Dan seperti yang diketahui dan berulang kali disebutkan bahwa tenaga listrik tidak dapat disimpan sehingga dalam operasinya harus selalu dicapai keseimbangan antara penyediaan dengan pemenuhan kebutuhan daya serta perlu juga diingat bahwa sistem selalu berubah setiap saat. Maka sudah tentu jauh-jauh sebelumnya sudah harus diketahui atau diramalkan keadaan tersebut dengan tepat yaitu keadaan beban pada hari itu dari waktu ke waktu sampai selama 24 jam. Keadaan beban ini digambarkan sebagai kebutuhan daya sebagai fungsi dari waktu yang biasa disebut dengan lengkung beban harian. Lengkung beban harian ini adalah merupakan sesuatu yang sangat penting disamping karakteristik-karakteristik lainnya sehingga dalam operasi hariannya harus berdasarkan lengkung beban harian yang telah dibuat karena dengan lengkung beban harian ini dapat ditentukan perencanaan operasi pembangkit-pembangkit yang ada, baik itu unit pembangkit thermal maupun hidro. Tentu saja kebutuhan beban dalam suatu harinya tidak merata akan tetapi dari jam ke jam berbeda sesuai dengan kebutuhan konsumen. Berdasarkan lengkung beban yang telah ada maka dapat ditentukan berapa unit pembangkit yang harus bekerja dan siap bekerja pada hari itu.

Sebagai dasar pertimbangan yang sifatnya umum, untuk menentukan biaya produksi tenaga listrik yang dibutuhkan adalah dengan memperhatikan bahwa dalam keadaan beban minimum maka tenaga listrik yang dibutuhkan diberikan oleh unit pembangkit yang bekerja paling efisien pada keadaan tersebut. Pembangkit ini akan terus beroperasi atau dibebani sampai pada batas efisiensi maksimumnya. Dan apabila ternyata beban masih terus bertambah sedangkan unit pembangkit ini telah mencapai maksimumnya maka selanjutnya beban ditanggung oleh unit pembangkit yang lain yang belum mencapai efisiensi maksimumnya. Dengan dasar operasi yang demikian maka dapat dicapai keadaan operasi yang cukup ekonomis.

Akan tetapi dengan semakin berkembangnya sistem itu sendiri maka diperlukan suatu perencanaan pembangkitan yang optimum dengan biaya operasi yang ekonomis dan harus memperhitungkan rugi-rugi yang terjadi pada saluran transmisi. Mengingat bahwa beban sistem adalah selalu berubah-ubah dari waktu ke waktu maka perlu untuk membuat secara grafis perubahan beban terhadap waktu.

Oleh karena biaya operasi untuk memproduksi daya listrik, suatu pembangkit hidro (PLTA) sangat kecil jika dibandingkan dengan pembangkit thermal (PLTU, PLTG, PLTGU, PLTD) maka pembahasan selanjutnya untuk mendapatkan biaya operasi yang ekonomis sebagian besar ditekan pada unit pembangkit thermal saja karena disini akan membutuhkan biaya operasi yang cukup tinggi sehingga usaha penghematan biaya bahan bakar akan sangat berarti. Dengan kata lain dengan mengkoordinasikan operasi pembangkit-pembangkit

yang tersedia dengan tepat dan sesuai dengan beban maka akan didapat suatu keadaan operasi yang ekonomis.

Pembahasan mengenai operasi ekonomis adalah merupakan salah satu cara bagaimana menekan biaya produksi dari sistem tenaga listrik. Dalam hal ini maka metode yang dipakai adalah dengan memanfaatkan karakteristik dari menganalisa operasi dari sistem tersebut. Disamping karakteristik dari unit-unit pembangkit perlu juga diketahui karakteristik beban, karena karakteristik bebanlah maka dapat dianalisa pengaturan yang paling ekonomis dari setiap unit pembangkit. Adapun karakteristik yang perlu diketahui dari setiap unit pembangkit adalah :

1. Karakteristik *input* bahan bakar sebagai fungsi dari *output* daya.
2. Nilai panas sebagai fungsi *output* daya.
3. Kenaikan jumlah bahan bakar yang dibutuhkan jika terdapat perubahan beban.

Ketiga karakteristik tersebut merupakan pedoman menganalisa penjadwalan selanjutnya. Kemudian yang juga perlu diperhitungkan adalah variabel-variabel yang terdapat pada saluran transmisi, karena variabel-variabel ini juga sangat menentukan ekonomis tidaknya penjadwalan pembangkit yang kita tentukan.

Maka untuk mencapai suatu operasi yang ekonomis pada suatu sistem tenaga listrik adalah dengan melakukan penjadwalan pada sistem pembangkit yang ada pada suatu sistem tenaga listrik yang ditinjau tersebut dengan memanfaatkan karakteristik dari setiap masing-masing unit pembangkit yang ada pada dasarnya bertujuan untuk menekan biaya produksi listrik agar harga dari listrik yang dihasilkan dapat ditekan serendah mungkin sehingga dapat memuaskan pemakai listrik.

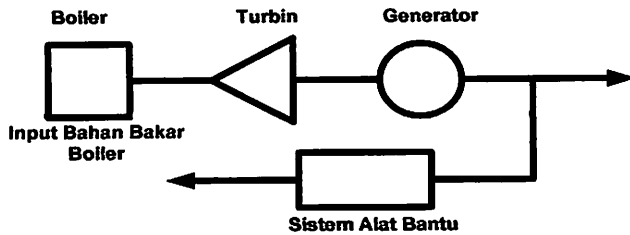
2.6. Karakteristik Unit Pembangkit^[4]

2.6.1. Karakteristik *Input-Output*

Hal yang paling mendasar dalam operasi pembangkitan yang ekonomis adalah dengan membuat karakteristik *input-output* dari unit pembangkit thermal. Karena ini diperoleh dari desain perencanaan atau melalui test pembangkit. Adapun definisi dari karakteristik *input-output* dari pembangkit itu sendiri adalah formula yang menyatakan hubungan antara *input* pembangkit sebagai fungsi dari *output* pembangkit. Sedangkan ciri dari unit boiler-turbin-generator dapat digambarkan dalam gambar 2.5., dimana unit ini memuat sebuah boiler yang menghasilkan uap untuk menjalankan turbin yang dikopel dengan rotor dari generator.

Pada pembangkit thermal input diberikan dalam satuan panas Btu/jam atau Kalori/jam dari bahan bakar yang diberikan boiler untuk menghasilkan *output* pembangkit. Sedangkan notasi yang digunakan adalah H (*MBtu/h*) atau dalam satuan yang lain H (*MKal/h*). Adapun dalam skripsi ini, perhitungan dilakukan adalah dalam satuan *MKal/jam*. Selain itu *input* dari pembangkit dapat pula dinyatakan dalam nilai uang yang menyatakan besarnya biaya yang diperlukan untuk bahan bakar. Notasi yang digunakan adalah F (*Rp/h*). Hubungan antara H dan F dapat dinyatakan dalam rumus sebagai berikut ini :

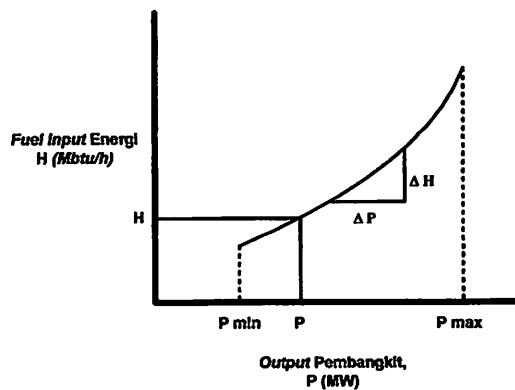
Dimana $\frac{\text{Rupiah}}{\text{MBtu}}$ adalah nilai uang yang diperlukan per satuan panas dari bahan bakar.



Gambar 2.5.^[4] Unit Boiler-Turbin-Generator

Seperti digambarkan dalam gambar 2.5., maka *output* dari pembangkit tidak hanya dihubungkan dengan sistem saja akan tetapi juga untuk sistem peralatan bantu pembangkit didefinisikan sebagai daya yang dikeluarkan oleh generator karakteristik *input-output*, daya *output* adalah berupa daya netral dari pembangkit, notasi yang digunakan adalah P (MW).

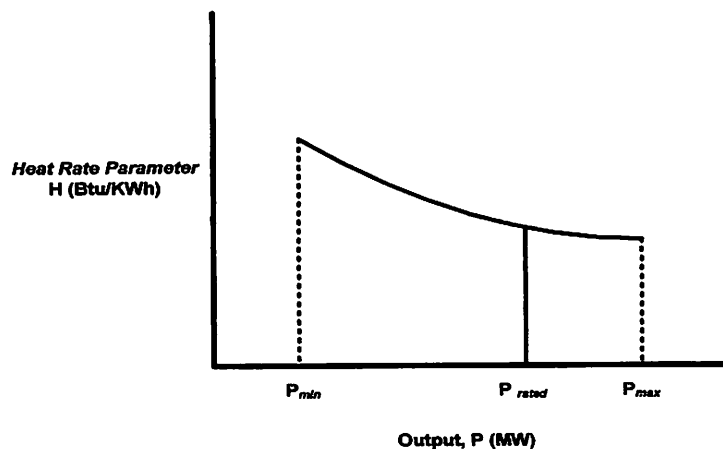
Persamaan karakteristik *input-output* pembangkit dapat dilihat pada persamaan (2.22.) dan (2.23.) dibawah ini, sedangkan kurva dari karakteristik *input-output* pembangkit dapat dilihat pada gambar 2.6.



Gambar 2.6.^[4]

2.6.2. Karakteristik *Heat-Rate*^[4]

Karakteristik *heat-rate* merupakan karakteristik yang menunjukkan efisiensi dari sebuah mesin. Karakteristik *heat-rate* sebuah unit pembangkit menunjukkan *input* kalor yang diberikan untuk menghasilkan energi sebesar 1 kiloWatt jam pada MegaWatt *output* dari suatu unit. Kurva dari karakteristik *heat-rate* ini dapat dilihat pada gambar 2.7. di bawah ini.



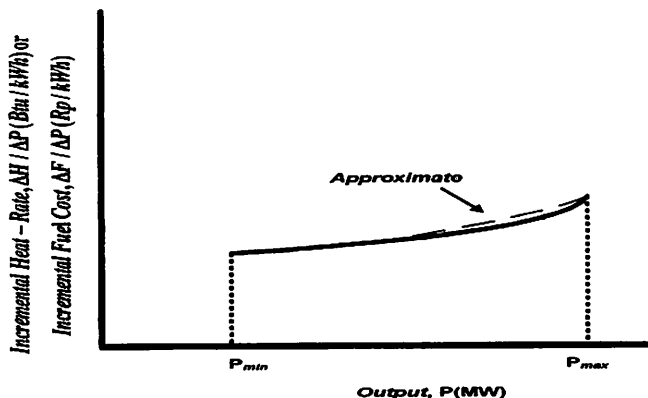
Gambar 2.7.^[4]
Kurva Karakteristik *Heat-Rate* Unit Pembangkit

2.6.3 Karakteristik *Incremental Heat-Rate* dan *Incremental Fuel Cost*^[4]

Perwujudan yang lain dari karakteristik pembangkit adalah karakteristik *Incremental Heat-Rate* atau perubahan tingkat laju panas dan karakteristik *Incremental Fuel Cost* atau perubahan tingkat laju bahan bakar. Karakteristik ini menyatakan hubungan daya keluaran pembangkit sebagai fungsi *Incremental Heat-Rate* atau *Incremental Fuel Cost*. Karakteristik *Incremental Heat-Rate* ini menunjukkan besarnya perubahan *input* energi bila ada perubahan *output* pada unit pembangkit.

Kurva dari karakteristik *Incremental Heat-Rate* atau *Incremental Fuel Cost* dapat dilihat pada gambar 2.8. Sedangkan persamaan *Incremental Heat-Rate* dan persamaan *Incremental Fuel Cost* dapat dilihat pada persamaan (2.24.) hingga persamaan (2.27.).

$$\text{Incremental Heat-Rate} = \frac{\Delta H}{\Delta P} \left(\frac{MBtu}{kWh} \right) \dots \quad (2.27.)$$



Gambar 2.8.^[4]

Bila harga Δ sangat kecil maka dapat dinyatakan dengan persamaan berikut ini :

2.7 Economic Dispatch^[4]

Economic dispatch adalah pembagian pembebanan pada pembangkit-pembangkit yang ada dalam suatu sistem tenaga listrik, secara optimum dan ekonomis pada beban tertentu. Dengan dilakukan *economic dispatch* maka akan didapatkan biaya bahan bakar yang paling murah dalam suatu sistem pembangkit. Oleh karena beban yang harus ditanggung oleh sistem pembangkit selalu berubah setiap periode waktu tertentu, maka perhitungan *economic dispatch* ini dilakukan untuk setiap harga beban tertentu pula.

2.7.1 Fungsi Biaya Bahan Bakar^[4]

Persamaan dari biaya bahan bakar dari setiap unit generator merupakan fungsi dari daya aktif saja, sehingga dengan demikian biaya operasi tiap pembangkit hanya tergantung dari daya aktif saja. Hal ini bisa dilihat dari persamaan di bawah ini:

Dimana:

F_r = Biaya pembangkitan pada unit generator - i

P_{Ci} = Besar daya aktif yang terbangkit pada unit generator i

a, b, c = Koefisien persamaan kuadratik.

Untuk persamaan *constraint* yang seimbang :

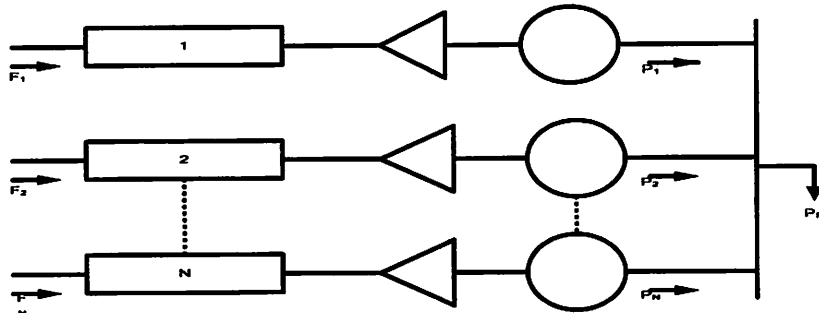
dan untuk *constraint* yang tidak seimbang :

Akan tetapi sebenarnya dalam suatu sistem tenaga listrik, keberadaan daya reaktif yang terbangkit juga harus diperhitungkan, sehingga daya reaktif yang terbangkit ikut serta secara tak langsung mempengaruhi biaya operasi. Dengan demikian daya reaktif tidak hanya digunakan untuk perhitungan total rugi pada transmisi, akan tetapi juga harus digunakan untuk masalah optimasi

2.7.2. *Economic Dispatch* Dengan Mengabaikan Rugi-rugi Transmisi^[4]

Dalam sistem tenaga listrik, kerugian transmisi merupakan kehilangan daya yang harus ditanggung oleh sisi pembangkit. Jadi dengan adanya kerugian daya tersebut merupakan tambahan beban bagi sistem tenaga listrik.

Sistem dengan mengabaikan rugi-rugi transmisi dapat dilihat pada gambar 2.9. Sistem ini terdiri dari N buah pembangkit thermal yang dihubungkan pada *single bus bar* yang melayani beban P_R . *Input* dari masing-masing pembangkit ditunjukkan oleh F_i yang mewakili biaya dari satu unit pembangkit dan *output* dari masing-masing unit P_i adalah daya yang dihasilkan oleh satu unit pembangkit.



Gambar 2.9.^[4]
N Unit Pembangkit Thermal Melayani Beban P_R

Total biaya rata-rata yang harus ditanggung oleh sistem adalah jumlah biaya dari masing-masing unit pembangkit. Dan pembatas yang paling penting adalah jumlah *output* dari masing-masing unit pembangkit sama dengan beban di konsumen. Yang menjadi permasalahan adalah meminimumkan total biaya F_T dengan memperhatikan pembatas ϕ bahwa daya yang dihasilkan oleh pembangkit sama dengan beban yang diterima. Secara matematika pernyataan yang tersebut di atas dapat dinyatakan dengan persamaan sebagai berikut :

$$F_T = F_1 + F_2 + F_3 + \dots + F_N \quad \dots \dots \dots \quad (2.34.)$$

$$= \sum_{i=1}^N F_i(P_i)$$

$$\phi = 0 = P_R - \sum_{i=1}^N P_i \quad \dots \dots \dots \quad (2.35.)$$

Persamaan di atas adalah pembatas yang merupakan problem dari optimasi dan ini dapat dipecahkan dengan menggunakan kalkulus tingkat lanjut yang melibatkan fungsi La Grange. Dimana fungsi ini didapat dengan cara menambahkan pembatas ϕ yang telah dikalikan dengan faktor pengali La Grange λ pada fungsi tujuan F_T . Fungsi La Grange dapat ditunjukkan dengan persamaan di bawah ini :

$$L = F_T + \lambda \cdot \phi \quad \dots \dots \dots \quad (2.36.)$$

Persamaan La Grange di atas merupakan fungsi *output* pembangkit P_i dan faktor pengali La Grange λ . Keadaan dari optimal dari fungsi tujuan F_T dapat diperoleh dengan operasi gradient dari persamaan La Grange sama dengan nol.

$$\nabla L = 0 \quad \dots \dots \dots \quad (2.37.)$$

$$\nabla F_T + \lambda \cdot \phi = 0 \quad \dots \dots \dots \quad (2.38.)$$

$$\frac{\partial L}{\partial P} = \frac{\partial F_i}{\partial P_i} + \lambda \cdot \left(\frac{\partial P_R}{\partial P_i} - \frac{\partial P_i}{\partial P_i} \right) = 0 \quad \dots \quad (2.39.)$$

$$\frac{\partial F_i}{\partial P_i} = \lambda \quad \dots \dots \dots \quad (2.41)$$

Persamaan terakhir ini menunjukkan bahwa bila digunakan biaya bahan bakar F_T yang paling minimum maka *incremental cost* setiap unit generator pembangkit harus sama yaitu sebesar λ . Kondisi optimal ini tentunya dengan tetap memperhatikan pembatas yang ada yaitu bahwa daya dari setiap unit generator pembangkit harus lebih besar atau sama dengan daya *output* minimum dan lebih kecil atau sama dengan daya *output* maksimum yang diijinkan.

Dari N buah pembangkit yang ada dalam sistem tenaga yang telah dibahas dan beban sistem sebesar P_R , maka dapat diambil kesimpulan sebagai berikut :

$$\frac{\partial F_i}{\partial P_i} = \lambda \quad \text{ada } N \text{ buah persamaan} \dots \dots \dots \quad (2.42.)$$

$P_{i_{\min}} \leq P_i \leq P_{i_{\max}}$ ada 2 N buah pertidaksamaan (2.43.)

$$\sum_{i=1}^N P_i = P_R \dots \quad (2.44.)$$

Dari batasan pertidaksamaan pembatas di atas dapat diperluas menjadi :

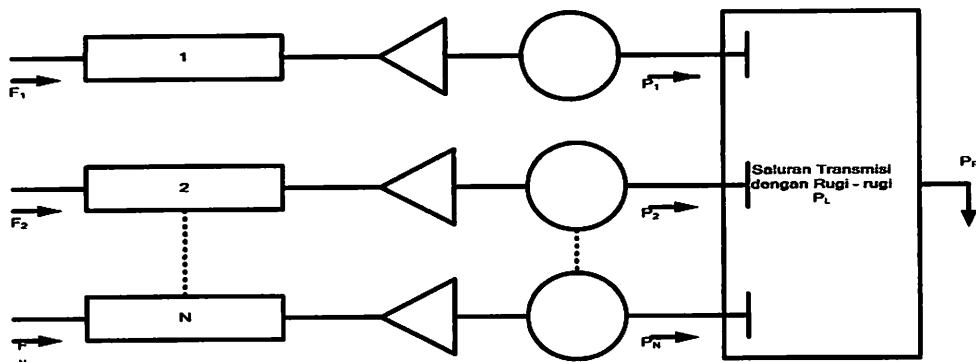
$$\frac{\partial F_i}{\partial P} \leq \lambda \quad \text{untuk } P_i = P_{i \text{ maks}} \dots \quad 2.46.)$$

Karena F_i hanya sebagai fungsi P_i maka $\frac{\partial F_i}{\partial P}$ dapat diganti dengan $\frac{dF_i}{dP_i}$.

2.7.3. Economic Dispatch Dengan Memperhitungkan Rugi-Rugi Transmisi^[4]

Sistem dengan memperhitungkan rugi–rugi transmisi dapat dilihat pada gambar 2.10. Sistem ini terdiri dari N buah unit pembangkit thermal dihubungkan melalui saluran transmisi yang melayani beban P_R . *Input* dari masing–masing unit ditunjukkan oleh F_i yang mewakili biaya dari satu unit pembangkit dan *output* dari masing-masing unit P_i adalah daya yang dihasilkan oleh satu unit pembangkit.

Total biaya rata–rata yang harus ditanggung oleh sistem adalah jumlah dari biaya dari masing–masing unit pembangkit. Dan pembatas yang paling penting adalah bahwa jumlah output dari masing–masing unit pembangkit sama dengan beban di konsumen dan rugi–rugi transmisi.



Gambar 2.10.^[4]

N buah Pembangkit Thermal Melayani P_R Melalui Saluran Transmisi

$$P_R + P_L - \sum_{i=1}^N P_i = \phi = 0 \quad \dots \quad (2.48.)$$

$$L = F_T + \lambda\phi \quad \dots \quad (2.49.)$$

Persamaan La Grange nya adalah :

$$L = \sum_{i=1}^N F_i - \lambda \left(\sum_{i=1}^N P_i - P_R - P_L \right) \dots \quad (2.51.)$$

$$\frac{\partial L}{\partial P_i} = \frac{dF_i}{dP_i} - \lambda \left(1 - \frac{\partial P_L}{\partial P_i} \right) = 0 \quad \dots \dots \dots \quad (2.52.)$$

BAB III

ALIRAN DAYA NEWTON – RAPHSON

DAN PARTICLE SWARM OPTIMIZATION

3.1 Analisa Aliran Daya

Dalam melayani beban yang dibutuhkan oleh konsumen dan pengoperasian tenaga listrik perlu dilakukan penganalisaan aliran daya, sehingga sistem yang dioperasikan dapat memenuhi persyaratan teknis maupun ekonomisnya. Dalam analisa aliran daya dilakukan perhitungan terhadap tegangan, arus, daya aktif dan reaktif, yang terdapat dalam berbagai titik dalam jala-jala jaringan transmisi tenaga listrik.

Tujuan dari analisa daya adalah:

1. Mencari harga *magnitude* tegangan $|v|$ dan sudut fasa tegangan δ bus beban.
2. Mencari daya reaktif Q dan sudut fasa tegangan δ dari generator bus.
3. Untuk mendapatkan daya aktif dan daya reaktif pada bus slack.
4. Untuk mengetahui apakah semua peralatan pada sistem memenuhi batas – batas yang telah ditetapkan untuk operasi penyaluran daya.
5. Untuk mengetahui kondisi awal pada perencanaan sistem yang baru.
6. Untuk menentukan daya yang mengalir disetiap saluran jaringan tenaga listrik.

3.1.1 Klasifikasi Bus

Pada setiap bus dari jaringan terdapat parameter – parameter yaitu : daya aktif (P), daya reaktif (Q), besar tegangan $|v|$ dan sudut fasa tegangan δ .

Dengan melihat parameter diatas, setiap bus dapat diklasifikasikan menjadi 3 bagian:

1. Bus Beban (Load Bus) (PQ)

Pada bus ini hanya terdapat kebutuhan daya untuk beban untuk beban dimana P daya aktif dan Q daya reaktif diketahui, sementara $|v|$ dan δ berubah-ubah menurut kebutuhan. Oleh karena itu, $|v|$ dan δ harus ditentukan (dicari).

2. Bus Generator (PV)

Pada bus ini hanya terdapat daya pembangkitan dimana $|v|$ diatur menggunakan regulator tegangan dan P diatur dengan governor. Sehingga untuk bus ini P dan $|v|$ diketahui. Sementara Q (daya reaktif) dan δ (sudut fasa) dicari.

3. Bus Slack

Pada bus ini $|v|$ dan δ sudah ditentukan besarnya sementara P dan Q dihitung. Biasanya nilai $|v|$ adalah 1 pu, sedangkan sudut fasa tegangan δ berharga nol, karena itu fasor tegangan dari bus dipakai sebagai referensi.

Daya total yang mengalir pada setiap bus dituliskan sebagai berikut :

$$S_k = P_k + jQ_k = V_k^* I_k$$

Atau

$$P_k - jQ_k = V_k^* \sum_{n=1}^N Y_{kn} V_n \dots \quad (3.1)$$

Dari persamaan $V_k = v_k + j\delta_k$ dan $Y_{k11} = G_{k11} - jB_{k11}$, maka persamaan 3.1. menjadi :

$$P_k - jQ_k - (V_k + j\delta_k) \sum_{n=1}^N (G_{k11} - jB_{k11})(V_n + j\delta_n) \dots \quad (3.2)$$

Bila dituliskan dalam bentuk real dan imajiner maka persamaan di atas menjadi :

$$P_k = \sum_{n=1}^N \{v_k(v_k G_{kn} + \delta_k B_{kn}) + \delta_k(\delta_{kn} G_{kn} - v_k B_{kn})\} \dots \quad (3.3)$$

3.1.2 Metode Newton Rapshon

Proses yang dilakukan adalah membandingkan antara daya yang ditempatkan berdasarkan data ($P_{k, \text{sched}}$ dan $Q_{k, \text{sched}}$) dengan daya hasil perhitungan ($P_{k, \text{calc}}$ dan $Q_{k, \text{calc}}$) menggunakan persamaan (3.3.) dan (3.4.) di atas. Selisih daya yang diterapkan dan perhitungan (ΔP_k dan ΔQ_k) dihitung dengan persamaan :

Selisih daya dihitung dengan persamaan (3.5) dan persamaan (3.6) digunakan untuk menghitung nilai perubahan parameter tegangan bus, yaitu $\Delta|V_k|$ dan $\Delta\delta_k$, yaitu dengan menggunakan elemen Jacobian, sehingga koreksi terhadap nilai parameter tegangan yang telah ditetapkan nilai awal sebelumnya. Elemen Jacobian sendiri merupakan turunan parsial P dan Q terhadap masing-masing variabel pada persamaan (3.3.) dan (3.4.), yang dalam bentuk matriks dituliskan sebagai :

$$\begin{bmatrix} \Delta P_1 \\ \dots \\ \Delta P_{n-1} \\ \Delta Q \\ \dots \\ \Delta Q_{n-1} \end{bmatrix} = \begin{bmatrix} \frac{\partial P_1}{\partial v_1} & \dots & \frac{\partial P_1}{\partial v_{n-1}} & \frac{\partial P_1}{\partial \delta_1} & \dots & \frac{\partial P_1}{\partial \delta_{n-1}} \\ \dots & \dots & \dots & \dots & \dots & \dots \\ \frac{\partial P_{n-1}}{\partial v_1} & \dots & \frac{\partial P_{n-1}}{\partial v_{n-1}} & \frac{\partial P_{n-1}}{\partial \delta_1} & \dots & \frac{\partial P_{n-1}}{\partial \delta_{n-1}} \\ \frac{\partial Q_1}{\partial v_1} & \dots & \frac{\partial Q_1}{\partial v_{n-1}} & \frac{\partial Q_1}{\partial \delta_1} & \dots & \frac{\partial Q_1}{\partial \delta_{n-1}} \\ \dots & \dots & \dots & \dots & \dots & \dots \\ \frac{\partial Q_{n-1}}{\partial v_1} & \dots & \frac{\partial Q_{n-1}}{\partial v_{n-1}} & \frac{\partial Q_{n-1}}{\partial \delta_1} & \dots & \frac{\partial Q_{n-1}}{\partial \delta_{n-1}} \end{bmatrix} \begin{bmatrix} \Delta v_1 \\ \dots \\ \Delta v_{n-1} \\ \Delta \delta_1 \\ \dots \\ \Delta \delta_{n-1} \end{bmatrix}$$

Dimana elemen-elemen jacobian dapat dihitung dengan menurunkan persamaan-persamaan (3.3.) dan (3.4.)

Perubahan nilai tegangan bus dijumlahkan dengan nilai tegangan bus sebelumnya, yang kemudian nilai tegangan bus terbaru ini digunakan untuk menghitung kembali daya $P_{k, \text{calc}}$ dan $Q_{k, \text{calc}}$ menurut persamaan (3.3.) dan (3.4.). Proses ini terus berulang, yang disebut iterasi hingga mencapai kondisi dimana nilai perubahan daya ΔP dan ΔQ konvergen mencapai suatu nilai minimum yang telah ditentukan (berkisar 0,001 hingga 0,0001 pu).

3.1.3 Prosedur Aliran Daya Newton Raphson

1. Tentukan nilai-nilai $P_{k,spec}$ dan $Q_{k,spec}$ yang mengalir kedalam sistem pada setiap rel untuk nilai yang ditentukan atau perkiraan dari besar

dan sudut tegangan untuk iterasi pertama atau tegangan yang ditentukan paling akhir untuk iterasi berikutnya.

2. Hitung ΔP pada setiap rel.
3. Hitung nilai-nilai jacobian dengan menggunakan nilai nilai perkiraan atau yang ditentukan dari besar dan sudut tegangan dalam persamaan untuk turunan parsial yang ditentukan dengan differensiasi persamaan (3.3) dan (3.4).
4. Balikkan jacobian itu dan hitung koreksi tegangan $\Delta \delta_k$ dan $\Delta |V_k|$ pada nilai sebelumnya.
5. Hitung nilai baru dari δ_k dan $|V_k|$ dengan menambahkan $\Delta \delta_k$ dan $\Delta |V_k|$ pada nilai sebelumnya.
6. Kembali ke langkah 1 dan ulang proses diatas menggunakan nilai untuk besar dan sudut tegangan yang ditentukan paling akhir sehingga semua nilai ΔP dan ΔQ atau semua nilai $\Delta \delta$ dan $\Delta |V|$ lebih kecil dari suatu indeks ketepatan yang telah dipilih.

3.2. Particle Swarm Optimization^[1]

3.2.1 Teori Dasar

Particle Swarm Optimization adalah suatu teknik perhitungan yang diperkenalkan Kennedy dan Eberhart pada tahun 1995, yang diilhami oleh perilaku sosial tentang koloni burung. Mereka berteori bahwa proses dari adaptasi dapat diringkas dalam tiga prinsip : mengevaluasi, membandingkan dan meniru. Suatu organisme, seekor burung dalam PSO. mengevaluasi tetangganya, membandingkan dirinya dengan yang lain di dalam populasi dan meniru tetangga yang terkuat. Sehingga mereka bertindak dengan dua macam dari

informasi yaitu, pengalaman mereka sendiri dan pengetahuan dari bagaimana individu lain melakukannya.

Pendekatan PSO mempunyai beberapa persamaan dengan GA (Genetic Algorithm) dan Evolutionary Algoritma. PSO mempunyai populasi dari individu yang bergerak sampai pencarian tempat D-dimensional dan masing - masing individu mempunyai percepatan yang berlaku sebagai operator untuk memperoleh individu baru. Individu ini disebut partikel, melakukan penyesuaian pergerakan yang tergantung pada pengalaman mereka sendiri dan pengalaman populasi. Pada setiap iterasi, suatu partikel bergerak ke suatu arah yang dihitung dari posisi terbaik yang dikunjunginya dan posisi terbaik yang dikunjungi dari semua partikel dalam lingkungannya. Diantara varian dari PSO global varian terdapat tetangga sebagai keseluruhan populasi dan disebut Swarm, yang merupakan pembagi informasi.

3.2.2 Parameter *Particle Swarm Optimization*

Dalam penggunaan metode *Particle Swarm Optimization* terdapat beberapa parameter yang digunakan. Parameter-paramater yang digunakan tersebut adalah:

- 1. Partikel (X)**

Merupakan kandidat solusi yang direpresentasikan dengan vektor m-dimensional, dimana m adalah jumlah dari parameter yang dioptimalkan.

Dalam fungsi waktu t, partikel ke-i dapat dirumuskan sebagai :

$X_i(t) = [X_{i1}(t), X_{i2}(t), \dots, X_{in}(t)]$, dimana X_s adalah parameter yang dioptimalkan dan $X_{ik}(t)$ adalah posisi dari partikel ke-i yang berhubungan dengan dimensi k.

2. Populasi, pop (t)

Merupakan set dari n buah partikel pada waktu t, seperti :

$$pop(t) = [X_1(t), X_2(t), \dots, X_n(t)]$$

3. Swarm

Populasi dari pergerakan partikel yang bergerak bersama secara berdekatan dimana setiap partikel bergerak dalam arah yang acak.

4. Kecepatan Partikel (*Particle Velocity*)

Merupakan kecepatan pergerakan partikel yang direpresentasikan dengan vektor m-dimensional. Dalam fungsi waktu t , kecepatan partikel ($V_i(t)$) ke- i dapat dituliskan sebagai $V_i(t) = [V_{i1}(t), V_{i2}(t), \dots, V_{in}(t)]$ dimana $V_{ik}(t)$ adalah kecepatan komponen dari partikel ke- i yang berhubungan dengan dimensi k . Tingkat kecepatan di-update dengan ketetapan secara terpisah untuk tiap dimensi $j \in 1, \dots, n$, karena itu V_{ij} menotasikan dimensi j dari vektor kecepatan yang berhubungan dengan partikel ke- i . Persamaan kecepatannya menjadi :

$$V_{ii}(t+1) = \chi \left(V_{ii}(t) + \varphi_1 rand(Y_{ii}(t) - X_{ii}(t)) + \varphi_2 rand(G_{ii}(t) - X_{ii}(t)) \right) \dots \dots (3.8)$$

Dari definisi kecepatan tersebut, φ_2 mengatur nilai step maksimum partikel pada *global best*, sedangkan φ_1 mengatur ukuran step partikel pada *personal best*. Nilai V_{ij} diantara range $[-V_{imax}, V_{max}]$ untuk mengurangi kemungkinan partikel meninggalkan *search space*. Posisi dari tiap partikel di-update menggunakan vektor kecepatan yang baru, sehingga menjadi :

5. Personal Best (P-best)

6. Global Best (G-best)

Gbest menawarkan suatu tingkat lebih cepat atas pemusatan biaya ketahanan. Gbest hanya menampilkan satu “ *best solution* ”, yang dinamakan partikel *global best*. Partikel ini bertindak sebagai suatu *attractor*, menarik semua partikel ke arahnya. Semua partikel akan konvergen pada posisi tersebut dengan cepat, jadi jika tidak di-update secara regular, sekumpulan partikel tersebut akan konvergen secara prematur.

7. Constriction Factor (Faktor Konstriktion)

Faktor ini mungkin membantu dalam mencapai konvergen. Faktor konstriction pada persamaan kecepatan yang di-update yang direpresentasikan dengan χ :

dimana :

$$\phi_1 = \phi_2 = 2.05;$$

$$\phi = \phi_1 + \phi_2 = 4.1$$

8. *Stopping Criteria* (Kriteria Berhenti)

Ini adalah kondisi di bawah yang mana proses pencarian akan berhenti.

Pada study ini, pencarian akan berhenti jika satu dari kriteria yang diberikan sangat memuaskan, yaitu :

- a. jumlah dari iterasi sejak pergantian terakhir dari best solution lebih besar dari jumlah sebelumnya yang lebih spesifik.
- b. jumlah dari iterasi sudah mencapai nilai yang maksimum.

3.3. Algoritma Program

3.3.1. Algoritma Program Dasar Permasalahan

Algoritma dasar permasalahan *economic load dispatch* adalah sebagai berikut :

1. Memasukkan data saluran dan data pembebanan.
2. Hitung *loadflow* menggunakan metode Newton Raphson.
3. Periksa, apakah tegangan variabel sudah berada pada batas-batas yang diijinkan yaitu $V_{\min} \leq V \leq V_{\max}$ atau $0.95 \leq V \leq 1.05$ dan apakah tidak ada pelanggaran pembangkitan daya reaktif yaitu $Q_{G\min} \leq Q_G \leq Q_{G\max}$
4. Jika “ Ya ”, Hitung semua variabel dan rugi daya dan perhitungan selesai.
5. Jika “ Tidak ”, maka proses *economic load dispatch* dengan metode *Particle Swarm Optimization*.

3.3.2. Algoritma Program Aliran Daya *Newton Raphson*

1. Bentuk matriks admitansi bus : $[Y_{bus}]$
2. Penetapan harga awal tegangan dan sudut fasa untuk semua bus kecuali bus slack $[V_i(0), \delta(0)]$
3. Menentukan nomor iterasi awal, $k=0$
4. Menghitung injeksi daya aktif dan reaktif pada setiap bus dengan persamaan kecuali bus slack
5. Menghitung selisih daya yang dijadwalkan dengan injeksi daya bus dari perhitungan
6. Menentukan perubahan maksimum pada daya aktif dan daya reaktif
7. Membandingkan apakah selisih daya sudah sama atau lebih kecil dari ϵ
8. Jika “ya” hitung daya aktif dan reaktif, tegangan dan sudut fasa tegangan pada setiap bus, serta aliran daya pada saluran dan perhitungan selesai, jika “tidak” lanjutkan ke langkah berikutnya
9. Membentuk elemen matriks *Jacobian*
10. Menghitung faktor koreksi tegangan dan sudut fasa setiap bus kecuali bus slack dan bus generator
11. Menghitung nilai tegangan dan sudut fasa yang baru
12. Mengganti nilai sudut fasa yang lama dengan sudut fasa yang baru, tegangan yang lama dengan tegangan yang baru
13. Perhitungan dilanjutkan ke langkah 4 dengan nilai iterasi yang baru sampai hasil yang didapatkan konvergen.

3.3.3. Algoritma Program *Economic Load Dispatch* Menggunakan Metode *Particle Swarm Optimization*.

1. Memilih ukuran populasi dan jumlah dari generasi.
 2. Memasukan inputan data beban yang meliputi tegangan (V), sudut fasa tegangan (δ), daya aktif (P), daya reaktif (Q), data impedansi saluran, data pembangkitan P_{maks}, P_{min} dan konstanta biaya (X_i).
 3. Menentukan parameter inputan *Particle Swarm Optimization* yang meliputi Npartikel, iterasi max.
 4. Menetapkan $sumG = 0$.
 5. Inisialisasi partikel.
 6. Mengeset *time counter* $t = 0$ dan menghasilkan n partikel secara random.
 7. Menghitung *load flow*.
 8. Menghitung kecepatan maksimum dari dimensi tertentu dengan persamaan

$$V_{k\max} = \frac{(X_{k\max} - X_{k\min})}{N_a} \dots \quad (3.12)$$

dimana : N_a adalah jumlah intervals.

9. Menghitung fungsi fitness untuk tiap partikel yang berhubungan dengan fungsi *objective* :

$$F_T^* = F_T + K_1 \sum_{i=1}^{nl} (I_i - I_i^{\max})^2 + K_2 (P_{G1} - P_{G1}^{\lim})^2 + K_3 \sum_{i=1}^{NL} (V_{Li} - V_{Li}^{\lim})^2 \dots \dots (3.13)$$

dimana :

F_T^* = penambahan biaya bahan bakar

F_T = total biaya bahan bakar

K_1 = faktor penalty saluran

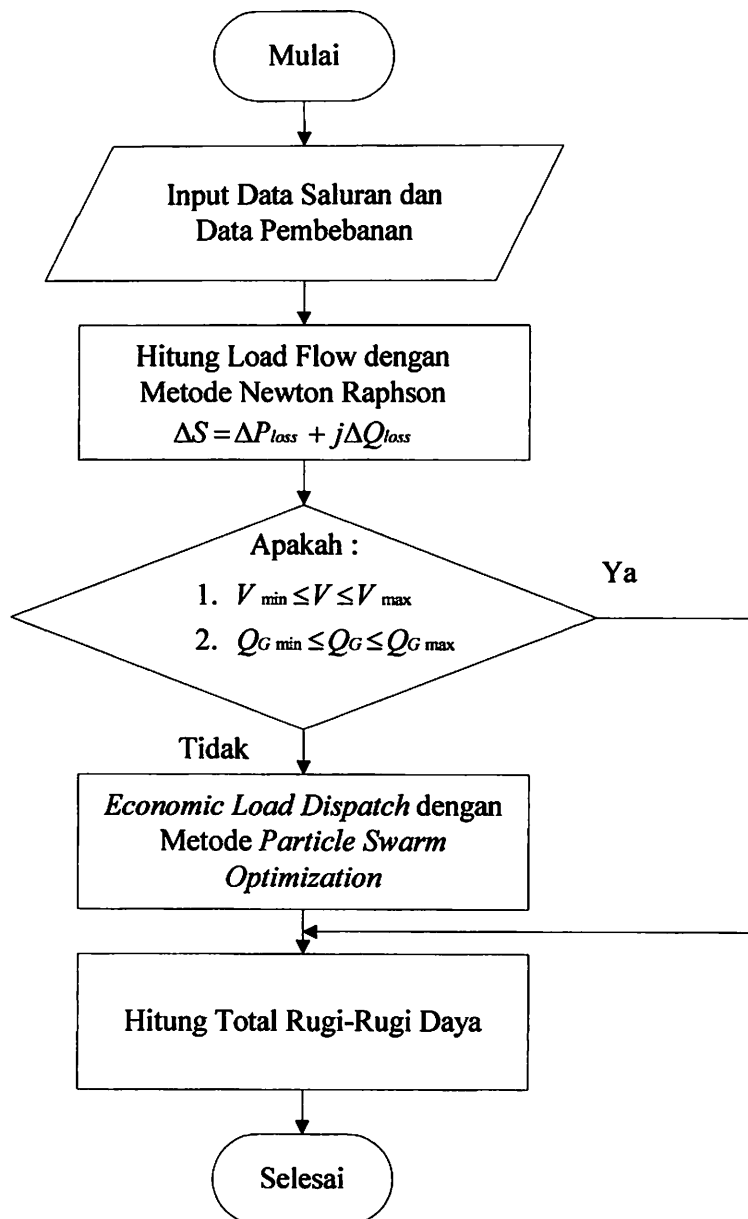
K_2 = faktor penalty dari generator slack

K_3 = faktor penalty dari bus tegangan

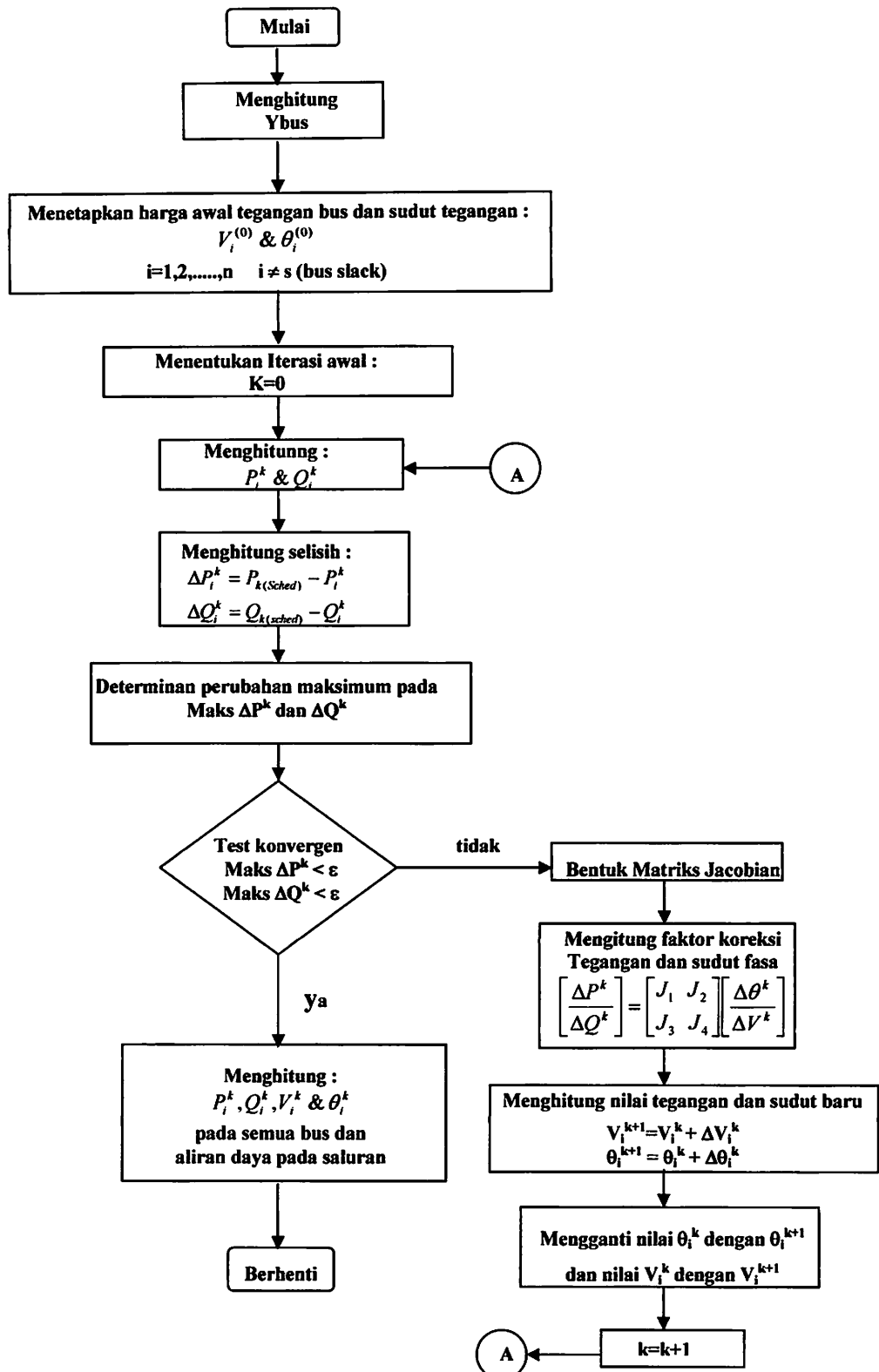
10. Mengeset $Gbest_counter = 1$.
11. Untuk tiap partikel, jika sudah dalam posisi yang bagus, dinamakan $Pbest$ dan menerima $Gbest$ yang berhubungan dengan partikel yang ditunjukkan dengan $Gbest_counter$ dari $Pbest$.
12. Memperbaharui *time counter* $t = t+1$.
13. Memperbaharui kecepatan sesuai dengan persamaan (3.8).
14. Memperbaharui partikel sesuai dengan persamaan (3.9).
15. Memperbaharui $Pbest$ sesuai persamaan (3.10).
16. Setelah iterasi pertama $G-best_counter$ mengup-date sendiri menurut nilai minimum dari fungsi fitness dari $Pbest$.
17. Apakah iterasi = iterasi maksimum yang diinginkan sudah terpenuhi.
18. Jika “**Tidak**” maka, kembali ke langkah 10.
19. Jika “**Ya**” maka perhitungan berhenti.

3.4 Diagram Alir Algoritma Program

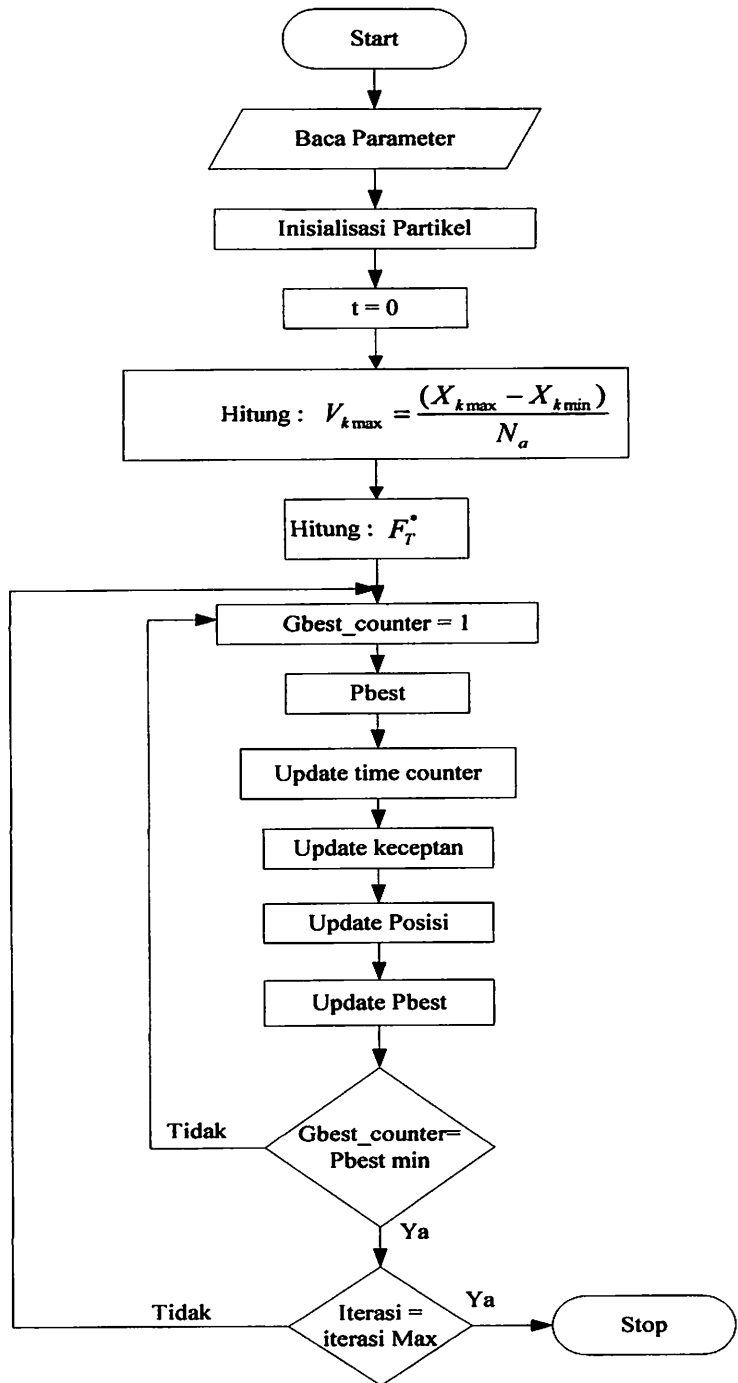
3.4.1. Diagram Alir Program Dasar Permasalahan



3.4.2. Diagram Alir Aliran Daya Newton Raphson



3.4.3. Diagram Alir Program *Economic Load Dispatch* Menggunakan Metode *Particle Swarm Optimization*.



BAB IV

ANALISIS *ECONOMIC LOAD DISPATCH* MENGGUNAKAN *PARTICLE SWARM OPTIMIZATION*

4.1. Program Komputer *Economic Load Dispatch* Menggunakan Metode *Particle Swarm Optimization*

Dalam penyelesaian masalah ini maka diperlukan bantuan program komputer dalam perhitungan yang membutuhkan ketelitian dan keakuratan.

Program komputer dalam skripsi ini dijalankan dengan menggunakan bahasa pemrograman Borland Delphi versi 7.0 dan diaplikasikan pada komputer Pentium 3, dengan Prosesor 866 MHz, Memori 256 Mb.

4.2. Data Pembangkitan Thermal Pada Sub Sistem Paiton-Bali

Pada skripsi ini akan membahas pembangkit thermal yang berada pada sub sistem Paiton dan Bali. Pembangkit thermal yang dibahas dalam skripsi ini adalah PLTU Paiton 1-2, PLTG Gilimanuk, PLTD Pesanggaran, dan PLTG Pesanggaran.

Untuk data dari bentuk karakteristik semua unit pembangkit yang dibahas dalam skripsi ini beserta kapasitasnya dan *fuel cost* (biaya bahan bakar) yang digunakan dalam perhitungan adalah berdasarkan data dari PT. Indonesia Power dan PT. PJB.

Tabel 4.1.
Parameter Unit Pembangkit Thermal

Nama Pembangkit	a2	a1	a0	Pmin (MW)	Pmax (MW)	Qmin (MVAR)	Qmax (MVAR)
PLTU Paiton 1&2	6,180	1306,150	388144,168	150	700	-200	300
PLTG Gilimanuk	1,4069	1599	87345	50	133,8	-45	80
PLTD Pesanggaran	14,2932	1670	88960	21	75	-20	60
PLTG Pesanggaran	113,9	5297	139560	15	125,5	-15	75

Dengan memasukkan data-data pada tabel 4.1. ke persamaan fungsi biaya bahan bakar, maka untuk unit pembangkit thermal PLTU Paiton 1&2 diperoleh sebagai berikut :

Biaya bahan bakar pembangkit:

$$F_i(G_i) = a_2 P_{Gi}^2 + a_1 P_{Gi} + a_0$$

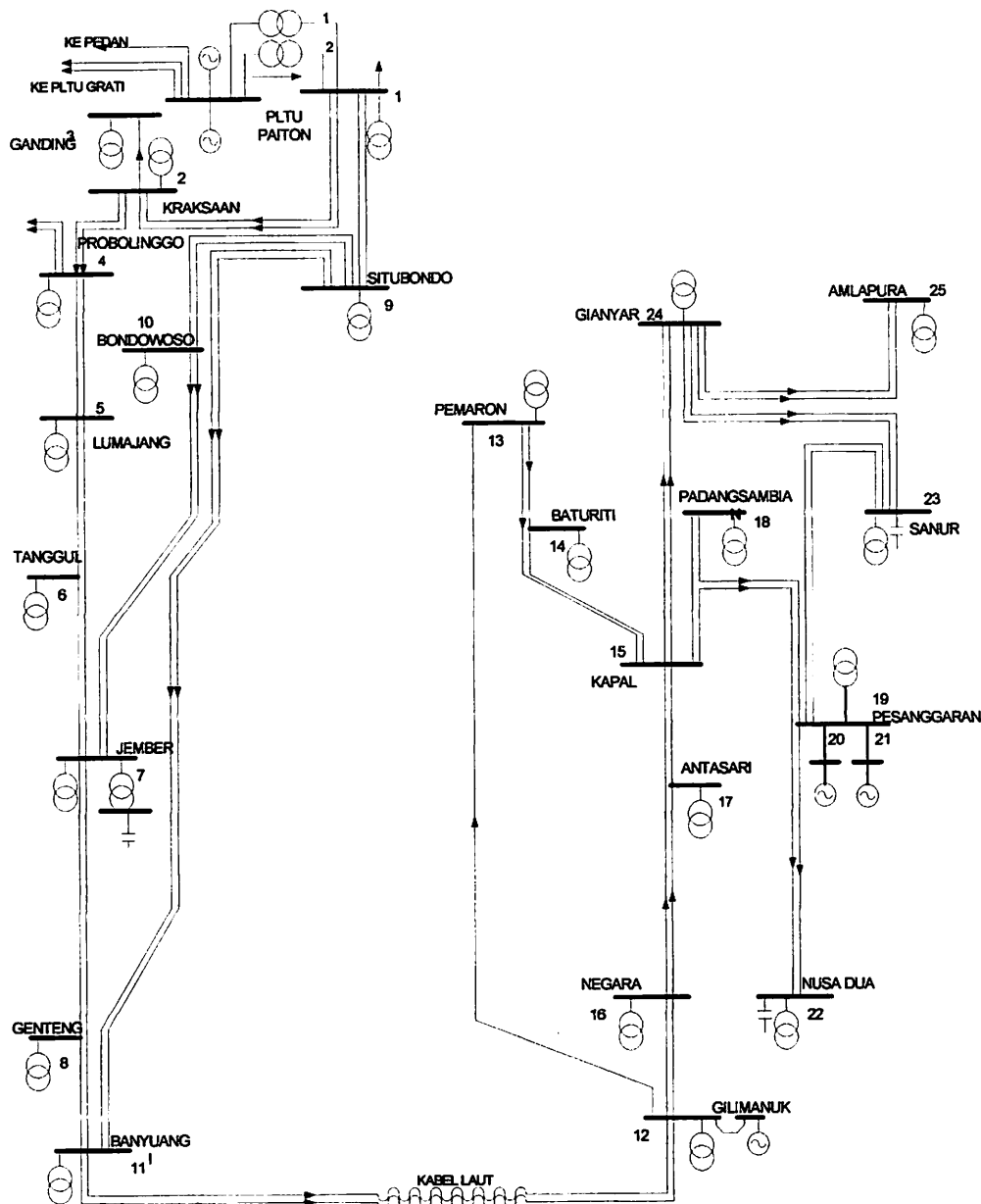
$$F_1(G_1) = 6.180P^2 + 1306.150P + 388144.168$$

Untuk persamaan biaya pembangkitan dari masing-masing unit pembangkit yang berdasarkan data-data diatas adalah sebagai berikut:

Tabel 4.2
Persamaan Biaya Pembangkitan
Unit Pembangkit Thermal Paiton-Bali

No.	Nama Pembangkit	Persamaan Biaya Bahan Bakar Pembangkitan (Rp/Jam)
1	PLTU Paiton 1&2	$F = 6,180P^2 + 1306,150P + 388144,168$
2	PLTG Gilimanuk	$F = 1,4069P^2 + 1599P + 87345$
3	PLTD Pesanggaran	$F = 14,2932P^2 + 1670P + 88960$
4	PLTG Pesanggaran	$F = 113,9P^2 + 5297P + 139560$

GAMBAR
SALURAN TRANSMISI 150 KV SUB SISTEM
PAITON DAN BALI



Gambar 4.1
Single Line Diagram
STL 150 kV PT. PLN (Persero) P3B Area IV
Sub Sistem Paiton - Bali

Tabel 4.3
Penomoran Bus Sub Sistem 150 kV Paiton-Bali

No. Bus	Nama Bus
1	PAITON
2	KRAKSAAN
3	GENDING
4	PROBOLINGGO
5	LUMAJANG
6	TANGGUL
7	JEMBER
8	GENTENG
9	SITUBONDO
10	BONDOWOSO
11	BANYUWANGI
12	GILIMANUK
13	NEGARA
14	ANTASARI
15	KAPAL
16	BATURITI
17	PEMARON
18	PADANG SAMBIAN
19	PESANGGARAN
20	PLTD PESANGGARAN
21	PLTG PESANGGARAN
22	NUSADUA
23	SANUR
24	GIANYAR
25	AMLAPURA

4.3. Data Pembangkitan dan Pembebanan Sub Sistem 150 kV Paiton–Bali

Tabel 4.4.
Data Pembangkitan dan Pembebanan
Sub Sistem 150 kV Paiton-Bali

No.	Nama Bus	Tegangan	Pgenerator	Qgenerator	Pload	Qload	Tipe
		(pu)	(MW)	(MVAR)	(MW)	(MVAR)	
1	PAITON	1,033	-	-	38,1	5,7	1
2	KRAKSAN	-	-	-	16,5	6,5	3
3	GENDING	-	-	-	17,5	6,7	3
4	PROBOLINGGO	-	-	-	39,3	19,8	3
5	LUMAJANG	-	-	-	39,8	17,5	3
6	TANGGUL	-	-	-	23,4	9,3	3
7	JEMBER	-	-	47	58,9	30,3	3
8	GENTENG	-	-	-	39,8	21,8	3
9	SITUBONDO	-	-	-	24,4	5,8	3
10	BONDOWOSO	-	-	-	17,8	7,4	3
11	BANYUWANGI	-	-	-	37,8	14,8	3
12	GILIMANUK	0,992	99,9	-	5,7	2	2
13	NEGARA	-	-	-	11,7	4,6	3
14	ANTASARI	-	-	-	6	2,8	3
15	KAPAL	-	-	50	69,5	23,5	3
16	BATURITI	-	-	-	4	0,5	3
17	PEMARON	-	-	-	24,8	8,8	3
18	PDG SAMBIAN	-	-	-	32,8	13,3	3
19	PESANGGARAN	-	-	-	76,4	28,9	3
20	PLTD PSGRAN	0,936	31,4	-	-	-	2
21	PLTG PSGRAN	0,936	84,6	-	-	-	2
22	NUSADUA	-	-	25	51,4	19,3	3
23	SANUR	-	-	25	60,3	17,7	3
24	GIANYAR	-	-	-	33,7	9,6	3
25	AMLAPURA	-	-	-	14,4	7	3

Ket:
 1 : bus slack
 2 : bus generator
 3 : bus beban

4.4. Data Saluran Transmisi Sub Sistem 150 kV Paiton-Bali

Pada sub sistem Paiton dan Bali terdiri dari 25 bus dan 34 saluran transmisi, dalam hal ini saluran transmisi yang dibahas adalah saluran transmisi 150 kV.

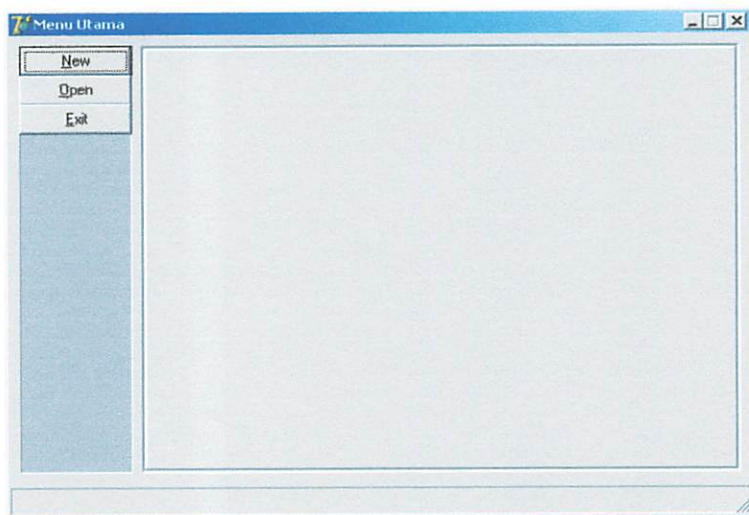
Tabel 4.5.
Data Saluran Transmisi Sub Sistem 150 kV Paiton-Bali

No	Hubungan Bus	Jumlah Sirkuit	R (pu)	X (pu)	B (pu)
1	1 – 2	2	0,0053	0,0179	0,0065
2	1 – 9	2	0,0048	0,0346	0,0251
3	2 – 3	1	0,0100	0,0340	0,0123
4	2 – 4	2	0,0079	0,0269	0,0097
5	4 – 5	2	0,0135	0,0460	0,0166
6	5 – 6	1	0,0167	0,0571	0,0206
7	5 – 7	1	0,0315	0,1077	0,0389
8	6 – 7	1	0,0148	0,0506	0,0183
9	7 – 8	1	0,0337	0,1151	0,0415
10	7 – 10	2	0,0104	0,0353	0,0128
11	7 – 11	1	0,0430	0,1469	0,0530
12	8 – 11	1	0,0177	0,0604	0,0218
13	9 – 10	2	0,0091	0,0310	0,0112
14	9 – 11	2	0,0966	0,0457	0,0340
15	11 – 12	2	0,0016	0,0035	-
16	12 – 13	2	0,0116	0,0034	0,0124
17	12 – 17	1	0,0399	0,1314	0,0502
18	13 – 14	1	0,0270	0,0783	0,0288
19	13 – 15	1	0,0412	0,1194	0,0439
20	14 – 15	1	0,0142	0,0411	0,0151
21	15 – 16	1	0,0362	0,0693	0,0240
22	15 – 17	1	0,0556	0,1054	0,0369
23	15 – 18	1	0,0105	0,0304	0,0112
24	15 – 19	1	0,0105	0,0304	0,0112
25	15 – 22	1	0,0293	0,0561	0,0195
26	15 – 24	2	0,0059	0,0170	0,0063
27	16 – 17	1	0,0194	0,0371	0,0129
28	18 – 19	1	0,0045	0,0130	0,0048
29	19 – 20	1	0,0020	0,0044	-
30	19 – 21	1	0,0020	0,0056	-
31	19 – 22	1	0,0127	0,0243	0,0084
32	19 – 23	2	0,0037	0,0070	0,0025
33	23 – 24	2	0,0078	0,0149	0,0052
34	24 – 25	2	0,0103	0,0298	0,0110

4.5. Prosedur Pelaksanaan Program Perhitungan

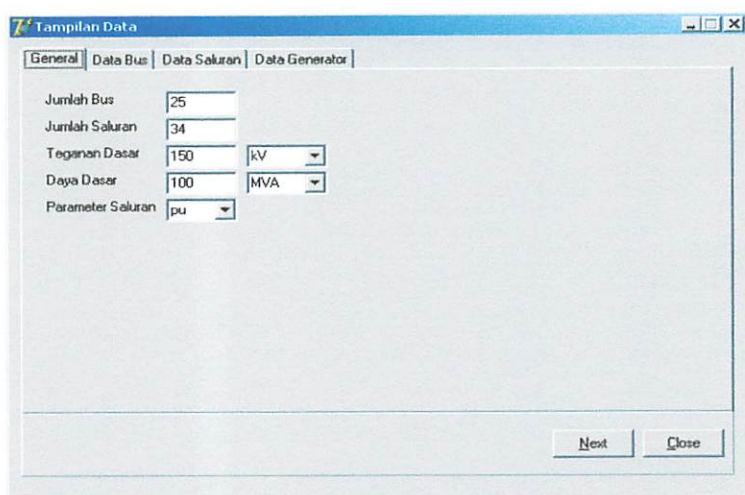
Prosedur menjalankan program perhitungan dengan menggunakan bahasa pemrograman Borland Delphi versi 7.0 dapat dilakukan sebagai berikut :

1. Tampilan utama dari program



Gambar 4.2.
Tampilan Utama Program

2. Tekan tombol *Open File* untuk membuka data yang sudah tersimpan.



Gambar 4.3.
Tampilan Masukan Data

3. Kemudian tekan tombol data bus

Tampilan Data								
General Data Bus Data Saluran Data Generator								
Bus	absV (pu)	sudV (deg)	Pg (MW)	Qg (MVAR)	PL (MW)	QL (MVAR)	Cap (pu)	Type Bus
1	1.033	0	0	0	38.1	5.7	0	1
2	1	0	0	0	16.5	6.5	0	3
3	1	0	0	0	17.5	6.7	0	3
4	1	0	0	0	39.3	19.8	0	3
5	1	0	0	0	39.8	17.5	0	3
6	1	0	0	0	23.4	9.3	0	3
7	1	0	0	47	58.9	30.3	0	3
8	1	0	0	0	39.8	21.8	0	3
9	1	0	0	0	24.4	5.8	0	3
10	1	0	0	0	17.8	7.4	0	3
11	1	0	0	0	37.8	14.8	0	3
12	0.992	0	99.9	0	5.7	2	0	2
13	1	0	0	0	11.7	4.6	0	3
14	1	0	0	0	6	2.8	0	3
14e	1	0	0	0	0	0	0	0

Gambar 4.4.
Tampilan Data Bus

4. Kemudian tekan tombol data saluran

Tampilan Data								
General Data Bus Data Saluran Data Generator								
No	Dari	Ke	R (pu)	X (pu)	Lc (pu)	Tr	Tu	Su (deg)
1	1	2	0.0053	0.0179	0.0065	0	0	0
2	1	9	0.0048	0.0346	0.0251	0	0	0
3	2	3	0.01	0.034	0.0123	0	0	0
4	2	4	0.0079	0.0269	0.0097	0	0	0
5	4	5	0.0135	0.046	0.0166	0	0	0
6	5	6	0.0167	0.0571	0.0206	0	0	0
7	5	7	0.0315	0.1077	0.0389	0	0	0
8	6	7	0.0148	0.0506	0.0183	0	0	0
9	7	8	0.0337	0.1151	0.0415	0	0	0
10	7	10	0.0104	0.0353	0.0128	0	0	0
11	7	11	0.043	0.1463	0.053	0	0	0
12	8	11	0.0177	0.0604	0.0218	0	0	0
13	9	10	0.0091	0.031	0.0112	0	0	0
14	9	11	0.0966	0.0457	0.0024	0	0	0

Gambar 4.5
Tampilan Data Saluran

5. Kemudian tekan data generator

No	Bus	Qmin (MVAR)	Qmax (MVAR)	a2	a1	a0	Fix Cost	Var Cost	Pmin
1	1	-200.00	300.00	6.18000	1306.15000	388144.168	0.73	5.10	150.
2	12	-45.00	80.00	1.40690	1599.00000	87435.0000	1.03	7.20	50.
3	20	-20.00	60.00	14.29320	1670.00000	88960.0000	1.03	7.20	21.
4	21	-15.00	75.00	113.90000	5297.00000	139560.000	1.03	7.20	15.

Gambar 4.6.
Tampilan Data Generator

6. Tekan tombol *next* kemudian tekan tombol *Lfawal* untuk melihat hasil perhitungan tegangan, sudut tegangan dan daya setiap bus pada kondisi awal.

Bus	absV [pu]	sudV [deg]	Pg [MW]	Qg [MVAR]	PL [MW]	QL [MVAR]	Sups [pu]	Type Bus
1	1.03300	0.00000	613.515	-49.115	38.100	5.700	0.000	1
2	1.01822	-0.03649	0.000	0.000	16.500	6.500	0.000	3
3	1.01466	-0.04173	0.000	0.000	17.500	6.700	0.000	3
4	1.00339	-0.08471	0.000	0.000	39.300	19.800	0.000	3
5	0.99556	-0.15328	0.000	0.000	39.800	17.500	0.000	3
6	0.99726	-0.18834	0.000	0.000	23.400	9.300	0.000	3
7	1.00573	-0.20809	0.000	47.000	58.900	30.300	0.000	3
8	0.98114	-0.30001	0.000	0.000	39.800	21.800	0.000	3
9	1.04883	-0.11665	0.000	0.000	24.400	5.800	0.000	3
10	1.02601	-0.16101	0.000	0.000	17.800	7.400	0.000	3
11	0.98767	-0.32713	0.000	0.000	37.800	14.800	0.000	3
12	0.99200	-0.33746	99.900	208.983	5.700	2.000	0.000	2
13	0.96802	-0.34575	0.000	0.000	11.700	4.600	0.000	3
14	0.94687	-0.42918	0.000	0.000	6.000	2.800	0.000	3
15	0.93875	-0.47135	0.000	50.000	69.500	23.500	0.000	3

Gambar 4.7.
Tampilan hasil perhitungan tegangan, sudut tegangan dan daya setiap bus pada kondisi awal

7. Tekan tombol *aliran daya* untuk melihat hasil perhitungan *Load Flow* pada kondisi awal.

The screenshot shows a software interface titled 'Hasil Loadflow'. The 'Aliran Daya' tab is active. Below it is a table with columns: No, Dari, Ke, P (MW), Q (MVAR), Arus re (A), Arus im (A), Dari, Ke, P (MW), and Q. The table contains 14 rows of data representing the initial load flow results. At the bottom of the window are buttons for 'Hitung', 'LF Awal', and 'Close'.

No	Dari	Ke	P (MW)	Q (MVAR)	Arus re (A)	Arus im (A)	Dari	Ke	P (MW)	Q
1	1	2	221.390	22.959	1428.783	148.169	2	1	-218.928	-1
2	1	9	354.025	-77.774	2204.770	-501.930	9	1	-348.134	1
3	2	3	17.533	4.269	113.696	32.122	3	2	-17.500	-
4	2	4	184.895	5.241	1208.519	78.461	4	2	-182.287	-
5	4	5	142.987	-21.457	958.682	-61.669	5	4	-140.193	2
6	5	6	55.636	20.208	388.854	-76.850	6	5	-55.059	1
7	5	7	44.757	-24.952	321.708	-119.371	7	5	-43.979	1
8	6	7	31.659	-27.391	242.180	-140.243	7	6	-31.413	2
9	7	8	79.253	-2.296	517.154	93.639	8	7	-77.159	-
10	7	10	-141.354	-14.177	-897.357	-285.520	10	7	143.425	1
11	7	11	78.592	-11.212	525.074	34.907	11	7	-75.952	-
12	8	11	37.359	-23.055	288.806	-74.634	11	8	-37.022	1
13	9	10	163.525	31.391	1009.128	319.148	10	9	-161.225	-2
14	9	11	160.208	-151.993	1123.851	-841.026	11	9	-118.368	1

Gambar 4.8.
Tampilan Hasil *LoadFlow* Pada Kondisi Awal

8. Tekan tombol *summary* untuk melihat hasil perhitungan jumlah pembangkitan, jumlah pembebanan dan jumlah rugi – rugi pada kondisi awal.

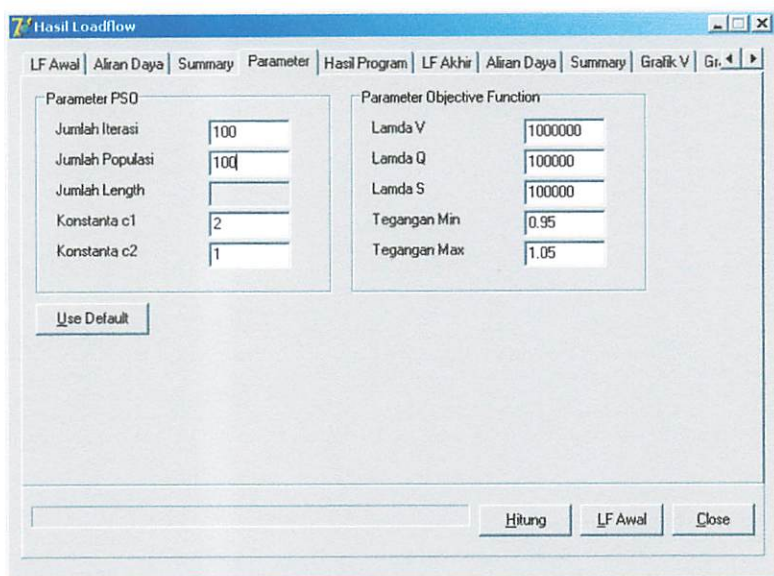
The screenshot shows the same software interface as in Gambar 4.8. The 'Summary' tab is now active. A summary box is displayed with the following data:

- Jumlah Pembangkitan: $829.415 + j 329.944$ MVA
- Jumlah Pembebanan: $744.000 + j 283.600$ MVA
- Jumlah Rugi-Rugi: $85.415 + j 46.344$ MVA
- Iterasi: 4
- Waktu Hitung: 0.0.010

At the bottom of the window are buttons for 'Hitung', 'LF Awal', and 'Close'.

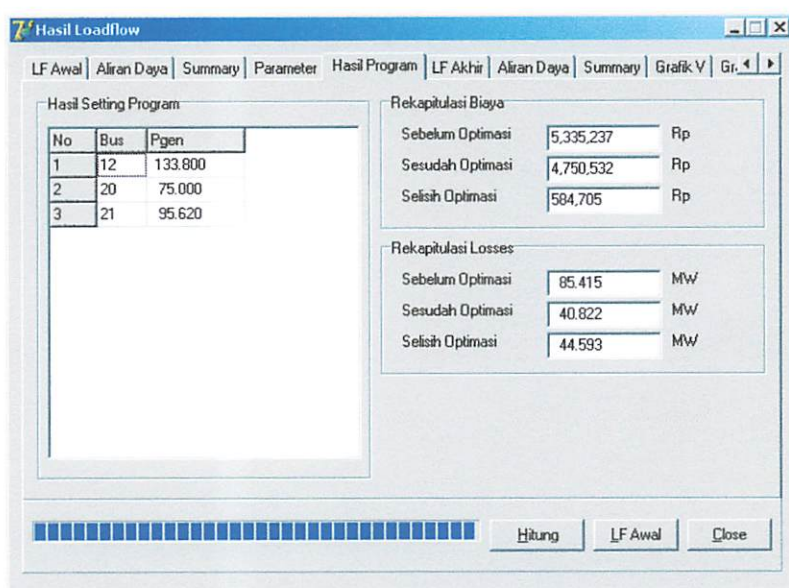
Gambar 4.9.
Tampilan *Summary* pada kondisi awal

9. Tekan tombol *parameter*, kemudian tekan tombol *use default* untuk memasukkan parameter *PSO*, lalu tekan tombol *Hitung*



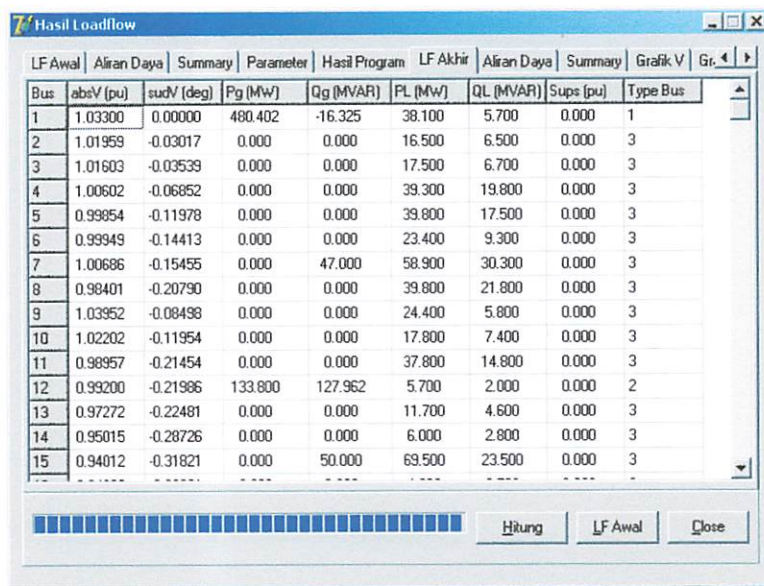
Gambar 4.10.
Tampilan parameter *PSO*

10. Tekan tombol *Hasil Program*



Gambar 4.11.
Tampilan Hasil Akhir Program

11. Tekan tombol *LFAkhir*



The screenshot shows a software interface titled 'Hasil Loadflow'. The main area is a table with 15 rows, each representing a bus. The columns are labeled: Bus, absV (pu), sudV (deg), Pg (MW), Qg (MVAR), PL (MW), QL (MVAR), Sups (pu), and Type Bus. The data for the first few buses is as follows:

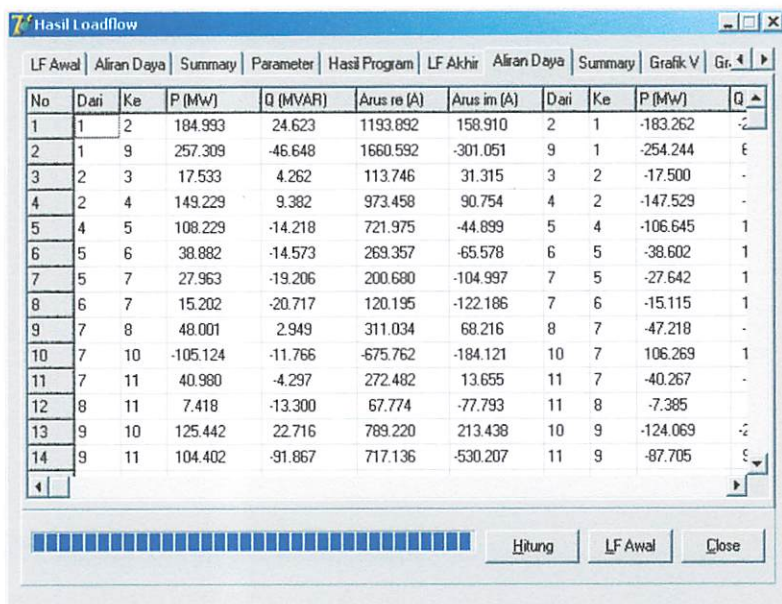
Bus	absV (pu)	sudV (deg)	Pg (MW)	Qg (MVAR)	PL (MW)	QL (MVAR)	Sup (pu)	Type Bus
1	1.03300	0.00000	480.402	-16.325	38.100	5.700	0.000	1
2	1.01959	-0.03017	0.000	0.000	16.500	6.500	0.000	3
3	1.01603	-0.03539	0.000	0.000	17.500	6.700	0.000	3
4	1.00602	-0.06852	0.000	0.000	39.300	19.800	0.000	3
5	0.99954	-0.11978	0.000	0.000	39.800	17.500	0.000	3
6	0.99949	-0.14413	0.000	0.000	23.400	9.300	0.000	3
7	1.00686	-0.15455	0.000	47.000	58.900	30.300	0.000	3
8	0.98401	-0.20790	0.000	0.000	39.800	21.800	0.000	3
9	1.03952	-0.08498	0.000	0.000	24.400	5.800	0.000	3
10	1.02202	-0.11954	0.000	0.000	17.800	7.400	0.000	3
11	0.98957	-0.21454	0.000	0.000	37.800	14.800	0.000	3
12	0.99200	-0.21986	133.800	127.962	5.700	2.000	0.000	2
13	0.97272	-0.22481	0.000	0.000	11.700	4.600	0.000	3
14	0.95015	-0.28726	0.000	0.000	6.000	2.800	0.000	3
15	0.94012	-0.31821	0.000	50.000	69.500	23.500	0.000	3

At the bottom of the window are buttons for 'Hitung', 'LF Awal', and 'Close'.

Gambar 4.12.

Tampilan hasil perhitungan tegangan, sudut tegangan dan daya setiap bus pada kondisi akhir

12. Tekan tombol *Aliran Daya*



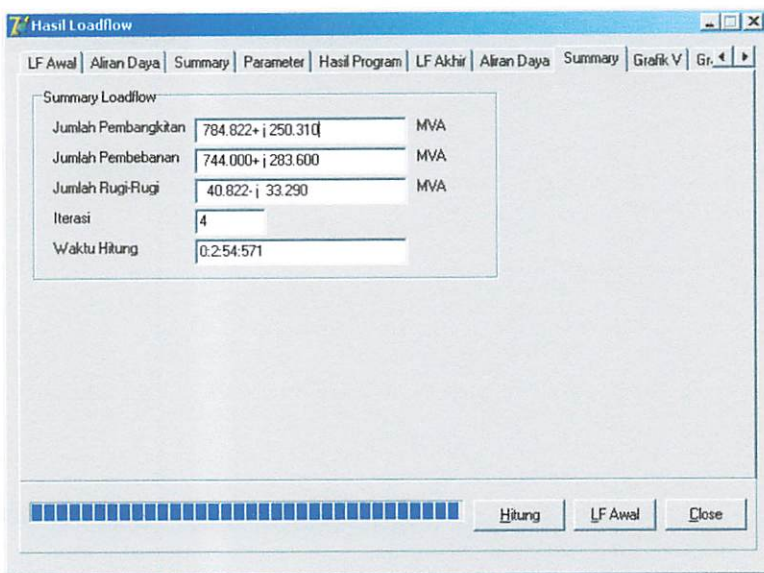
The screenshot shows a software interface titled 'Hasil Loadflow'. The main area is a table with 14 rows, each representing a transmission line segment. The columns are labeled: No, Dari, Ke, P (MW), Q (MVAR), Arus re (A), Arus im (A), Dari, Ke, P (MW), and Q. The data for the first few segments is as follows:

No	Dari	Ke	P (MW)	Q (MVAR)	Arus re (A)	Arus im (A)	Dari	Ke	P (MW)	Q
1	1	2	184.993	24.623	1193.892	158.910	2	1	-183.262	-
2	1	9	257.309	-46.648	1660.592	-301.051	9	1	-254.244	-
3	2	3	17.533	4.262	113.746	31.315	3	2	-17.500	-
4	2	4	149.229	9.382	973.458	90.754	4	2	-147.529	-
5	4	5	108.229	-14.218	721.975	-44.899	5	4	-106.645	1
6	5	6	38.882	-14.573	269.357	-65.578	6	5	-38.602	1
7	5	7	27.963	-19.206	200.680	-104.997	7	5	-27.642	1
8	6	7	15.202	-20.717	120.195	-122.186	7	6	-15.115	1
9	7	8	48.001	2.949	311.034	68.216	8	7	-47.218	-
10	7	10	-105.124	-11.766	-675.762	-184.121	10	7	106.269	1
11	7	11	40.980	-4.297	272.482	13.655	11	7	-40.267	-
12	8	11	7.418	-13.300	67.774	-77.793	11	8	-7.385	-
13	9	10	125.442	22.716	789.220	213.438	10	9	-124.069	-
14	9	11	104.402	-91.867	717.136	-530.207	11	9	-87.705	-

At the bottom of the window are buttons for 'Hitung', 'LF Awal', and 'Close'.

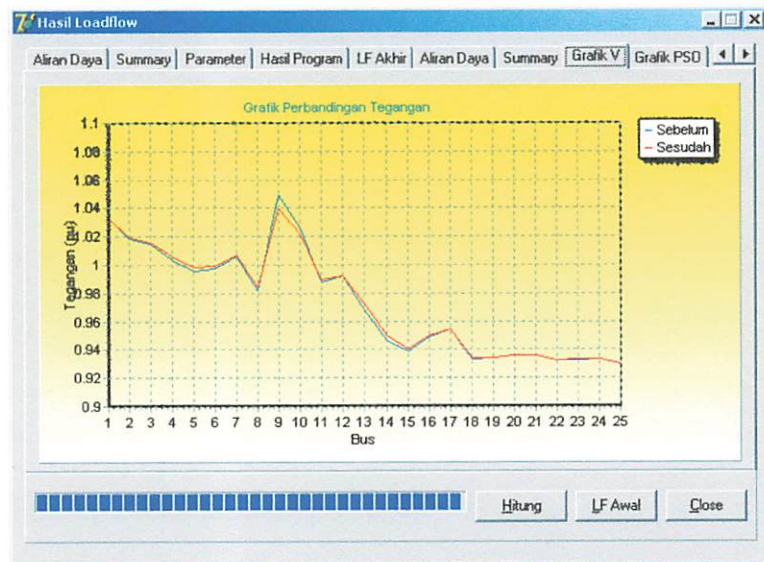
Gambar 4.13.
Tampilan Hasil *LoadFlow* Pada Kondisi Akhir

13. Tekan tombol *Summary*



Gambar 4.14.
Tampilan *Summary load flow* pada kondisi akhir

14. Tekan tombol Grafik Tegangan



Gambar 4.15.
Tampilan Grafik Perbandingan Tegangan dan Bus

4.6. Hasil dan Analisis Hasil Perhitungan *Economic Load Dispatch* Menggunakan Metode *Particle Swarm Optimization* Pada Saluran Transmisi 150 kV Sub Sistem Paiton – Bali

Berdasarkan data saluran transmisi 150 kV Sub Sistem Paiton – Bali maka dilakukan pengolahan data untuk mengubah dasar tegangan ke dalam pu. Serta perhitungan P_{load} dan Q_{load} .

Pada bus nomor 1, maka :

$$\text{Tegangan Dasar} = 150 \text{ kV}$$

$$\text{Tegangan Sebenarnya} = 155 \text{ kV}$$

$$\text{Tegangan (pu)} = \frac{\text{Tegangan sebenarnya}}{\text{Tegangan dasar}}$$

$$\text{Tegangan (pu)} = \frac{155}{150} = 1.033 \text{ pu}$$

$$P_{\text{beban}} = 11.7 + 26.4 = 38,1 \text{ MW}$$

$$Q_{\text{beban}} = 5,7 \text{ MVAR}$$

Pada sub sistem Paiton dan Bali terdiri dari 25 bus dan 34 saluran transmisi, dalam hal ini saluran transmisi yang dibahas adalah saluran transmisi 150 kV.

4.6.1. Hasil Perhitungan Kondisi Awal

Tabel 4.6.

Hasil Perhitungan Tegangan, Sudut Tegangan, Pembangkitan dan Pembebanan

No	Bus	Tegangan	Sudut	Pembangkitan		Pembebanan	
				P(MW)	Q(Mvar)	P(MW)	Q(Mvar)
1	1	1.03300	0.00000	613.515	-49.115	38.1	5.7
2	2	1.01822	-0.03649	0	0	16.5	6.5
3	3	1.01466	-0.04173	0	0	17.5	6.7
4	4	1.00339	-0.08471	0	0	39.3	19.8
5	5	0.99556	-0.15328	0	0	39.8	17.5
6	6	0.99726	-0.18834	0	0	23.4	9.3
7	7	1.00573	-0.20809	0	47	58.9	30.3
8	8	0.98114	-0.30001	0	0	39.8	21.8
9	9	1.04883	-0.11665	0	0	24.4	5.8
10	10	1.02601	-0.16101	0	0	17.8	7.4
11	11	0.98767	-0.32713	0	0	37.8	14.8
12	12	0.99200	-0.33746	99.9	208.983	5.7	2
13	13	0.96802	-0.34575	0	0	11.7	4.6
14	14	0.94687	-0.42918	0	0	6	2.8
15	15	0.93875	-0.47135	0	50	69.5	23.5
16	16	0.94878	-0.45445	0	0	4	0.5
17	17	0.95400	-0.44330	0	0	24.8	8.8
18	18	0.93330	-0.48183	0	0	32.8	13.3
19	19	0.93423	-0.48205	0	0	76.4	28.9
20	20	0.93600	-0.48101	31.4	23.439	-	-
21	21	0.93600	-0.47662	84.6	-0.362	-	-
22	22	0.93212	-0.48962	0	25	51.4	19.3
23	23	0.93264	-0.48585	0	25	60.3	17.7
24	24	0.93309	-0.48292	0	0	33.7	9.6
25	25	0.92955	-0.48715	0	0	14.4	7

Sumber : Hasil Perhitungan dengan Metode PSO

Tabel 4.6
Hasil Perhitungan Aliran Daya Antar Saluran Sebelum Optimasi

No	Saluran		Daya		Saluran		Daya	
	Dari	Ke	P(MW)	Q(Mvar)	Dari	Ke	P(MW)	Q(Mvar)
1	1	2	221.390	22.959	2	1	-218.928	-16.011
2	1	9	354.025	-77.774	9	1	-348.134	114.802
3	2	3	17.533	4.269	3	2	-17.500	-6.700
4	2	4	184.895	5.241	4	2	-182.287	1.657
5	4	5	142.987	-21.457	5	4	-140.193	27.660
6	5	6	55.636	-20.208	6	5	-55.059	18.091
7	5	7	44.757	-24.952	7	5	-43.979	19.822
8	6	7	31.659	-27.391	7	6	-31.413	24.562
9	7	8	79.253	-2.296	8	7	-77.159	1.255
10	7	10	-141.354	-14.177	10	7	143.425	18.566
11	7	11	78.592	-11.212	11	7	-75.952	9.701
12	8	11	37.359	-23.055	11	8	-37.022	19.981
13	9	10	163.525	31.391	10	9	-161.225	-25.967
14	9	11	160.208	-151.993	11	9	-118.368	164.730
15	11	12	193.542	-209.212	12	11	-192.209	212.126
16	12	13	207.651	-9.004	13	12	-202.561	8.113
17	12	17	78.759	3.860	17	12	-76.212	-4.983
18	13	14	96.499	-5.760	14	13	-93.813	8.268
19	13	15	94.362	-6.953	15	13	-90.443	10.327
20	14	15	87.813	-11.068	15	14	-86.577	11.962
21	15	16	-22.568	-3.729	16	15	22.778	-0.144
22	15	17	-24.112	-3.780	17	15	24.479	-2.134
23	15	18	32.211	4.885	18	15	-32.083	-6.478
24	15	19	31.934	2.127	19	15	-31.811	-3.736
25	15	22	27.051	-4.489	22	15	-26.805	1.547
26	15	24	63.005	9.198	24	15	-62.732	-9.517
27	16	17	-26.778	-0.356	17	16	26.933	-1.683
28	18	19	-0.717	-6.882	19	18	0.719	5.991
29	19	20	-31.365	-23.362	20	19	31.400	23.439
30	19	21	-84.437	0.820	21	19	84.600	-0.362
31	19	22	24.687	-5.440	22	19	-24.595	4.153
32	19	23	45.807	-3.173	23	19	-45.718	2.906
33	23	24	-14.582	4.394	24	23	14.603	-5.259
34	24	25	14.429	5.176	25	24	-14.400	-7.000

Keterangan:

Total Pembangkitan	: $829,415 + j 329,944$ MVA
Total Pembebanan	: $744,000 + j 283,600$ MVA
Total Rugi-Rugi Saluran	: $85,415 + j 46,344$ MVA

Tabel 4.8

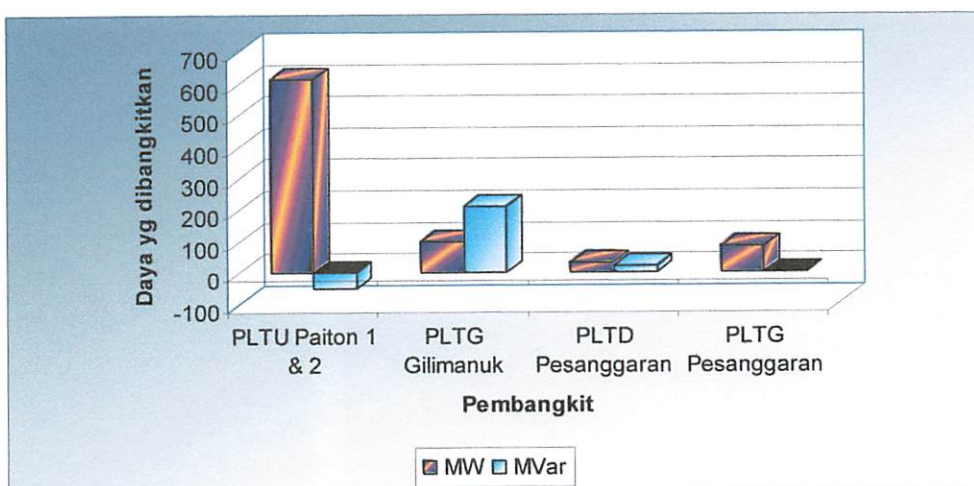
Hasil Perhitungan Daya Yang Dibangkitkan dan Biaya Operasi Sebelum Optimasi

No	Nama Pembangkit	Daya Yang Dibangkitkan		a2	a1	a0	Biaya Operasi
		(MW)	(MVar)				(Rupiah/jam)
1	PLTU Paiton 1 & 2	613.515	-49.115	6.180	1306.150	388144.168	3.515.642,83
2	PLTG Gilimanuk	99.9	208.983	1.4069	1599	87345	261.125,98
3	PLTD Pesanggaran	31.4	23.439	14.2932	1670	88960	155.490,52
4	PLTG Pesanggaran	84.6	-0.362	113.9	5297	139560	1.402.886,72
Total		829.415	276.889				5.335.237,00

Sumber : Hasil Perhitungan dengan Metode PSO

Grafik 4.1

Hasil Perhitungan Daya Yang Dibangkitkan Pada Kondisi Awal



4.6.2. Hasil Perhitungan Setelah Optimasi

Tabel 4.8

Hasil Perhitungan Tegangan, Sudut Tegangan, Pembangkitan Dan Pembebanan

No	Bus	Tegangan	Sudut	Pembangkitan		Pembebanan	
				P(MW)	Q(Mvar)	P(MW)	Q(Mvar)
1	1	1.03300	0.00000	480.402	-16.325	38.1	5.7
2	2	1.01959	-0.03017	0	0	16.5	6.5
3	3	1.01603	-0.03539	0	0	17.5	6.7
4	4	1.00602	-0.06852	0	0	39.3	19.8
5	5	0.99854	-0.11978	0	0	39.8	17.5
6	6	0.99949	-0.14413	0	0	23.4	9.3
7	7	1.00686	-0.15455	0	47	58.9	30.3
8	8	0.98401	-0.20790	0	0	39.8	21.8
9	9	1.03952	-0.08498	0	0	24.4	5.8
10	10	1.02202	-0.11954	0	0	17.8	7.4
11	11	0.98957	-0.21454	0	0	37.8	14.8
12	12	0.99200	-0.21986	133.80	127.962	5.7	2
13	13	0.97272	-0.22481	0	0	11.7	4.6
14	14	0.95015	-0.28726	0	0	6	2.8
15	15	0.94012	-0.31821	0	50	69.5	23.5
16	16	0.94960	-0.30861	0	0	4	0.5
17	17	0.95444	-0.30131	0	0	24.8	8.8
18	18	0.93387	-0.32296	0	0	32.8	13.3
19	19	0.93443	-0.32073	0	0	76.4	28.9
20	20	0.93600	-0.31694	75	-0.65	-	-
21	21	0.93600	-0.31443	95.62	-7.677	-	-
22	22	0.93269	-0.33077	0	25	51.4	19.3
23	23	0.93297	-0.32606	0	25	60.3	17.7
24	24	0.93371	-0.32639	0	0	33.7	9.6
25	25	0.93017	-0.33061	0	0	14.4	7

Tabel 4.9
Hasil Perhitungan Aliran Daya Antar Saluran Setelah Optimasi

No	Saluran		Daya		Saluran		Daya	
	Dari	Ke	P(MW)	Q(Mvar)	Dari	Ke	P(MW)	Q(Mvar)
1	1	2	184.993	24.623	2	1	-183.262	-20.144
2	1	9	257.309	-46.648	9	1	-254.244	63.352
3	2	3	17.533	4.262	3	2	-17.500	-6.700
4	2	4	149.229	9.382	4	2	-147.529	-5.582
5	4	5	108.229	-14.218	5	4	-106.645	16.279
6	5	6	38.882	-14.573	6	5	-38.602	11.417
7	5	7	27.963	-19.206	7	5	-27.642	12.482
8	6	7	15.202	-20.717	7	6	-15.115	17.331
9	7	8	48.001	2.949	8	7	-47.218	-8.500
10	7	10	-105.124	-11.766	10	7	106.269	13.017
11	7	11	40.980	-4.297	11	7	-40.267	-3.831
12	8	11	7.418	-13.300	11	8	-7.385	9.167
13	9	10	125.442	22.716	10	9	-124.069	-20.418
14	9	11	104.402	-91.867	11	9	-87.705	92.762
15	11	12	97.556	-112.899	12	11	-97.192	113.694
16	12	13	163.067	5.355	13	12	-159.927	-6.828
17	12	17	62.226	6.913	17	12	-60.599	-11.068
18	13	14	75.182	1.690	14	13	-73.563	-2.322
19	13	15	73.045	0.538	15	13	-70.712	-1.811
20	14	15	67.563	-0.478	15	14	-66.845	-0.141
21	15	16	-14.964	-7.104	16	15	15.066	3.014
22	15	17	-16.473	-7.221	17	15	16.653	0.941
23	15	18	18.240	12.078	18	15	-18.180	-13.871
24	15	19	11.942	12.470	19	15	-11.904	-14.329
25	15	22	20.586	0.092	22	15	-20.444	-3.241
26	15	24	48.726	18.137	24	15	-48.544	-18.719
27	16	17	-19.066	-3.514	17	16	19.145	1.327
28	18	19	-14.620	0.571	19	18	14.631	-1.377
29	19	20	-74.872	0.933	20	19	75.000	-0.650
30	19	21	-95.410	8.266	21	19	95.620	-7.677
31	19	22	31.109	-10.111	22	19	-30.956	8.941
32	19	23	60.046	-12.284	23	19	-59.887	12.148
33	23	24	-0.413	-4.848	24	23	0.415	3.946
34	24	25	14.429	5.173	25	24	-14.400	-7.000

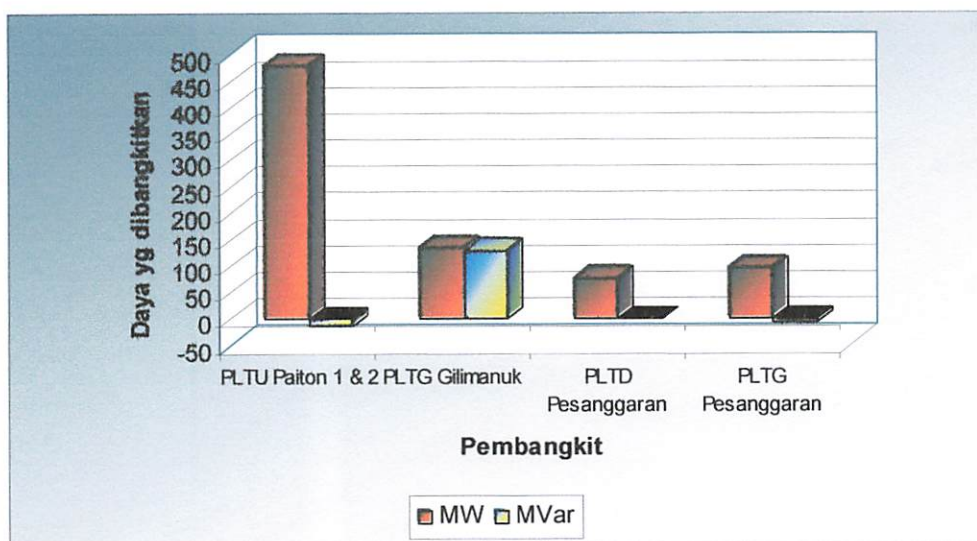
Keterangan:

Total Pembangkitan	: $784,822 + j 250,310$ MVA
Total Pembebanan	: $744,000 + j 283,600$ MVA
Total Rugi-Rugi Saluran	: $40,822 - j 33,290$ MVA

Tabel 4.10

Hasil Perhitungan Daya Yang Dibangkitkan dan Biaya Operasi Setelah Optimasi

No	Nama Pembangkit	Daya Yang Dibangkitkan		a2	a1	a0	Biaya Operasi
		(MW)	(MVar)				(Rupiah/jam)
1	PLTU Paiton 1 & 2	480.402	-16.325	6.180	1306.150	388144.168	2.441.879,22
2	PLTG Gilimanuk	133.80	127.96	1.4069	1599	87345	326.478,14
3	PLTD Pesanggaran	75	-0.65	14.293	1670	88960	294.609,25
4	PLTG Pesanggaran	95.62	-7.677	113.9	5297	139560	1.687.467,84
Total		784.822	103.31				4.750.532,00



Grafik 4.2

Hasil Perhitungan Daya Yang Dibangkitkan Pada Kondisi Akhir

4.7. Perbandingan Hasil Perhitungan *Economic Load Dispatch* Sebelum dan Setelah Penggunaan Metode *Particle Swarm Optimization*

4.7.1. Tingkat Optimum Biaya Pembangkitan

Berikut ini adalah tabel yang berisi perbandingan biaya optimum pembangkitan antara hasil perhitungan sebelum dengan sesudah optimasi.

Tabel 4.11
Perbandingan Tingkat Optimum Biaya Pembangkitan

No	Nama Pembangkit	Sebelum Optimasi	Setelah Optimasi
1	PLTU Paiton 1 & 2	Rp. 3.515.642,83	Rp. 2.441.879,22
2	PLTG Gilimanuk	Rp. 261.125,98	Rp. 326.478,14
3	PLTD Pesanggaran	Rp. 155.490,52	Rp. 294.609,25
4	PLTG Pesanggaran	Rp. 1.402.886,72	Rp. 1.687.467,84
	Total	Rp. 5.335.237,00	Rp. 4.750.532,00

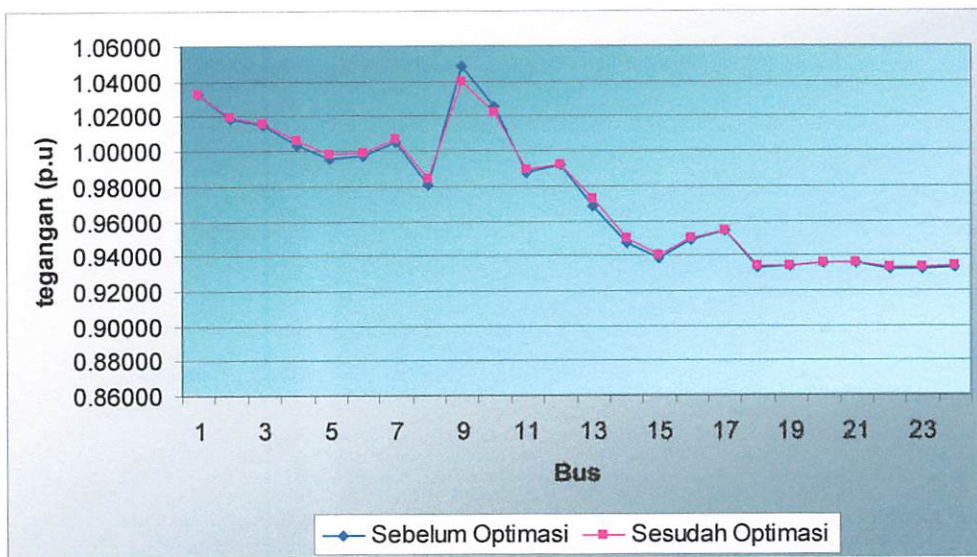
Dari tabel tingkat optimum diatas dapat dilihat bahwa besarnya biaya produksi pembangkitan sebelum optimasi adalah Rp 5.335.237,00 sedangkan besarnya biaya produksi pembangkitan setelah optimasi adalah Rp 4.750.532,00. Jadi selisih antara biaya produksi pembangkitan sebelum dengan sesudah optimasi adalah Rp. 584.705,00 atau terjadi optimasi biaya sebesar 10,959 %.

4.7.2. Perbandingan Tingkat Tegangan dan Sudut Tegangan Pada Tiap Bus

Berikut ini adalah tabel perbandingan tingkat tegangan dan sudut tegangan pada tiap bus :

Tabel 4.12
Perbandingan Tingkat Tegangan dan Sudut Tegangan Pada Tiap Bus

No.	Bus	Sebelum Optimasi		Sesudah Optimasi	
		Tegangan (pu)	Sudut Tegangan (deg)	Tegangan (pu)	Sudut Tegangan (deg)
1	1	1.03300	0.00000	1.03300	0.00000
2	2	1.01822	-0.03649	1.01959	-0.03017
3	3	1.01466	-0.04173	1.01603	-0.03539
4	4	1.00339	-0.08471	1.00602	-0.06852
5	5	0.99556	-0.15328	0.99854	-0.11978
6	6	0.99726	-0.18834	0.99949	-0.14413
7	7	1.00573	-0.20809	1.00686	-0.15455
8	8	0.98114	-0.30001	0.98401	-0.20790
9	9	1.04883	-0.11665	1.03952	-0.08498
10	10	1.02601	-0.16101	1.02202	-0.11954
11	11	0.98767	-0.32713	0.98957	-0.21454
12	12	0.99200	-0.33746	0.99200	-0.21986
13	13	0.96802	-0.34575	0.97272	-0.22481
14	14	0.94687	-0.42918	0.95015	-0.28726
15	15	0.93875	-0.47135	0.94012	-0.31821
16	16	0.94878	-0.45445	0.94960	-0.30861
17	17	0.95400	-0.44330	0.95444	-0.30131
18	18	0.93330	-0.48183	0.93387	-0.32296
19	19	0.93423	-0.48205	0.93443	-0.32073
20	20	0.93600	-0.48101	0.93600	-0.31694
21	21	0.93600	-0.47662	0.93600	-0.31443
22	22	0.93212	-0.48962	0.93269	-0.33077
23	23	0.93264	-0.48585	0.93297	-0.32606
24	24	0.93309	-0.48292	0.93371	-0.32639
25	25	0.92955	-0.48715	0.93017	-0.33061



Grafik 4.3.
Perbandingan Tegangan pada Tiap Bus Sebelum dan Sesudah Optimasi

Dari tabel di atas dapat dilihat bahwa tegangan pada tiap bus mengalami perubahan, yaitu bus 2 yaitu dari 1.01822 p.u menjadi 1.01959 p.u; bus 3 yaitu dari 1.01466 p.u menjadi 1.01603 p.u; bus 4 yaitu dari 1.00339 p.u menjadi 1.00602 p.u; bus 5 yaitu dari 0.99556 p.u menjadi 0.99854 p.u; bus 6 yaitu dari 0.99726 p.u menjadi 0.99949 p.u; bus 7 yaitu dari 1.00573 p.u menjadi 1.00686 p.u; bus 8 yaitu dari 0.98114 p.u menjadi 0.98401 p.u; bus 9 yaitu dari 1.04883 p.u menjadi 1.03952 p.u; bus 10 yaitu dari 1.02601 p.u menjadi 1.02202 p.u; bus 11 yaitu dari 0.98767 p.u menjadi 0.98957 p.u; bus 13 yaitu dari 0.96802 p.u menjadi 0.97272 p.u; bus 14 yaitu dari 0.94687 p.u menjadi 0.95015 p.u; bus 15 yaitu dari 0.93875 p.u menjadi 0.94012 p.u; bus 16 yaitu dari 0.94878 p.u menjadi 0.94960 p.u; bus 17 yaitu dari 0.95400 p.u menjadi 0.95444 p.u; bus 18 yaitu dari 0.93330 p.u menjadi 0.93387 p.u; bus 19 yaitu dari 0.93423 p.u menjadi 0.93443 p.u; bus 22 yaitu dari 0.93212 p.u menjadi 0.93269 p.u; bus 23 yaitu dari 0.93264 p.u.

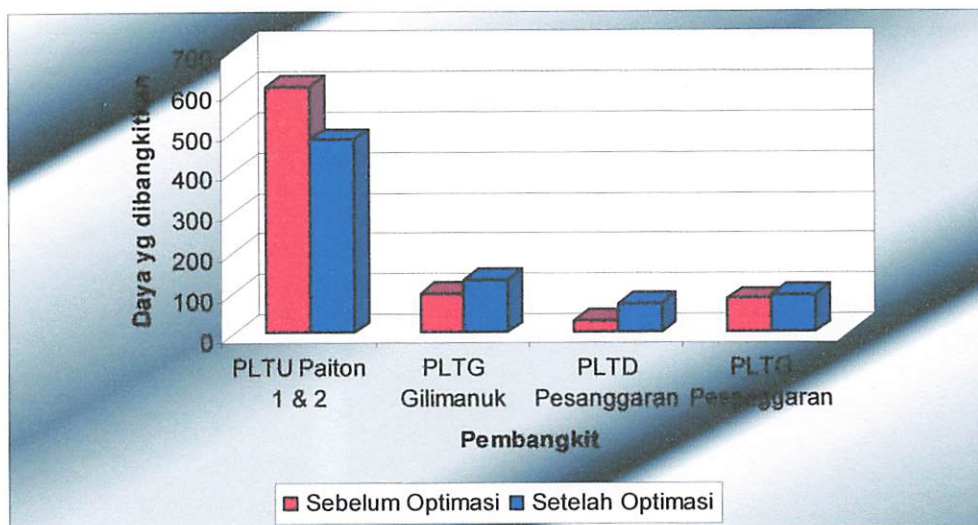
p.u menjadi 0.93297 p.u; bus 24 yaitu dari 0.93309 p.u menjadi 0.93371 p.u; bus 25 yaitu dari 0.92955 p.u menjadi 0.93017 p.u.

4.7.3. Perbandingan Pembangkitan Daya Aktif Sebelum dan Setelah Optimasi

Berikut ini adalah tabel perbandingan pembangkitan daya aktif sebelum dan setelah optimasi :

Tabel 4.13
Perbandingan Pembangkitan Daya Aktif Sebelum dan Setelah Optimasi

No	Nama Pembangkit	Sebelum Optimasi		Setelah Optimasi	
		P (MW)		P (MW)	
1	PLTU Paiton 1 & 2	613.515		480.402	
2	PLTG Gilimanuk	99.9		133.80	
3	PLTD Pesanggaran	31.4		75	
4	PLTG Pesanggaran	84.6		95.62	
	Total	829.415		784.822	



Grafik 4.4.
Perbandingan Daya yang Dibangkitkan Sebelum dan Sesudah Optimasi

4.7.4. Perbandingan Tingkat Aliran Daya Sebelum Dan Setelah Optimasi

Berikut ini adalah tabel perbandingan aliran daya aktif dan reaktif sebelum dan setelah optimasi :

Tabel 4.14

Perbandingan Aliran Daya Aktif dan Daya Reaktif Sebelum dan Setelah Optimasi Pada Tiap Bus

No	Saluran		Sebelum Optimasi		Setelah Optimasi	
			Daya		Daya	
	Dari	Ke	P(MW)	Q(Mvar)	P(MW)	Q(Mvar)
1	1	2	221.390	22.959	184.993	24.623
2	1	9	354.025	-77.774	257.309	-46.648
3	2	3	17.533	4.269	17.533	4.262
4	2	4	184.895	5.241	149.229	9.382
5	4	5	142.987	-21.457	108.229	-14.218
6	5	6	55.636	-20.208	38.882	-14.573
7	5	7	44.757	-24.952	27.963	-19.206
8	6	7	31.659	-27.391	15.202	-20.717
9	7	8	79.253	-2.296	48.001	2.949
10	7	10	-141.354	-14.177	-105.124	-11.766
11	7	11	78.592	-11.212	40.980	-4.297
12	8	11	37.359	-23.055	7.418	-13.300
13	9	10	163.525	31.391	125.442	22.716
14	9	11	160.208	-151.993	104.402	-91.867
15	11	12	193.542	-209.212	97.556	-112.899
16	12	13	207.651	-9.004	163.067	5.355
17	12	17	78.759	3.860	62.226	6.913
18	13	14	96.499	-5.760	75.182	1.690
19	13	15	94.362	-6.953	73.045	0.538
20	14	15	87.813	-11.068	67.563	-0.478
21	15	16	-22.568	-3.729	-14.964	-7.104
22	15	17	-24.112	-3.780	-16.473	-7.221
23	15	18	32.211	4.885	18.240	12.078
24	15	19	31.934	2.127	11.942	12.470
25	15	22	27.051	-4.489	20.586	0.092
26	15	24	63.005	9.198	48.726	18.137
27	16	17	-26.778	-0.356	-19.066	-3.514
28	18	19	-0.717	-6.882	-14.620	0.571

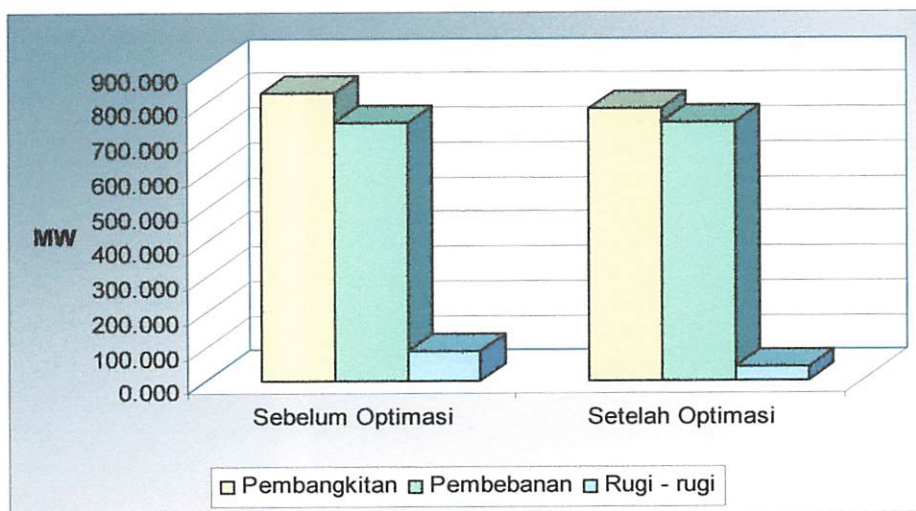
29	19	20	-31.365	-23.362	-74.872	0.933
30	19	21	-84.437	0.820	-95.410	8.266
31	19	22	24.687	-5.440	31.109	-10.111
32	19	23	45.807	-3.173	60.046	-12.284
33	23	24	-14.582	4.394	-0.413	-4.848
34	24	25	14.429	5.176	14.429	5.173

4.7.5. Perbandingan Tingkat Rugi-rugi Sebelum Dan Sesudah Optimasi

Dari hasil perhitungan dapat dilihat bahwa rugi daya aktif yang ada sebelum dan sesudah optimasi terjadi penurunan yaitu untuk rugi daya aktif sebelum dioptimasi adalah 85,415 MW, sedangkan perhitungan rugi daya aktif setelah optimasi adalah 40,822 MW atau terjadi optimasi sebesar 44,593 MW atau sebesar 52,21 %.

Tabel 4.15
Perbandingan Total Pembangkitan, Pembebatan dan Rugi – rugi Daya Aktif
Sebelum dan Setelah Optimasi

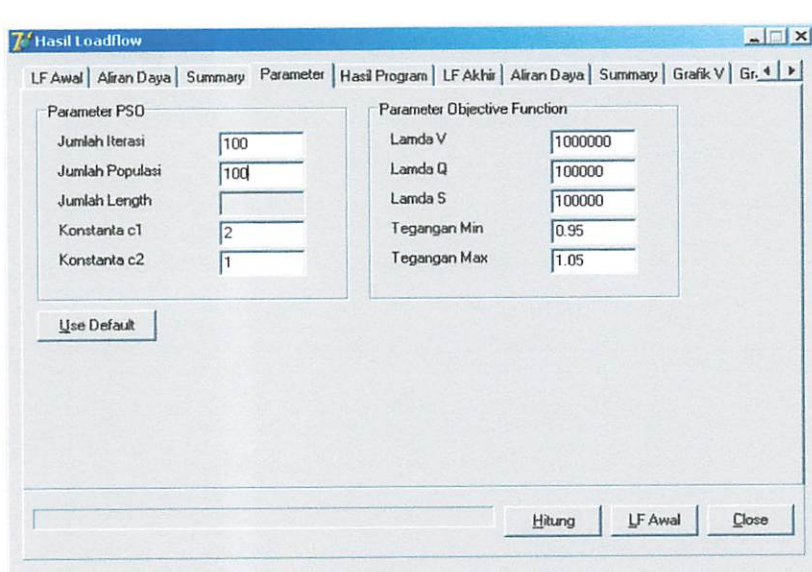
	Sebelum Optimasi			Setelah Optimasi		
	Pembangkitan	Pembebatan	Rugi - Rugi	Pembangkitan	Pembebatan	Rugi - Rugi
	MW	MW	MW	MW	MW	MW
Total	829,415	744,000	85,415	784,822	744,000	40,822



Grafik 4.5
Perbandingan Total Pembangkitan, Pembebatan dan Rugi-Rugi Total
Sebelum dan Sesudah Optimasi

4.8. Hasil Validasi IEEE 30 Dengan Menggunakan Metode *Particle Swarm Optimization*

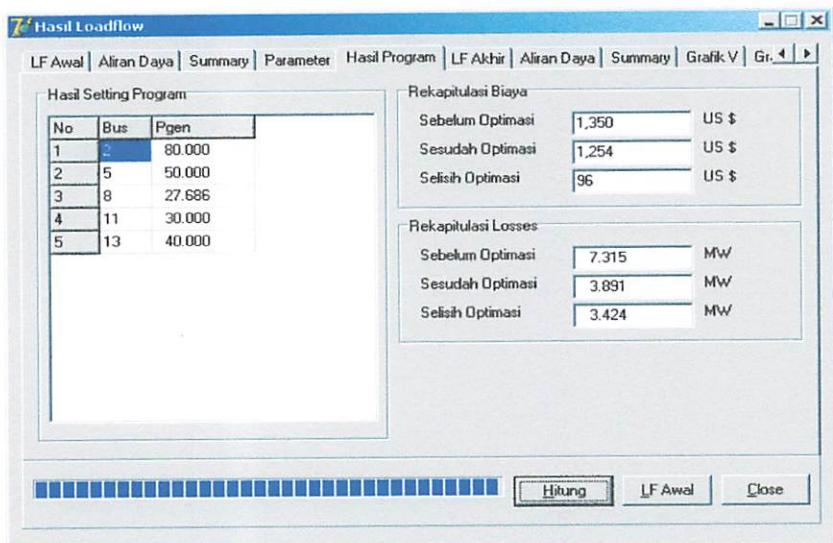
1. Tampilan Parameter Validasi



Gambar 4.16.
Tampilan Parameter *Particle Swarm Optimization* Validasi IEEE 30

Bus	absV (pu)	sudV (deg)	Pg (MW)	Qg (MVAR)	PL (MW)	QL (MVAR)	Sups (pu)	Type Bus
1	1.05000	0.00000	59.606	17.395	0.000	0.000	0.000	1
2	1.03380	-0.01401	80.000	-13.790	21.700	12.700	0.000	2
3	1.03289	-0.04436	0.000	0.000	2.400	1.200	0.000	3
4	1.02840	-0.05250	0.000	0.000	7.600	1.600	0.000	3
5	1.00580	-0.08763	50.000	12.490	94.200	19.000	0.000	2
6	1.02279	-0.06244	0.000	0.000	0.000	0.000	0.000	3
7	1.00797	-0.08209	0.000	0.000	22.800	10.900	0.000	3
8	1.02300	-0.06464	27.686	30.468	30.000	30.000	0.000	2
9	1.03496	-0.06755	0.000	0.000	0.000	0.000	0.000	3
10	1.01308	-0.10176	0.000	0.000	5.800	2.000	0.000	3
11	1.09130	-0.01228	30.000	30.388	0.000	0.000	0.000	2
12	1.04332	-0.07998	0.000	0.000	11.200	7.500	0.000	3
13	1.08830	-0.03064	40.000	35.956	0.000	0.000	0.000	2
14	1.02609	-0.09778	0.000	0.000	6.200	1.600	0.000	3
15	1.01863	-0.10038	0.000	0.000	8.200	2.500	0.000	3

Gambar 4.17.
Hasil Load Flow



Gambar 4.18.
Tampilan Hasil Validasi IEEE 30
Hasil Perhitungan Biaya Pembangkitan

Tabel 4.9.
Perbandingan Hasil Data Referensi Jurnal Dengan Data Optimasi

No.	No. Bus	Data Referensi	Data Optimasi
		P _{Gen} (MW)	P _{Gen} (MW)
1	1	138.92	146.432
2	2	57.56	80
3	5	24.56	27.686
4	8	35	13.948
5	11	17.93	30
6	13	16.91	40

Setelah dilakukan proses optimasi maka diperoleh biaya pembangkitan dari data IEEE 30 yaitu sebesar 1,245 \$/hr, sedangkan dari data referensi jurnal diperoleh biaya pembangkitan sebesar 1,245.516 \$/hr. Dari proses validasi di atas maka didapatkan error sebesar 0,000414 atau sekitar 0,0414 %.

BAB V

KESIMPULAN DAN SARAN

5.1. Kesimpulan

Setelah dilakukan analisa perhitungan *economic load dispatch* pada saluran transmisi 150 kV Sub Sistem Paiton-Bali dengan menggunakan metode *Particle Swarm Optimization (PSO)* maka dapat diambil kesimpulan sebagai berikut :

1. Dari hasil perhitungan load flow setelah optimasi menggunakan metode *Particle Swarm Optimization (PSO)* profil tegangan mengalami perubahan, yaitu : bus 2 yaitu dari 1.01822 p.u menjadi 1.01959 p.u; bus 3 yaitu dari 1.01466 p.u menjadi 1.01603 p.u; bus 4 yaitu dari 1.00339 p.u menjadi 1.00602 p.u; bus 5 yaitu dari 0.99556 p.u menjadi 0.99854 p.u; bus 6 yaitu dari 0.99726 p.u menjadi 0.99949 p.u; bus 7 yaitu dari 1.00573 p.u menjadi 1.00686 p.u; bus 8 yaitu dari 0.98114 p.u menjadi 0.98401 p.u; bus 9 yaitu dari 1.04883 p.u menjadi 1.03952 p.u; bus 10 yaitu dari 1.02601 p.u menjadi 1.02202 p.u; bus 11 yaitu dari 0.98767 p.u menjadi 0.98957 p.u; bus 13 yaitu dari 0.96802 p.u menjadi 0.97272 p.u; bus 14 yaitu dari 0.94687 p.u menjadi 0.95015 p.u; bus 15 yaitu dari 0.93875 p.u menjadi 0.94012 p.u; bus 16 yaitu dari 0.94878 p.u menjadi 0.94960 p.u; bus 17 yaitu dari 0.95400 p.u menjadi 0.95444 p.u; bus 18 yaitu dari 0.93330 p.u menjadi 0.93387 p.u; bus 19 yaitu dari 0.93423 p.u menjadi 0.93443 p.u; bus 22 yaitu dari 0.93212 p.u menjadi 0.93269 p.u; bus 23 yaitu dari 0.93264 p.u menjadi 0.93297 p.u; bus 24 yaitu dari 0.93309 p.u menjadi 0.93371 p.u; bus 25 yaitu dari 0.92955 p.u menjadi 0.93017 p.u.

2. Biaya produksi pembangkitan dapat dioptimalkan. Biaya produksi pembangkitan sebelum optimasi adalah Rp 5.335.237,00 sedangkan besarnya biaya produksi pembangkitan setelah optimasi adalah Rp 4.750.532,00. Jadi selisih antara biaya produksi pembangkitan sebelum dengan sesudah optimasi adalah Rp. 584.705,00 atau terjadi optimasi biaya sebesar 10,959 %.
3. Dengan melakukan *economic load dispatch* pada saluran transmisi 150 kV sub sistem Paiton – Bali menggunakan metode *Particle Swarm Optimization* (*PSO*) ternyata rugi-rugi daya aktif sistem turun dari 85,415 MW menjadi 40,822 MW, atau terjadi optimasi sebesar 52,21 %.

5.2. Saran

Penggunaan metode *Particle Swarm Optimization* (*PSO*) untuk menyelesaikan permasalahan *economic load dispatch* pada saluran transmisi masih perlu dikembangkan lagi terhadap sistem jaringan yang lebih luas sehingga nantinya dapat digunakan secara efektif dan efisien dalam pemecahan permasalahan pembebanan ekonomis pada saluran transmisi.

DAFTAR PUSTAKA

- [1]. Pancoli, Rohit Kumar, “*Particle Swarm Optimization for Economic Dispatch with Line flow and Voltage Constraints*”, IEEE, 2003.
- [2]. Kumar, A. Immanuel Selva, “*Particle Swarm Optimization Solution to Emmission and Economic Dispatch Problem*”, IEEE, 2003.
- [3]. Stevenson, William D, Jr, “*Analisa System Tenaga Listrik*”, Penerbit Erlangga edisi keempat, 1996.
- [4]. Wood, Allan J. and B. F. Wollenberg., “*Power Generation, Operation, and Control*”, John Willey & Sons, Inc., 1996.
- [5]. Zuhal, “*Dasar Teknik Tenaga Listrik dan Elektronika Daya*”, PT. Gramedia Utama, Jakarta, 1995.
- [6]. Ir. Djiteng Marsudi, “*Operasi Sistem tenaga Elektrik*”, Balai Penerbit & Humas ISTN, 1990.
- [7]. Alammari, “*Fuzzy System Application For Identification Of Weak Buses in Power System*”, Electrical Engineering Department University of Qatar, Qatar, 2002.

MaRch 2006
Vol 1, No. 1
\$19,99

LAMPIRAN

created by krebet's

**WaRning : ThiS PaPeR ConTainS AdulTs MaTeRial, CoPyRiGHT
ProPrieTer HaS LiCenSeD tHe MaTeRial ConTaInEd in ThiS PaGe's fOR
non - CommErCiAl uSe iN pRiVaTe CoLLeGe oNly aND ProHiBiTS aNY
oTheR uSe, CoPYinG, ReProDuCtion, PuBLiC PeRFoRMaNce, iN whOlE oR
iN part. All RigHt uNdEr CoPyRiGHT ReSeRved**

**PT PLN (PERSERO)
PENYALURAN DAN PUSAT PENGATUR BEBAN JAWA BALI
REGION JAWA TIMUR & BALI**

Suningrat No. 45 Taman Sidoarjo 61257
n : (031) 7882113, 7882114
Pos : 4119 SBS

Facsimile : (031) 7882578, 7881024
E-mail : region4@pln-jawa-bali.co.id

Website : www.pln-jawa-bali.co.id

258 /330/RJTB/2005
dr. No. : ITN- 145 & 192/III.TA/2/2005
an : 1 (satu) Lampiran
: Ijin survey

05 DEC 2005

Kepada

Yth. : Dekan Fakultas Teknik
Institut Teknologi Nasional Malang
di
MALANG .-

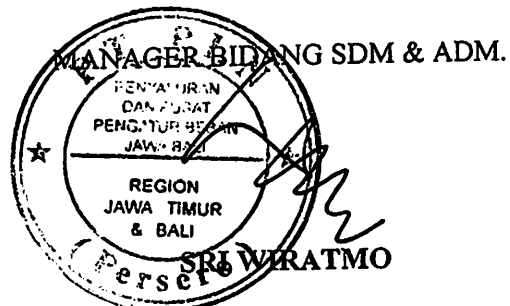
Menunjuk surat Saudara Nomor : ITN – 145 & 192/III.TA/2/2005 tanggal 06 Oktober 2005 Perihal : Survey, dengan ini diberitahukan bahwa kami tidak keberatan untuk memberikan ijin kepada Mahasiswa Saudara, bernama :

- DONI FERIN HARINDRA Nim : 01.12.053
- MUHAMMAD UBAIDILLAH Nim : 01.12.048

Untuk melakukan pengambilan data pada PT PLN (Persero) P3B Region Jawa Timur dan Bali Bidang OPHAR RJTB, dengan persyaratan sebagai berikut :

1. Mahasiswa tersebut diatas supaya mengisi dan menanda tangani Surat Pernyataan 1 (satu) lembar bermaterai Rp. 6.000.-
 2. Mahasiswa yang bersangkutan agar mematuhi peraturan / ketentuan yang berlaku di PT PLN (Persero) P3B Region Jatim & Bali UPT Malang, sehingga faktor-faktor kerahasiaan harus benar – benar diutamakan.
 3. Semua biaya perjalanan, penginapan, makan dan lain sebagainya tidak menjadi tanggungan PT PLN (Persero) P3B Region Jawa Timur dan Bali.
 4. Buku Laporan Kerja Praktek Mahasiswa tersebut agar dikirimkan kepada PT PLN (Persero) P3B Region Jawa Timur dan Bali 1 (satu) buah.
 5. Untuk informasi lebih lanjut dapat menghubungi PT PLN (Persero) P3B Region Jawa Timur dan Bali Cq. Bidang SDM & Administrasi.

Demikian harap maklum dan terima kasih atas perhatian saudara.



Tembusan Yth . :

1. M.SDMO PLN P3B.
 2. Doni Ferin Harindra Cs.

S U R A T P E R N Y A T A A N

Yang bertanda tangan dibawah ini, saya :

N a m a : DONI PERIN HARIINDRA

Pria/ Wanita : PRIA

Tempat / Tanggal lahir : MADIUN, 26 APRIL 1983

Alamat / No. telepon : PERUMAHAN BUKIT CEMARA TIDAR B-57
MALANG / 0341 585719

Pekerjaan : MAHASISWA

Dengan ini saya menerangkan bahwa :

1. Saya bersedia dan setuju menanggung semua akibat yang ditimbulkan karena kesalahan maupun kelalaian saya dan semua akibat lainnya yang terjadi pada instalasi peralatan milik PLN selama melakukan Training/ Praktek Kerja/ Riset pada PT PLN (Persero) P3B Region Jawa Timur dan Bali, yang telah mendapat ijin dari PT PLN (Persero) P3B Region Jawa Timur dan Bali ;
2. Saya atas peringatan pertama akan membayar sepenuhnya, semua biaya yang langsung menimbulkan kerugian atau kecelakaan , karena kelalaian saya ;
3. Saya akan segera mematuhi semua petunjuk –petunjuk yang diberikan oleh Petugas PT PT PLN (Persero) P3B Region Jawa Timur dan Bali ,
4. Saya sanggup tidak membocorkan hal – hal yang bersifat rahasia perusahaan PT PLN (Persero) P3B Region Jawa Timur dan Bali dan bahan yang saya peroleh dalam Training/ Praktek Kerja/ Riset, dan tidak saya pergunakan untuk hal – hal yang dapat merugikan PT PLN (Persero) P3B Region Jawa Timur dan Bali
5. Saya sanggup menaunggung sendiri segala sesuatu untuk keperluan Training/ Praktek Kerja/ Riset termasuk biaya perjalanan , penginapan makan dan sebagainya ;
6. Saya sanggup menyerahkan 1 (satu) buah buku laporan Training/ Praktek Kerja/ Riset kepada PT PLN (Persero) P3B Region Jawa Timur dan Bali, setelah saya presentasikan kepada Manager Bidang SDMAD PT PLN (Persero) P3B Region Jawa Timur dan Bali mengenai tugas Training/ Praktek Kerja/ Riset.
7. Saya tunduk dan akan mentaati semua peraturan yang berlaku di PT PLN (Persero) P3B Region Jawa Timur dan Bali, dan saya sanggup tidak meninggalkan tugas kedinasan selama Training/ Praktek Kerja/ Riset.

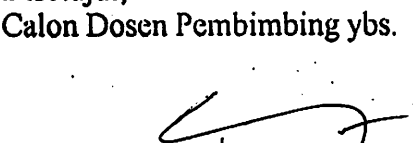
Surabaya,

Yang membuat pernyataan



BERITA ACARA SEMINAR PROPOSAL SKRIPSI JURUSAN TEKNIK ELEKTRO S-1

Konsentrasi : Teknik Energi Listrik/Teknik Elektronika

1	Nama Mahasiswa	UINUL UMMIYAH	Nim	0111111111111111
2	Keterangan	Tanggal	Waktu	Tempat
3	Pelaksanaan	2023-05-25	12.00	Ruang : SEMINAR
Spesifikasi judul :				
4	a. Sistem Tenaga Elektrik b. Energi & Konversi Energi c. Tegangan Tinggi & Pengukuran d. Sistem Kendali Industri	e. Elektronika & Komponen f. Elektronika Digital & Komputer g. Elektronika Komunikasi h. lainnya		
5	Judul Proposal yang diseminarkan Mahasiswa	ANALISA ECONOMIC DISPATCH MENGGUNAKAN PARTICLE SWARM OPTIMIZATION PADA SALUPAN TRANSFORMATOR DENGAN SISTEM MILITAR		
6	Perubahan Judul yang diusulkan oleh Kelompok Dosen Keahlian		
7	<p>Catatan :</p> <p>.....</p> <p>.....</p> <p>.....</p>			
Persetujuan Judul Skripsi :				
8	Disetujui, Dosen Keahlian I Ir. WIDODO, M.Eng., MT 	Disetujui Dosen Keahlian II Ir. EKO HUBSANOTO 		
9	Mengetahui, Ketua Jurusan.	Disetujui, Calon Dosen Pembimbing ybs.		
10	Ir. F. Yudi Limpraptono, MT Nip. Y. 1039500274			

Perhatian :

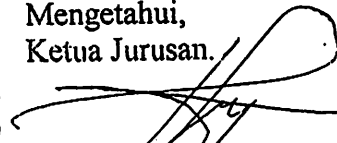
- *) coret yang tidak perlu
**) dilingkari a, b, c, atau g.sesuai bidang keahlian.



Institut Teknologi Nasional Malang
Fakultas Teknologi Industri
Jurusan Teknik Elektro S-1

LEMBAR PENGAJUAN JUDUL SKRIPSI JURUSAN TEKNIK ELEKTRO S-1

Konsentrasi : Teknik Energi Listrik/Teknik Elektronika *)

1	Nama Mahasiswa : DONI FERIN HARINDRA		Nim : 01.12.053
2	Waktu pengajuan	Tanggal : 29	Bulan : 08 Tahun : 2005
Spesifikasi judul (berilah tanda silang)			
3	<input checked="" type="checkbox"/> a. Sistem Tenaga Elektrik b. Energi & Konversi Energi c. Tegangan Tinggi & Pengukuran d. Sistem Kendali Industri	e. Elektronika & Komponen f. Elektronika Digital & Komputer g. Elektronika Komunikasi h. lainnya	
4	Konsultasikan judul sesuai materi bidang ilmu kepada Dosen *) : <i>Ir. Chorial Saleh, MT.</i>		Mengetahui, Ketua Jurusan.  Ir. F. Yudi Limpraptono, MT Nip. Y. 1039500274
5	Judul yang diajukan mahasiswa :	ANALISIS ECONOMIC DISPATCH / MENGGUNAKAN PARTICLE SWARM OPTIMIZATION PADA SALURAN TRANSMISI 150 KV SUB SISTEM PAITON - BALI	
6	Perubahan Judul yang disetujui Dosen sesuai materi bidang ilmu	
7	Persetujuan Judul Skripsi yang dikonsultasikan kepada Dosen materi bidang ilmu	Disetujui, 31 Agustus , 2005 Dosen 	

Perhatian :

1. Formulir Pengajuan ini harap dikembalikan kepada jurusan paling lambat satu minggu setelah disetujui kelompok dosen keahlian dengan dilampirkan proposal skripsi beserta persyaratan skripsi sesuai form S-1
2. Keterangan : *) coret yang tidak perlu
*) dilingkari a, b, c, atau g.sesuai bidang keahlian

Lampiran : 1 (satu) berkas
Pembimbing Skripsi

Kepada : Yth. Bapak Ir. Choirul Saleh, MT
Dosen Institut Teknologi Nasional Malang
MALANG

Yang bertanda tangan dibawah ini :

Nama : Doni Ferin Harindra
Nim : O1.12.053
Jurusan : Teknik Elektro S-1
Konsentrasi : Energi Listrik

Dengan ini mengajukan permohonan, kiranya Bapak/Ibu bersedia menjadi Dosen Pembimbing Utama / Pendamping *), untuk penyusunan Skripsi dengan judul (proposal terlampir) :

ANALISIS *ECONOMIC DISPATCH* MENGGUNAKAN *PARTICLE SWARM OPTIMIZATION* PADA SALURAN TRANSMISI 150 KV SUB SISTEM PAITON-BALI

Adapun tugas tersebut sebagai salah satu syarat untuk menempuh Ujian Akhir Sarjana Teknik.

Demikian permohonan kami dan atas kesediaan Bapak kami ucapan terima kasih.

Malang, 12 September 2005

Ketua
Jurusan Teknik Elektro S-1


Ir. F. Yudi Limpraptono, MT
NIP. 1039500274

Hormat Kami,



Doni Ferin Harindra

*) coret yang tidak perlu

INSTITUT TEKNOLOGI NASIONAL
Jl. Bendungan Sigura-gura No. 2
MALANG

PERNYATAAN KESEDIAAN DALAM PEMBIMBINGAN SKRIPSI

Sesuai permohonan dari mahasiswa /i :

Nama : Doni Ferin Harindra
Nim : 01. 12. 053
Semester : IX (sembilan)
Jurusan : Teknik Elektro S-1
Konsentrasi : Energi Listrik

Dengan ini menyatakan bersedia / tidak bersedia *) Membimbing Skripsi dari mahasiswa tersebut, dengan judul :

ANALISIS ECONOMIC DISPATCH MENGGUNAKAN PARTICLE SWARM OPTIMIZATION PADA SALURAN TRANSMISI 150 kV SUB SISTEM PAITON-BALI

Demikian surat pernyataan ini kami buat agar dapat dipergunakan seperlunya.

Malang, 12 September 2005

Kami yang Membuat pernyataan,



Ir. Choirul Saleh, MT
NIP. 1018800190

Catatan

Setelah disetujui agar formulir ini
Diberikan mahasiswa/i yang bersangkutan
Kepada Jurusan untuk diproses lebih lanjut.
*) Coret yang tidak perlu

Form S-3b



PERKUMPULAN PENGELOLA PENDIDIKAN UMUM DAN TEKNOLOGI NASIONAL MALANG
INSTITUT TEKNOLOGI NASIONAL MALANG

FAKULTAS TEKNOLOGI INDUSTRI
FAKULTAS TEKNIK SIPIL DAN PERENCANAAN
PROGRAM PASCASARJANA MAGISTER TEKNIK

Kampus I : Jl. Bendungan Sigura-gura No. 2 Telp. (0341) 551431 (Hunting) Fax. (0341) 553015 Malang 65145
Kampus II : Jl. Raya Karanglo, Km 2 Telp. (0341) 417636 Fax. (0341) 417634 Malang

Malang, 3 Okt. 2005

Nomor : ITN-784/LTA/2/05
Lampiran : satu lembar
Perihal : **BIMBINGAN SKRIPSI**

Kepada : Yth. Sdr. Ir. CHOIRUL SALEH, MT
Dosen Institut Teknologi Nasional
di –
Malang

Dengan Hormat,
Sesuai dengan permohonan dan persetujuan dalam proposal skripsi
melalui seminar proposal yang telah dilakukan untuk mahasiswa :

Nama : DONI FERIN II
Nim : 0112053
Fakultas : Teknologi Industri
Jurusan : Teknik Elektro
Konsentrasi : T. Energi Listrik (S-1)

Dengan ini pembimbingan skripsi tersebut kami sarahkan sepuhnya
kepada saudara/I selama masa waktu 6 (enam) bulan terhitung mulai
tanggal:

01 Oktober 2005 s/d 01 April 2006

Adapun tugas tersebut merupakan salah satu syarat untuk memperoleh
gelar Sarjana Teknik, Jurusan Teknik Elektro.

Demikian atas perhatian serta kerjasama yang baik kami ucapkan terima
kasih



Ir. P. Yudi Limpraptono, MT
Nip. Y. 4039500274

Tindasan :

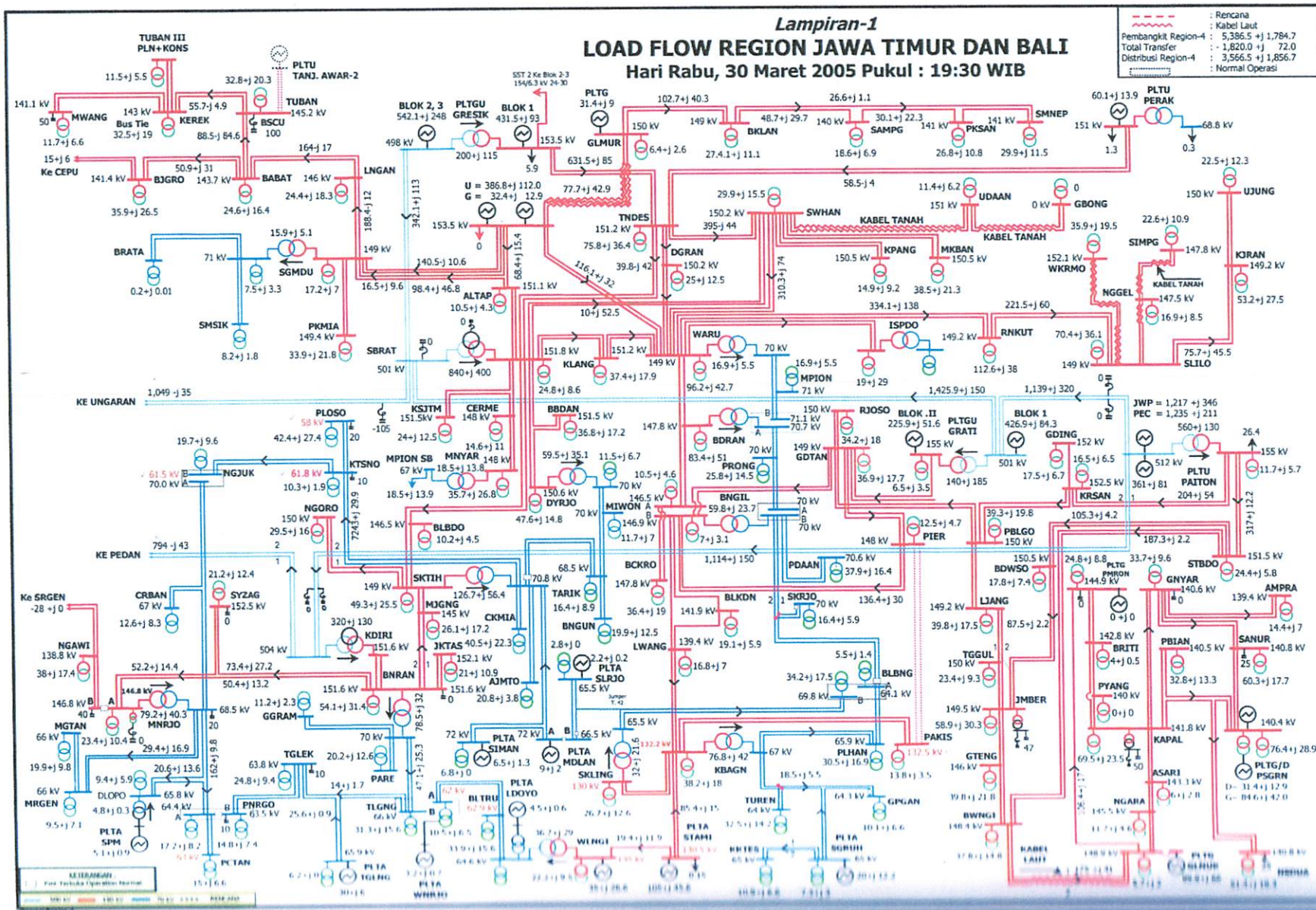
1. Mahasiswa yang bersangkutan
2. Arsip

Form. S-4a

Lampiran-1

LOAD FLOW REGION JAWA TIMUR DAN BALI

Hari Rabu, 30 Maret 2005 Pukul : 19:30 WIB



LAMPIRAN IEEE – 30 BUS

Tabel 1^[7]
Data Generator Dan Koefisien Biaya IEEE 30

No. Bus	a2	a1	a0	Pmin (MW)	Pmax (MW)	Qmin (MVAR)	Qmax (MVAR)
1	0.00375	5.00	0	50	200	-20	150
2	0.01750	3.75	0	20	80	-20	60
5	0.06250	4.00	0	15	50	-15	62.5
8	0.00834	5.25	0	10	35	-15	50
11	0.02500	5.00	0	10	30	-10	40
13	0.02500	4.00	0	12	40	-15	45

Tabel 2^[7]
Data Bus IEEE 30

No. Bus	Tegangan		Pembangkitan		Pembebatan	
	Magnitude (pu)	Sudut (deg)	Aktif (MW)	Reaktif (MVAR)	Aktif (MW)	Reaktif (MVAR)
1	1.05	0	138.63	3.13	0	0
2	1.03	0	57.56	13.75	21.7	12.7
3	1	0	0	0	2.4	1.2
4	1	0	0	0	7.6	1.6
5	1.01	0	24.56	26.88	94.2	19
6	1	0	0	0	0	0
7	1	0	0	0	22.8	10.9
8	1.02	0	35	48.89	30	30
9	1	0	0	0	0	0
10	1	0	0	0	5.8	2
11	1.05	0	17.93	7.53	0	0
12	1	0	0	0	11.2	7.5
13	1.05	0	16.91	14.65	0	0
14	1	0	0	0	6.2	1.6
15	1	0	0	0	8.2	2.5
16	1	0	0	0	3.5	1.8
17	1	0	0	0	9	5.8
18	1	0	0	0	3.2	0.9
19	1	0	0	0	9.5	3.4
20	1	0	0	0	2.2	0.7
21	1	0	0	0	17.5	11.2
22	1	0	0	0	0	0

23	1	0	0	0	3.2	1.6
24	1	0	0	0	8.7	6.7
25	1	0	0	0	0	0
26	1	0	0	0	3.5	2.3
27	1	0	0	0	0	0
28	1	0	0	0	0	0
29	1	0	0	0	0.4	0.9
30	1	0	0	0	10.6	1.9

Tabel 3⁷⁾
Data Saluran Impedansi IEEE 30

No. Saluran	Hubungan Bus	R (pu)	X (pu)	B (pu)
1	1-2	0.0192	0.0575	0.0264
2	1-3	0.0452	0.1852	0.0204
3	2-4	0.057	0.1737	0.0184
4	3-4	0.0132	0.0379	0.0042
5	3-5	0.0472	0.1983	0.0209
6	2-6	0.0581	0.1763	0.0187
7	4-6	0.0119	0.0414	0.0045
8	5-7	0.046	0.0102	0.0102
9	6-7	0.0267	0.082	0.0085
10	6-8	0.012	0.042	0.0045
11	6-9	0.000	0.208	0.0000
12	6-10	0.000	0.556	0.0000
13	9-11	0.000	0.208	0.0000
14	9-10	0.000	0.11	0.0000
15	4-12	0.000	0.256	0.0000
16	12-13	0.000	0.14	0.0000
17	12-14	0.1231	0.2559	0.0000
18	12-15	0.0602	0.1304	0.0000
19	12-16	0.0945	0.1987	0.0000
20	14-15	0.221	0.1997	0.0000
21	16-17	0.0824	0.1932	0.0000
22	15-18	0.107	0.2185	0.0000
23	18-19	0.0639	0.1292	0.0000
24	19-20	0.034	0.068	0.0000
25	10-20	0.0936	0.209	0.0000
26	10-17	0.0324	0.0845	0.0000
27	10-21	0.0348	0.0749	0.0000
28	10-22	0.0727	0.1499	0.0000
29	21-22	0.0116	0.0236	0.0000
30	15-23	0.1	0.202	0.0000

31	22-24	0.115	0.179	0.0000
32	23-24	0.132	0.27	0.0000
33	24-25	0.1885	0.3292	0.0000
34	25-26	0.2544	0.38	0.0000
35	25-27	0.1093	0.2087	0.0000
36	28-27	0	0.396	0.0000
37	27-29	0.2198	0.4153	0.0000
38	27-30	0.3202	0.6027	0.0000
39	29-30	0.2399	0.4533	0.0000
40	8-28	0.0636	0.2	0.0210
41	6-28	0.0169	0.0599	0.0065

DATA KARAKTERISTIK TRANSMISI UPI & SRK

Jml Seri	Nama Dari	No. Surat	Tgl (M)	Jenis	(Data - Kependidikan)		R	X	8	1. Umur	2. Jml Anak	3. Jml Cerai	4. Jml Wid	5. Jml Laki	6. Jml Perempuan
					(Amp)	(Bln)									
(1)	(2)	(3)	(4)	(5)	(6)	(7)	(8)	(9)	(10)	(11)	(12)	(13)	(14)	(15)	(16)

c. UPT Probolinggo

1	PITON7	GRAT17	1	500	55.433	GANNET	"	4x392.8	2300	2000	2000					0.0008	0.0090	0.8134	2,209.20	
1	PITON7	GRAT17	2	500	55.433	GANNET	"	4x392.8	2600	2000	2600					0.0008	0.0090	0.8134	2,209.20	
1	BNGILS	GOTANS	1	150	16.805	ACSR. AW		330 mm ²	740	1000	1000	1250	1600	0.1172	0.4003	2.8530	0.0088	0.0299	0.0108	192.2520
1	BNGILS	GOTANS	2	150	16.805	ACSR. AW		330 mm ²	740	1000	1000	1250	1600	0.1172	0.4003	2.8530	0.0088	0.0299	0.0108	192.2520
1	BNGILS	BORANS	1	150	9.800	ACSR. AW		330 mm ²	740	1000	1000	1600	1600	0.1172	0.4003	2.8530	0.0051	0.0174	0.0063	192.2520
1	BNGILS	WAR IS	1	150	9.800	ACSR. AW		330 mm ²	740	1000	1000	1600	1600	0.1172	0.4003	2.8530	0.0051	0.0174	0.0063	192.2520
1	BNGILS	PIER3	1	150	5.150	ACSR. ZEBRA		2 x 435 mm ²	1620	2000	1000	1250	1250	0.0387	0.2807	4.0230	0.0109	0.0064	0.0047	420.8760
1	BNGILS	PIERS	2	150	5.150	ACSR. ZEBRA		2 x 435 mm ²	1620	2000	1000	1250	1250	0.0387	0.2807	4.0230	0.0009	0.0064	0.0047	420.8760
1	BNGILS	BCKROS	1	150	6.200	ACSR. ZEBRA		2 x 435 mm ²	1620	1000	000	1250	1250	0.0387	0.2807	4.0230	0.0011	0.0077	0.0056	420.8760
1	BNGILS	BCKROS	2	150	6.200	ACSR. ZEBRA		2 x 435 mm ²	1620	1000	000	1250	1250	0.0387	0.2807	4.0230	0.0011	0.0077	0.0056	420.8760
1	BNGILS	PNMASS	1	150	27.770	ACSR. AW		330 mm ²	740	1000	1000	1250	1250	0.1172	0.4003	2.8530	0.0145	0.0494	0.0178	192.2520
1	BNGILS	LWANGS	1	150	34.680	ACSR. AW		330 mm ²	740	1000	1000	1250	1600	0.1172	0.4003	2.8530	0.0181	0.0617	0.0223	192.2520
1	GOTANS	RJOSOS	1	150	10.487	ACSR. AW		330 mm ²	740	1000	1000	1250	1250	0.1172	0.4003	2.8530	0.0055	0.0187	0.0067	192.2520
1	GOTANS	RJOSOS	2	150	10.487	ACSR. AW		330 mm ²	740	1000	800	1250	1250	0.1172	0.4003	2.8530	0.0041	0.0180	0.0070	192.2520
1	PIERS	GRATIS	1	150	31.935	TACSR		410 mm ²	1620	1000	1000	1250	2000	0.0387	0.2807	4.0230	0.0055	0.0398	0.0289	420.8760
1	PIERS	GRATIS	2	150	31.935	TACSR		410 mm ²	1620	1000	1000	1250	2000	0.0387	0.2807	4.0230	0.0055	0.0398	0.0289	420.8760
1	PBLGOS	GDTANS	1	150	33.827	ACSR. AW		330 mm ²	740	800	1000	1250	1250	0.1172	0.4003	2.8530	0.0176	0.0602	0.0217	192.2520
1	PBLGOS	GDTANS	2	150	33.827	ACSR. AW		330 mm ²	740	800	1000	1250	1250	0.1172	0.4003	2.8530	0.0176	0.0602	0.0217	192.2520
1	PBLGOS	LJANGS	1	150	51.692	ACSR. AW		330 mm ²	740	600	600	800	800	0.1172	0.4003	2.8530	0.0269	0.0920	0.0332	192.2520
1	PBLGOS	LJANGS	2	150	51.692	ACSR. AW		330 mm ²	740	600	600	800	800	0.1172	0.4003	2.8530	0.0269	0.0920	0.0332	192.2520
1	KRSANS	PBLGOS	1	150	30.239	ACSR. AW		330 mm ²	740	1000	1000	1250	1250	0.1172	0.4003	2.8530	0.0158	0.0538	0.0194	192.2520
1	KRSANS	PBLGOS	2	150	30.239	ACSR. AW		330 mm ²	740	1000	1000	1250	1250	0.1172	0.4003	2.8530	0.0100	0.0340	0.012	192.2520
1	KRSANS	GDINGS	1	150	19.137	ACSR. AW		330 mm ²	740	1000	1000	1250	1250	0.1172	0.4003	2.8530	0.0105	0.0359	0.0130	192.2520
1	PITONS	KRSANS	1	150	20.204	ACSR. AW		330 mm ²	740	1000	1000	1250	1250	0.1172	0.4003	2.8530	0.0105	0.0359	0.0130	192.2520

DATA KARAKTERISTIK TRANSMISI UPT & SRB

Jml Sirkil	Dari	Kel.	No.	Tara Sirkil	Teg.(kv)	Jarak (Km)	Tara Pengantar	Jenis	Ilomni	Iap.C1	Iap.W1	R (Ohm/km)	X (Ohm/km)	G (Mvar/km)	Rdu	Xdu	Gdu	Üdu	Üdaya
									Amp	Cri	Ke	Dari	Ke						

(1)

(2)

(3)

(4)

(5)

(6)=(3)+(4)+(5)

(7)=(6)+(1)

(8)=(3)+(4)+(5)+(6)+(7)

(9)=(1)+(2)+(3)+(4)+(5)+(6)+(7)+(8)

6. UPT Probolinggo

1	PITONS	KRSANS	2	150	20.204	ACSR AW	330 mm ²	710	1000	1000	1250	1250	0.1172	0.4003	26530	0.0105	0.0359	0.0130	192.2520
1	PITONS	STBDOS	1	150	55.433	ACSR ZEBRA	2 x 435 mm ²	1500	2000	2000	1250	1250	0.0387	0.2607	4.0230	0.0095	0.0692	0.0502	415.6500
1	PITONS	STBDOS	2	150	55.433	ACSR ZEBRA	2 x 435 mm ²	1600	2100	2000	1250	1250	0.0387	0.2807	4.0230	0.0095	0.0692	0.0502	415.6800
1	BNGIL4	GDTAN4	1	70	4.452	ACSR OSTRICH	300 MCM	440								#DIV/0!	#DIV/0!		53.3456
1	BNGIL4	GDTAN4	2	70	4.452	ACSR OSTRICH	300 MCM	400								#DIV/0!	#DIV/0!		48.4950
1	BNGIL4	PDAAN4	1	70	9.700	ACSR OSTRICH	300 MCM	440	250	400			0.2180	0.3850	2.972	0.0432	0.0762	0.0014	53.3456
1	BNGIL4	PDAAN4	2	70	9.700	ACSR OSTRICH	300 MCM	440	250	400	800	800	0.2180	0.3850	2.972	0.0432	0.0762	0.0014	53.3456
1	BNGIL4	BDRAN4	1	70	11.700	ACSR PIPER	300 MCM	440	400	400	400	400	0.2180	0.3850	2.972	0.0521	0.0919	0.0017	53.3456
1	BNGIL4	PRONG4	1	70	11.700	ACSR PIPER	300 MCM	440	400	400	400	400	0.2180	0.3850	2.972	0.0521	0.0919	0.0017	53.3456
1	BNGIL4	BLBNG4	1	70	40.000	ACSR PIGEON	3/0 AWG	300	200	200	800	800	0.3053	0.3584	3.202	0.2492	0.2926	0.0063	36.3720
1	BNGIL4	BLBNG4	2	70	40.000	ACSR PIGEON	3/0 AWG	300	200	200	400	800	0.3053	0.3584	3.202	0.2492	0.2926	0.0063	36.3720

Modifikasi TL Bay Grati - Pier 1 sirkil menjadi (Grati - Gdtan - Pier) dan Probolinggo - Gondangwelan 1 sirkil menjadi (Pblgo - Grati - Gdtan)

1	GRATIS	GDTANS	1	150	10.743	TACSR	410 mm ²	2800	1000	1000	1250	2000	0.0387	0.2807	4.0230	0.0018	0.0134	0.0097	727.4400
1	GRATIS	GDTAIS	2	150	10.743	TACSR	410 mm ²	2800	1000	1000	1250	2000	0.0387	0.2807	4.0230	0.0018	0.0134	0.0097	727.4400
1	GDTANS	PIERS	1	150	21.183	TACSR	410 mm ²	2800	1000	1000	1250	2000	0.0387	0.2807	4.0230	0.0036	0.0264	0.0192	727.4400
1	GDTANS	PIERS	2	150	21.183	TACSR	410 mm ²	2800	1000	1000	1250	2000	0.0387	0.2807	4.0230	0.0036	0.0264	0.0192	727.4400

7. UPT Jember

No.	Kode	Satuan	Jenis	Uraian	Lebar	Panjang	Panjang	K	E	R. Pan	R. mu	R. gantung	R. jatuh	Daya
					mm	mm	mm	mm	mm	(mm)	(mm)	(mm)	(mm)	(Watt)
1	PBLGOS	LJANGS	1	150	51.652	ACSR DOVE	330 mm ²			0.4533	0.0269	0.0920		0.0332
1	PBLGOS	LJANGS	2	150	51.652	ACSR. DOVE	330 mm ²			0.4533	0.0269	0.0920		0.0332
1	LJANGS	TGGULS	1	150	32.060	ACSR. AW	330 mm ²			0.4533	0.0269	0.0920		0.0332
1	LJANGS	JMBERS	1	150	60.530	ACSR. AW	330 mm ²			0.4533	0.0269	0.0920		0.0332
1	TNGULS	JMBERS	1	150	22.450	ACSR. AW	330 mm ²			0.4533	0.0269	0.0920		0.0332
1	JMBERS	BWNGIS	1	150	82.595	ACSR. AW	330 mm ²			0.4533	0.0269	0.0920		0.0332
1	JMBERS	GTENGIS	1	150	64.708	ACSR. AW	330 mm ²			0.4533	0.0269	0.0920		0.0332
1	BDWSOS	JMBERS	1	150	39.662	ACSR. AW	330 mm ²			0.4533	0.0269	0.0920		0.0332
1	BDWSOS	JMBERS	2	150	39.662	ACSR. AW	330 mm ²			0.4533	0.0269	0.0920		0.0332
1	STBDOSS	PITONS	1	150	55.433	ACSR. ZEBRA	2 x 435 mm ²			0.4533	0.0269	0.0920		0.0332
1	STBDOSS	PITONS	2	150	55.433	ACSR. ZEBRA	2 x 435 mm ²			0.4533	0.0269	0.0920		0.0332
1	STBDOSS	BDWSOS	1	150	34.786	ACSR. AW	330 mm ²			0.4533	0.0269	0.0920		0.0332
1	STBDOSS	BDWSOS	2	150	34.786	ACSR. AW	330 mm ²			0.4533	0.0269	0.0920		0.0332
1	STBDOSS	BWNGIS	1	150	74.200	ACSR. DOVE	2 x 340 mm ²			0.4533	0.0269	0.0920		0.0332
1	STBDOSS	BWNGIS	2	150	74.200	ACSR. DOVE	2 x 340 mm ²			0.4533	0.0269	0.0920		0.0332
1	GTENGIS	BWNGIS	1	150	33.950	ACSR. DOVE	330 mm ²			0.4533	0.0269	0.0920		0.0332
1	BWNGIS	KTP-GUM	1	150	7.990	ACSR. HAWK	240 kM2			0.4533	0.0269	0.0920		0.0332
1	BWNGIS	KTP-GUM	1(11)	150	4.471	SUBMARINE CABLE	330 mm ²			0.4533	0.0269	0.0920		0.0332
1	BWNGIS	KTP-GUM I (lama)	150		4.829	OSS	300 mm ²			0.4533	0.0269	0.0920		0.0332
1	BWNGIS	KTPNGS	2	150	7.590	ACSR. HAWK	477 MM			0.4533	0.0269	0.0920		0.0332
1	BWNGIS	KTP-GUM II (10)	150		4.389	SUBMARINE CABLE	300 mm ²			0.4533	0.0269	0.0920		0.0332
1	BWNGIS	KTP-GUM II (lama)	150		4.260	OSS	300 mm ²			0.4533	0.0269	0.0920		0.0332

Kode Seri	Dari Ke	No. Seri	Teg (kV)	Jarak (Km)	Data Penahanan	Jenis	I Nom (Amp)	Tap CI Dari Ke	Tap WI Dari Ke	R (Ohm/km)	X (Ohm/km)	B (Mvar/km)	Pjru (Gmh)	Xdu (Gmh)	Zdu (Ohm)	Zdu (VA)		
																	(1)	(2)
1	GLNUKS	CH GLNUK	1	150	1.720	ACSR HAWK	477 MCM	645	800	300	0.1370	0.3965	2.8520	0.0010	0.0030	0.0011	167.5710	
1	GLNUKS	CH GLNUK	2	150	1.720	ACSR HAWK	477 MCM	645	800	800	0.1370	0.3956	2.8520	0.0010	0.0030	0.0011	167.5710	
1	CH GLNUK	CH KTPNG	1	150	4.471	OFC	3 x 300 mm ²	452	800	800	0.1613	0.3482	0.0032	0.0069	-	120.0270		
1	CH GLNUK	CH KTPNG	2	150	4.389	OFC	3 x 300 mm ²	452	800	800	0.1543	0.3548	0.0032	0.0069	-	123.0270		
1	CH KTPNG	BWNGIS	1	150	7.990	ACSR HAWK	477 MCM	645	800	800	0.1370	0.3966	2.8520	0.0049	0.0141	0.0052	167.5710	
1	CH KTPNG	BWNGIS	2	150	7.990	ACSR HAWK	477 MCM	645	800	800	0.1370	0.3965	2.8520	0.0049	0.0141	0.0052	167.5710	
1	GLNUKS	NGARAS	1	150	38.040	ACSR HAWK	477 MCM	645	800	800	0.1370	0.3966	2.8520	0.0232	0.0671	0.0247	167.5710	
1	GLNUKS	NGARAS	2	150	38.040	ACSR HAWK	477 MCM	645	800	800	0.1370	0.3895	2.9320	0.0399	0.1314	0.0502	335.1420	
1	GLNUKS	PMRONS	1	150	75.900	ACSR HAWK	2 x 477 MCM	1290	800	800	0.1183	0.3895	2.9320	0.0412	0.1194	0.0439	167.5710	
1	NGARAS	KAPALS	1	150	67.710	ACSR HAWK	477 MCM	645	800	800	0.1370	0.3966	2.8520	0.0270	0.0783	0.0288	167.5710	
1	NGARAS	ASARIS	1	150	44.400	ACSR HAWK	477 MCM	645	800	800	0.1370	0.3966	2.8620	0.0142	0.0411	0.0151	167.5710	
1	KAPALS	ANSRIS	1	150	23.310	ACSR HAWK	477 MCM	645	800	800	0.1370	0.4048	2.7970	0.0556	0.1054	0.0369	103.9200	
1	KAPALS	PMRONS	1	150	58.580	ACSR PARTRIDGE	135 MCM	400	400	400	0.2136	0.3966	2.8520	0.0117	0.0339	0.0125	167.5710	
1	KAPALS	GNYARS	1	150	19.210	ACSR HAWK	477 MCM	645	800	800	0.1370	0.3966	2.8520	0.0117	0.0339	0.0125	167.5710	
1	KAPALS	GNYARS	2	150	19.210	ACSR HAWK	477 MCM	645	800	800	0.1370	0.3966	2.8520	0.0293	0.0561	0.0195	103.9200	
1	KAPALS	NSDUAS	1	150	30.910	ACSR PARTRIDGE	135 mm ²	400	400	400	0.2136	0.4084	2.7970	0.0105	0.0304	0.0112	167.5710	
1	KAPALS	PGRANS	1	150	17.220	ACSR HAWK	477 mm ²	645	1000	1000	0.1370	0.3966	2.8820	0.0362	0.0693	0.0240	103.9200	
1	KAPALS	BRITIS	1	150	38.170	ACSR PARTRIDGE	135 mm ²	400	800	800	0.2136	0.4084	2.7970	0.0157	0.0299	0.0104	103.9200	
1	GNYARS	SANURS	1	150	16.500	ACSR PARTRIDGE	135 mm ²	400	200	1000	0.2136	0.4084	2.7970	0.0156	0.0297	0.0103	103.9200	
1	GNYARS	SAMURS	2	150	16.380	ACSR PARTRIDGE	135 mm ²	400	600	1000	0.2136	0.4084	2.7970	0.0296	0.0595	0.0219	167.5710	
1	GNYARS	AMPRAS	1	150	33.760	ACSR HAWK	477 MCM	645	1000	1000	0.1370	0.3966	2.8520	0.0206	0.0493	0.0219	167.5710	
1	GNYARS	AMPRAS	2	150	7.740	ACSR PARTRIDGE	135 mm ²	400	400	400	0.2136	0.4084	2.7970	0.0073	0.0140	0.0049	103.9200	
1	SANURS	PGRANS	1	150	7.750	ACSR PARTRIDGE	135 mm ²	400	1000	1000	0.2136	0.4084	2.7970	0.0074	0.0141	0.0049	103.9200	
1	SANURS	PGRANS	2	150	7.750	ACSR PARTRIDGE	135 mm ²	400	1000	1000	0.2136	0.4084	2.7970	0.0074	0.0141	0.0049	103.9200	

(14) = (10)(15)(0.1975)

(15) : 1000(15)(0.1975)

Sub Region Bali

RUMAH SAKIT DAERAH KECAMATAN

No.	Dan. Sirkit	No. Sirkit	Teg (kV)	Jarak (km)	Data Pengantar	Jenis	R ₀ (Ohm/km)	Z ₀ (Ohm/km)	R ₁ (Ohm/km)	Z ₁ (Ohm/km)	R ₂ (Ohm/km)	Z ₂ (Ohm/km)	R ₃ (Ohm/km)	Z ₃ (Ohm/km)	X _{pu} (GVA)	B _{pu} (GVA)	G _{pu} (MVA)	B _{pu} (MVA)
-----	-------------	------------	----------	------------	----------------	-------	-------------------------	-------------------------	-------------------------	-------------------------	-------------------------	-------------------------	-------------------------	-------------------------	-----------------------	-----------------------	-----------------------	-----------------------

(1) (2)

(1) (2) (3)

(4) (5) (6)

Sub Region Bali

15.11.2017 17.11.201000

1	NSDUAS	PGRANS	150	13.410	ACSR. PARTRIDGE	135 mm ²	400	200	200	830	830	0.2136	0.4084	27970	0.0127	0.0243	0.0094	103.9200	
1	BRITIS	PMRONS	150	20.430	ACSR. PARTRIDGE	135 mm ²	400	300	200	830	830	0.2136	0.4084	27970	0.0151	0.0371	0.0129	103.9200	
Pengembangan / Proyek																			
1	KAPALS	PEIANS	1	150	17.220	ACSR. HAWK	477 mm ²	545	1000	1000	830	830	0.1370	0.3966	28820	0.0105	0.0304	0.0112	167.5710
1	PBIANS	PSGRNS	1	150	7.400	ACSR. HAWK	477 mm ²	645	1000	1000	830	830	0.1370	0.3966	28820	0.0045	0.0130	0.0048	167.5710
1	KAPALS	UBUDS	1	150	15.730	ACSR. PARTRIDGE	135 mm ²	400	800	800	1250	1250	0.2136	0.4084	27970	0.0159	0.0304	0.0105	103.9200
1	UBUDS	BRITIS	1	150	29.440	ACSR. PARTRIDGE	135 mm ²	400	800	800	1250	1250	0.2136	0.4084	27970	0.0279	0.0534	0.0185	103.9200
Informasi																			
1	KAPALS	UBUDS	1	150	22.500	ACSR. PARTRIDGE	135 mm ²	400	800	800	1250	1250	0.2136	0.4084	27970	0.0214	0.0408	0.0142	103.9200
1	UBUDS	BRITIS	1	150	25.670	ACSR. PARTRIDGE	135 mm ²	400	800	800	1250	1250	0.2136	0.4084	27970	0.0244	0.0466	0.0162	103.9200
Rencana Up-rating																			
1	KAPALS	UBUDS	1	150	22.500	TACSR	160 mm ²	734	400	400	830	830	0.2200	0.3900	29600	0.0220	0.0390	0.0150	190.6932
1	UBUDS	BRITIS	1	150	25.670	TACSP	160 mm ²	734	400	400	830	830	0.2200	0.3900	29600	0.0251	0.0445	0.0171	190.6932
1	BRITIS	PMRONS	1	150	20.430	TACSR	160 mm ²	734	800	200	830	830	0.2100	0.3900	29600	0.0200	0.0354	0.0136	190.6932
1	BRITIS	PMRONS	2	150	20.430	TACSR	160 mm ²	734	800	200	830	830	0.2200	0.3900	29600	0.0200	0.0354	0.0136	190.6932
1	KAPALS	PMRONS	1	150	58.580	TACSR	160 mm ²	734	400	400	830	830	0.2200	0.3900	29600	0.0573	0.1015	0.0390	190.6932
1	KAPALS	BRITIS	1	150	38.170	TACSR	160 mm ²	734	800	800	1250	1250	0.2200	0.3900	29600	0.0373	0.0662	0.0254	190.6932

Listing Program *Particle Swarm Optimization*

```
unit uMenu;

interface

uses
  Windows, Messages, SysUtils, Variants, Classes, Graphics, Controls, Forms,
  Dialogs, ComCtrls, StdCtrls, ExtCtrls;

type
  TfrmMenu = class(TForm)
    Panel1: TPanel;
    btnNew: TButton;
    btnOpen: TButton;
    btnExit: TButton;
    StatusBar1: TStatusBar;
    Panel2: TPanel;
    OpenDialog1: TOpenDialog;
    procedure btnExitClick(Sender: TObject);
    procedure btnNewClick(Sender: TObject);
    procedure btnOpenClick(Sender: TObject);
  private
    { Private declarations }
  public
    { Public declarations }
  end;

var
  frmMenu: TfrmMenu;

implementation

uses uInputLFChild,uComplex, uUtils, uLoadflow, uHasil;

procedure TfrmMenu.btnExitClick(Sender: TObject);
begin
  Application.Terminate;
end;

procedure TfrmMenu.btnNewClick(Sender: TObject);
begin
  try
    if frmInput=nil then
      begin
        frmInput:=TfrmInputLFChild.Create(Application);
      end;
    frmInput.Caption:='Input Data';
    frmInput.btnExit.Caption:='&Save';
  end;
end;
```

```

frmInput.ShowModal;
finally
  frmInput.Free;
end;
end;

procedure TfrmMenu.btnOpenClick(Sender: TObject);
var NamaFile>Nama:string;
  output:TextFile;
  i,j,Typ,dari,ke,Nbus,Nsal,Param,Ngen,NCable:integer;
  Cap,absV,sudV,Pg,Qg,PL,QL,CapSal,Pmin,Pmax,Harga,Length:double;
  R,X,Lc,Tr,Tu,Su,VKonst,PKonst,Pbase,Vbase,dia:double;
begin
try
  if OpenDialog1.Execute then
  begin
    NamaFile:=OpenDialog1.FileName;
    AssignFile(output,NamaFile);
    Reset(output);
    Readln(output,Nbus);
    Readln(output,Nsal);
    Readln(output,Vbase);
    Readln(output,VKonst);
    Readln(output,Pbase);
    Readln(output,PKonst);
    Readln(output,param);
    gParamLF.Vbase:=Vbase;
    gParamLF.VKonst:=VKonst;
    gParamLF.Pbase:=Pbase;
    gParamLF.PKonst:=PKonst;
    if Param=1 then
      begin
        gParamLF.ParamBranch:=pbPu;
      end
    else if Param=2 then
      begin
        gParamLF.ParamBranch:=pbOhm;
      end;
    gParamLF.MaxIterasi:=15;
    gParamLF.Toleransi:=0.0001;
    try
      frmInput:=TfrmInputLFChild.Create(Application);
      frmInput.edtNbus.Text:=IntToStr(Nbus);
      frmInput.edtNsal.Text:=IntToStr(Nsal);
      frmInput.edtVbase.Text:=FloatToStr(Vbase);
      if VKonst=1 then
        begin
          frmInput.cmbVKonst.Text:='V';

```

```

end
else if VKonst=1000 then
begin
  frmInput.cmbVKonst.Text:='kV';
end
else if VKonst=1000000 then
begin
  frmInput.cmbVKonst.Text:='MV';
end;
frmInput.edtPbase.Text:=FloatToStr(Pbase);
if PKonst=1 then
begin
  frmInput.cmbPKonst.Text:='VA';
  frmInput.fgBus.Cells[3,0]:='Pg (W)';
  frmInput.fgBus.Cells[4,0]:='Qg (VAR)';
  frmInput.fgBus.Cells[5,0]:='PL (W)';
  frmInput.fgBus.Cells[6,0]:='QL (VAR)';
  frmInput.fgBranch.Cells[9,0] :='Kap (VA)';
end
else if PKonst=1000 then
begin
  frmInput.cmbPKonst.Text:='kVA';
  frmInput.fgBus.Cells[3,0]:='Pg (kW)';
  frmInput.fgBus.Cells[4,0]:='Qg (kVAR)';
  frmInput.fgBus.Cells[5,0]:='PL (kW)';
  frmInput.fgBus.Cells[6,0]:='QL (kVAR)';
  frmInput.fgBranch.Cells[9,0] :='Kap (kVA)';
end
else if PKonst=1000000 then
begin
  frmInput.cmbPKonst.Text:='MVA';
  frmInput.fgBus.Cells[3,0]:='Pg (MW)';
  frmInput.fgBus.Cells[4,0]:='Qg (MVAR)';
  frmInput.fgBus.Cells[5,0]:='PL (MW)';
  frmInput.fgBus.Cells[6,0]:='QL (MVAR)';
  frmInput.fgBranch.Cells[9,0] :='Kap (MVA)';
end;
if param=1 then
begin
  frmInput.cmbParam.Text:='pu';
  frmInput.fgBranch.Cells[3,0]:='R (pu)';
  frmInput.fgBranch.Cells[4,0]:='X (pu)';
  frmInput.fgBranch.Cells[5,0]:='Lc (pu)';
  frmInput.fgBus.Cells[7,0]:='Cap (pu)';
end
else if param=2 then
begin
  frmInput.cmbParam.Text:='ohm';

```

```

frmInput.fgBranch.Cells[3,0]:='R (ohm)';
frmInput.fgBranch.Cells[4,0]:='X (ohm)';
frmInput.fgBranch.Cells[5,0]:='Lc (ohm)';
frmInput.fgBus.Cells[7,0]:='Cap (ohm)';
end;
SetLength(gBus,Nbus);
for i:=0 to Nbus-1 do
begin
  ReadIn(output,absV,sudV,Pg,Qg,PL,QL,Cap,Typ);
  gBus[i].absV:=absV;
  gBus[i].sudV:=sudV;
  gBus[i].Pgen:=Pg;
  gBus[i].Qgen:=Qg;
  gBus[i].PL:=PL;
  gBus[i].QL:=QL;
  gBus[i].Cap:=Cap;
  gBus[i].typeBus:=Typ;
  frmInput.fgBus.Cells[0,i+1]:=IntToStr(i+1);
  frmInput.fgBus.Cells[1,i+1]:=FloatToStr(absV);
  frmInput.fgBus.Cells[2,i+1]:=FloatToStr(sudV);
  frmInput.fgBus.Cells[3,i+1]:=FloatToStr(Pg);
  frmInput.fgBus.Cells[4,i+1]:=FloatToStr(Qg);
  frmInput.fgBus.Cells[5,i+1]:=FloatToStr(PL);
  frmInput.fgBus.Cells[6,i+1]:=FloatToStr(QL);
  frmInput.fgBus.Cells[7,i+1]:=FloatToStr(Cap);
  frmInput.fgBus.Cells[8,i+1]:=IntToStr(typ);
end;
SetLength(gBranch,Nsal);
for i:=0 to Nsal-1 do
begin
  ReadIn(output,dari,ke,R,X,Lc,Tr,Tu,Su,CapSal);
  gBranch[i].dari:=dari;
  gBranch[i].ke:=ke;
  gBranch[i].R:=R;
  gBranch[i].X:=X;
  gBranch[i].Lc:=Lc;
  gBranch[i].Tr:=Tr;
  gBranch[i].Tu:=Tu;
  gBranch[i].Su:=Su;
  gBranch[i].KapSal:=CapSal;
  frmInput.fgBranch.Cells[0,i+1]:=IntToStr(i+1);
  frmInput.fgBranch.Cells[1,i+1]:=IntToStr(dari);
  frmInput.fgBranch.Cells[2,i+1]:=IntToStr(ke);
  frmInput.fgBranch.Cells[3,i+1]:=FloatToStr(R);
  frmInput.fgBranch.Cells[4,i+1]:=FloatToStr(X);
  frmInput.fgBranch.Cells[5,i+1]:=FloatToStr(Lc);
  frmInput.fgBranch.Cells[6,i+1]:=FloatToStr(Tr);
  frmInput.fgBranch.Cells[7,i+1]:=FloatToStr(Tu);

```

```

frmInput.fgBranch.Cells[8,i+1]:=FloatToStr(Su);
frmInput.fgBranch.Cells[9,i+1]:=FloatToStr(CapSal);
end;
ReadIn(output,Ngen);
if Ngen<>0 then
begin
  frmInput.fgGen.RowCount:=Ngen+1;
  SetLength(gGenLF,Ngen);
  for i:=0 to Ngen-1 do
  begin
    ReadIn(output,dari,R,X,Lc,Tr,Tu,Su,CapSal,Pmin,Pmax);
    gGenLF[i].bus:=dari;
    gGenLF[i].Qmin:=R;
    gGenLF[i].Qmax:=X;
    gGenLF[i].a2:=Lc;
    gGenLF[i].a1:=Tr;
    gGenLF[i].a0:=Tu;
    gGenLF[i].FixCost:=Su;
    gGenLF[i].VarCost:=CapSal;
    gGenLF[i].Pmin:=Pmin;
    gGenLF[i].Pmax:=Pmax;
    frmInput.fgGen.Cells[0,i+1]:=IntToStr(i+1);
    frmInput.fgGen.Cells[1,i+1]:=IntToStr(gGenLF[i].bus);
    frmInput.fgGen.Cells[2,i+1]:=RealToStr(gGenLF[i].Qmin,2);
    frmInput.fgGen.Cells[3,i+1]:=RealToStr(gGenLF[i].Qmax,2);
    frmInput.fgGen.Cells[4,i+1]:=RealToStr(gGenLF[i].a2,5);
    frmInput.fgGen.Cells[5,i+1]:=RealToStr(gGenLF[i].a1,5);
    frmInput.fgGen.Cells[6,i+1]:=RealToStr(gGenLF[i].a0,5);
    frmInput.fgGen.Cells[7,i+1]:=RealToStr(gGenLF[i].FixCost,2);
    frmInput.fgGen.Cells[8,i+1]:=RealToStr(gGenLF[i].VarCost,2);
    frmInput.fgGen.Cells[9,i+1]:=RealToStr(gGenLF[i].Pmin,2);
    frmInput.fgGen.Cells[10,i+1]:=RealToStr(gGenLF[i].Pmax,2);
  end;
end
else
begin
  frmInput.fgGen.RowCount:=2;
end;
CloseFile(output);
frmInput.Caption:='Tampilan Data';
frmInput.btnExit.Caption:='&Next';
frmInput.ShowModal;
finally
  frmInput.Free;
end;
end;

```



INSTITUT TEKNOLOGI NASIONAL MALANG
FAKULTAS TEKNOLOGI INDUSTRI
JURUSAN TEKNIK ELEKTRO S-1
KONSENTRASI TEKNIK ENERGI LISTRIK

BERITA ACARA UJIAN SKRIPSI
FAKULTAS TEKNOLOGI INDUSTRI

Nama Mahasiswa : DONI FERIN HARINDRA
N.I.M. : 01.12.053
Jurusan : Teknik Elektro S-1
Konsentrasi : Teknik Energi Listrik
Judul Skripsi : ANALISIS *ECONOMIC LOAD DISPATCH*
MENGGUNAKAN *PARTICLE SWARM*
OPTIMIZATION PADA SALURAN TRANSMISI
150 kV SUB SISTEM PAITON – BALI

Dipertahankan dihadapan Majelis Penguji Skripsi Jenjang Strata Satu (S-1)

Hari : Sabtu
Tanggal : 18 Maret 2006
Dengan Nilai : 79,15 (B+)



(Ir. Mochtar Asroni, MSME)

Ketua

Panitia Ujian

(Ir. F Yudi Limpraptomo, MT)

Sekretaris

Anggota Penguji

(Ir. H. Taufik Hidayat, MT)
Penguji Pertama

(Irrine Budi S, ST, MT)
Penguji Kedua



INSTITUT TEKNOLOGI NASIONAL MALANG
FAKULTAS TEKNOLOGI INDUSTRI
JURUSAN TEKNIK ELEKTRO S-1
KONSENTRASI TEKNIK ENERGI LISTRIK

PERSETUJUAN PERBAIKAN SKRIPSI

Dari hasil ujian skripsi Jurusan Teknik Elektro jenjang Strata satu (S-1) yang diselenggarakan pada :

Hari : Sabtu
Tanggal : 18 Maret 2006

Telah dilakukan perbaikan skripsi oleh :

1. Nama : DONI FERIN HARINDRA
2. NIM : 01.12.053
3. Jurusan : Teknik Elektro S-1
4. Konsentrasi : Teknik Energi Listrik
5. Judul Skripsi : ANALISIS *ECONOMIC LOAD DISPATCH*
MENGGUNAKAN *PARTICLE SWARM OPTIMIZATION*
PADA SALURAN TRANSMISI 150 kV SUB SISTEM
PAITON – BALI

Perbaikan Meliputi :

No	Materi Perbaikan	Ket
1	Perhitungan R,X,B	<i>✓</i>
2	Tabel 4.6 dan seterusnya diberi penjelasan asal usulnya	<i>✓</i>
3	Kesimpulan poin 1 terlalu panjang	<i>✓</i>
4	Tabel 4.15 tidak boleh putus	<i>✓</i>
5	Judul grafik di atas gambar grafik	<i>✓</i>
6	Catatan kaki ada pada judul gambar bukan pada nomor gambar	<i>✓</i>
7	Flowchart hal 40, 41 dan 42 diperbaiki	<i>✓</i>

Anggota Pengaji

Pengaji Pertama

(Ir. H. Taufik Hidayat, MT)

Pengaji Kedua

(Irrine Budi S, ST, MT)

Dosen Pembimbing

(Ir. Choirul Saleh, MT)



INSTITUT TEKNOLOGI NASIONAL MALANG
FAKULTAS TEKNOLOGI INDUSTRI
JURUSAN TEKNIK ELEKTRO S-1
KONSENTRASI TEKNIK ENERGI LISTRIK

LEMBAR BIMBINGAN SKRIPSI

1. Nama : DONI FERIN HARINDRA
2. NIM : 01.12.053
3. Jurusan : Teknik Elektro S-1
4. Konsentrasi : Teknik Energi Listrik
5. Judul Skripsi : ANALISIS *ECONOMIC LOAD DISPATCH MENGGUNAKAN PARTICLE SWARM OPTIMIZATION PADA SALURAN TRANSMISI 150 kV SUB SISTEM PAITON – BALI*
6. Tanggal Mengajukan Skripsi : 1 Oktober 2005
7. Tanggal Menyelesaikan Skripsi : 18 Maret 2006
8. Dosen Pembimbing : Ir. Choirul Saleh, MT.
9. Telah Dievaluasikan Dengan Nilai : 85.00 (Delapan Puluh Lima)

Mengetahui,
Ketua Jurusan Teknik Elektro S-1

Ir. F. Yudi Limpraptono, MT
NIP. Y. 1039500274

Diperiksa dan Disetujui,
Dosen Pembimbing

J -
Ir. Choirul Saleh, MT
NIP. 101 8800 190



INSTITUT TEKNOLOGI NASIONAL MALANG
FAKULTAS TEKNOLOGI INDUSTRI
JURUSAN TEKNIK ELEKTRO

FORMULIR BIMBINGAN SKRIPSI

Nama : DONI FERIN HARINDRA
Nim : 01.12.053
Masa Bimbingan : 1 Oktober 2005 s/d 1 April 2006
Judul Skripsi : Analisis *Economic Load Dispatch* Menggunakan *Particle Swarm Optimization* Pada Saluran Transmisi 150 kV Sub Sistem Paiton - Bali

No	Tanggal	Uraian	Paraf Pembimbing
1.	17 – 1 – 2006	Acc. Bab I : Perbaiki batasan masalah	CH
2.	17 – 1 – 2006	Acc. Bab II : Teori Dasar (penunjang)	CH
3.	17 – 1 – 2006	Bab III : Di revisi	CH
4.	17 – 1 – 2006	Bab IV : Data dan analisa	CH
5.	20 – 1 – 2006	Acc. Seminar hasil	CH
6.	6 – 3 – 2006	Acc. Kompre	CH
7.			
8.			
9.			
10.			

Malang, Maret 2006
Dosen Pembimbing,


(Ir. Choirul Saleh, MT)



INSTITUT TEKNOLOGI NASIONAL
FAKULTAS TEKNOLOGI INDUSTRI
JURUSAN TEKNIK ELEKTRO

Formulir Perbaikan Ujian Skripsi

Dalam pelaksanaan Ujian Skripsi Janjang Strata 1 Jurusan Teknik Elektro Konsentasi T. Energi Listrik / T. Elektronika, maka perlu adanya perbaikan skripsi untuk mahasiswa :

NAMA : Dwi Ferin S.
N I M : 0112053.
Perbaikan meliputi :

- Penutupan R, X, B pada hal 56-57 untuk apa
 - Table 4-5 dst) nisar pengalaman ini untuk yg

Malang,

Malang,

(Hidayah)



INSTITUT TEKNOLOGI NASIONAL
FAKULTAS TEKNOLOGI INDUSTRI
JURUSAN TEKNIK ELEKTRO

Formulir Perbaikan Ujian Skripsi

Dalam pelaksanaan Ujian Skripsi Janjang Strata 1 Jurusan Teknik Elektro Konsentasi T. Energi Listrik / T. Elektronika, maka perlu adanya perbaikan skripsi untuk mahasiswa :

NAMA : Dori Feini S.
NIM : 0112 0573
Perbaikan meliputi :

- menyalurkan point (1) fentalan pinjaman, kecuali
jumlah raja. Kelebihan dihabiskan di tabel baris 16
- tabel 4.19 kelihatan putus
- judul grafik diatas grafik - (font beda dg resulstion)
- catatan halaman ada pd judul abr/tabel bukan pd
nomor abr !
- floridan hasil q10 & perbaiki
- " nul q1 " "
- " 1 q2 "

Malang, 18 Maret 2016

(Irmie Badi S, ST, MT)